

ZBIGNIEW KĄCZKOWSKI I MAREK ŻÓRAWSKI

TABLICE DO OBLICZANIA POWIERZCHNI WPLYWOWYCH
DLA PASMA PŁYTOWEGO

ROZPRAWY
INŻYNIERSKIE
CXIX

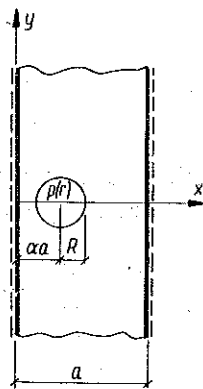
1900

THE Y. W. C. A. OF NEW YORK
AND THE Y. W. C. A. OF NEW YORK

Y. W. C. A. OF NEW YORK
AND THE Y. W. C. A. OF NEW YORK
1900

1. W pracy Z. Kąc z k o w s k i e g o, [1], rozpatrywana była izotropowa płyta nieograniczona, na której wzdłuż jednej prostej ustawione były w określonych odstępach jednakowe obciążenia obrotowo symetryczne — na przemian dodatnie i ujemne. Odpowiedni dobór odstępów powoduje, że wzdłuż prostych stanowiących osie antysymetrii obciążenia powstają przegięcia odkształconej powierzchni płyty. W związku z tym z płyty nieograniczonej wydzielić można swobodnie podparte pasma płytowe obciążone w sposób uwidoczniiony na rys. 1.

Ponieważ rozwiązanie zamknięte dla płyty nieograniczonej obciążonej w sposób obrotowo symetryczny jest znane, przeto powierzchnię ugięcia pasma płytowego można przedstawić w postaci pojedynczych szeregów nieskończonych, w których występują wyrażenia logarytmiczne. Sumy tych szeregów dały się wyrazić bądź za pomocą funkcji zamkniętych w dosłownym tego słowa znaczeniu, bądź przez pojedyncze całki oznaczone, które również można uważać za wyrażenia w pewnym sensie zamknięte.



Rys. 1

W analogiczny sposób znaleziono w pracy [1] funkcje powierzchni ugięcia pasma płytowego, obciążonego momentami skupionymi lub obciążeniem rozłożonym liniowo wzdłuż pewnego odcinka. Powierzchnie ugięcia półpasma płytowego o rozmaitych warunkach brzegowych na krawędzi poprzecznej, jak również powierzchnie ugięcia pasma płytowego ciągłego nad podporą liniową, dzielącą je na dwa półpasma płytowe o różnych sztywnościach zginania, dały się wyrazić za pomocą tego samego typu funkcji zamkniętych.

W związku z powtarzaniem się stale tych samych funkcji narzucała się myśl, aby je stabelaryzować. Za pomocą tych tablic można rozwiązać dość obszerną klasę zagadnień często spotykanych w praktyce.

Aby ułatwić tabelaryzowanie funkcji¹, które w cytowanej pracy zależą od trzech zmiennych ξ , η i a , przekształcono je jak następuje:

$$(1.1) \quad \eta^n \Phi(a, \xi, \eta) = \eta^n \ln \frac{\operatorname{ch} \pi \eta - \cos \pi(\xi + a)}{\operatorname{ch} \pi \eta - \cos \pi(\xi - a)} = \\ = K_n(\zeta_1, \eta) - K_n(\zeta_2, \eta) = K_n^- \quad (n = 0, 1, 2),$$

gdzie (tabl. 1, 2, 3):

$$(1.2) \quad \zeta_1 = \xi - a, \quad \zeta_2 = \xi + a,$$

$$(1.3) \quad K_n(\zeta_k, \eta) = \eta^n \ln \frac{\operatorname{ch} \pi \eta + 1}{\operatorname{ch} \pi \eta - \cos \pi \zeta_k} \quad (k = 1, 2; n = 0, 1, 2).$$

Oprócz tego wprowadzono oznaczenia (tabl. 4, 5, 6):

$$(1.4) \quad R_n = \int_{\eta}^{\infty} K_n d\eta \quad (n = 0, 1, 2)$$

czyli

$$(1.5) \quad \int_{\eta}^{\infty} \eta^n \Phi(a, \xi, \eta) d\eta = R_n(\zeta_1, \eta) - R_n(\zeta_2, \eta) = R_n^- \quad (n = 0, 1, 2).$$

Pochodne cząstkowe funkcji $\Phi(a, \xi, \eta)$ względem ξ i a wyrażono w sposób następujący (tabl. 7, 8, 9):

$$(1.6) \quad \begin{cases} \eta^n \frac{\partial \Phi}{\partial a} = \eta^n \left[\frac{\partial K_0(\zeta_1, \eta)}{\partial \zeta_1} + \frac{\partial K_0(\zeta_2, \eta)}{\partial \zeta_2} \right] = \pi [L_n(\zeta_1, \eta) + L_n(\zeta_2, \eta)] = \pi L_n^+, \\ \eta^n \frac{\partial \Phi}{\partial \xi} = -\eta^n \left[\frac{\partial K_0(\zeta_1, \eta)}{\partial \zeta_1} - \frac{\partial K_0(\zeta_2, \eta)}{\partial \zeta_2} \right] = \\ = -\pi [L_n(\zeta_1, \eta) - L_n(\zeta_2, \eta)] = -\pi L_n^-, \end{cases}$$

gdzie

$$(1.7) \quad L_n(\zeta_k, \eta) = -\frac{\eta^n}{\pi} \frac{\partial K_0(\zeta_k, \eta)}{\partial \zeta_k} = \eta^n \frac{\sin \pi \zeta_k}{\operatorname{ch} \pi \eta - \cos \pi \zeta_k} \\ (k = 1, 2; n = 0, 1, 2).$$

Całki niewłaściwe z funkcji (1.7) oznaczono (tabl. 10, 11, 12):

$$(1.8) \quad S_n = \int_{\eta}^{\infty} L_n d\eta \quad (n = 0, 1, 2).$$

¹ Tablice wykonali w r. 1954 asystenci Politechniki Szczecińskiej: Bernard Kotłęga, Stefan Marcjanek i Władysław Roganowski. Obliczenia sprawdził Marek Żórawski.

Zatem

$$(1.9) \quad \begin{cases} \int_{\eta}^{\infty} \eta^n \frac{\partial \Phi}{\partial \alpha} d\eta = \pi [S_n(\zeta_1, \eta) + S_n(\zeta_2, \eta)] = \pi S_n^+, \\ \int_{\eta}^{\infty} \eta^n \frac{\partial \Phi}{\partial \xi} d\eta = -\pi [S_n(\zeta_1, \eta) - S_n(\zeta_2, \eta)] = -\pi S_n^- \end{cases} \quad (n = 0, 1, 2).$$

Funkcję $\eta^n \partial \Phi / \partial \eta$ przedstawiono w sposób następujący (tabl. 13, 14):

$$(1.10) \quad \eta^n \frac{\partial \Phi}{\partial \eta} = -\pi [M_n(\zeta_1, \eta) - M_n(\zeta_2, \eta)] = -\pi M_n^- \quad (n = 0, 1),$$

gdzie ze względów praktycznych przyjęto oznaczenia

$$(1.11) \quad M_n(\zeta_k, \eta) = -\eta^n \left(\frac{1}{\pi} \frac{\partial K_0}{\partial \eta} - \frac{\text{sh } \pi \eta}{\text{ch } \pi \eta + 1} + 1 \right) = \\ = \eta^n \left(\frac{\text{sh } \pi \eta}{\text{ch } \pi \eta - \cos \pi \zeta_k} - 1 \right) \quad (k = 1, 2, \quad n = 0, 1).$$

Funkcję $\partial^2 \Phi / \partial \alpha \partial \eta$ przekształcono następująco (tabl. 15):

$$(1.12) \quad \frac{\partial^2 \Phi}{\partial \alpha \partial \eta} = -\pi^2 [N_0(\zeta_1, \eta) + N_0(\zeta_2, \eta)] = -\pi^2 N_0^+,$$

gdzie

$$(1.13) \quad N_0(\zeta_k, \eta) = \frac{\sin \pi \zeta_k \text{ sh } \pi \eta}{(\text{ch } \pi \eta - \cos \pi \zeta_k)^2} = L_0(M_0 + 1) \quad (k = 1, 2).$$

2. Całki oznaczone obliczono metodą Simpsona. Niektóre z całek dla $\eta = 0$ udało się przedstawić za pomocą prostych wzorów algebraicznych uzyskując w ten sposób sprawdzenie wyników całkowania numerycznego.

Odpowiednie porównanie wykazało, iż można przyjąć, że uzyskana dokładność obliczenia sięga do czwartego miejsca po przecinku. W szczególności ustawiając na płycie obciążenie wywołujące ugięcie walcowe pasma uzyskano następujące wartości całek niewłaściwych:

$$(2.1) \quad R_0(\zeta, 0) = \int_0^{\infty} \ln \frac{\text{ch } \pi \eta + 1}{\text{ch } \pi \eta - \cos \pi \zeta} d\eta = \frac{\pi}{2} (1 - |\zeta|)^2,$$

$$(2.2) \quad R_2(\zeta, 0) = \int_0^{\infty} \eta^2 \ln \frac{\text{ch } \pi \eta + 1}{\text{ch } \pi \eta - \cos \pi \zeta} d\eta = \frac{\pi}{2} (1 - |\zeta|)^2 (1 + 2|\zeta| - \zeta^2),$$

Таблица 1-

$\xi \backslash \eta$	0,00	0,05	0,10	0,15	0,20	0,25	0,30	0,35	0,40	0,45
0,00	∞	5,0903	3,7102	2,9096	2,3487	1,9211	1,5794	1,2983	1,0628	0,8633
0,05	5,0924	4,4013	3,4912	2,8083	2,2922	1,8859	1,5560	1,2820	1,0512	0,8549
0,10	3,7184	3,4973	3,0334	2,5582	2,1417	1,7888	1,4900	1,2356	1,0178	0,8305
0,15	2,9276	2,8243	2,5680	2,2528	1,9386	1,6496	1,3919	1,1650	0,9662	0,7925
0,20	2,3801	2,3220	2,1650	1,9519	1,7193	1,4897	1,2745	1,0780	0,9013	0,7438
0,25	1,9687	1,9315	1,8283	1,6792	1,5060	1,3256	1,1490	0,9821	0,8281	0,6881
0,30	1,6456	1,6202	1,5481	1,4402	1,3095	1,1677	1,0238	0,8837	0,7513	0,6286
0,35	1,3849	1,3666	1,3142	1,2337	1,1334	1,0213	0,9042	0,7874	0,6746	0,5682
0,40	1,1708	1,1572	1,1177	1,0563	0,9781	0,8888	0,7934	0,6962	0,6006	0,5090
0,45	0,9929	0,9824	0,9521	0,9043	0,8425	0,7707	0,6926	0,6118	0,5311	0,4525
0,50	0,8438	0,8357	0,8119	0,7741	0,7247	0,6664	0,6023	0,5350	0,4669	0,3998
0,55	0,7183	0,7118	0,6929	0,6626	0,6226	0,5751	0,5282	0,4660	0,4085	0,3514
0,60	0,6121	0,6069	0,5916	0,5671	0,5346	0,4955	0,4517	0,4047	0,3561	0,3075
0,65	0,5220	0,5178	0,5054	0,4853	0,4588	0,4264	0,3899	0,3505	0,3095	0,2681
0,70	0,4454	0,4420	0,4318	0,4153	0,3932	0,3665	0,3360	0,3029	0,2682	0,2333
0,75	0,3803	0,3774	0,3689	0,3554	0,3370	0,3147	0,2892	0,2613	0,2320	0,2020
0,80	0,3247	0,3223	0,3154	0,3040	0,2887	0,2701	0,2486	0,2251	0,2003	0,1747
0,85	0,2774	0,2754	0,2696	0,2601	0,2473	0,2316	0,2136	0,1937	0,1726	0,1509
0,90	0,2369	0,2353	0,2304	0,2225	0,2117	0,1985	0,1833	0,1665	0,1486	0,1301
0,95	0,2024	0,2011	0,1970	0,1903	0,1812	0,1701	0,1572	0,1430	0,1278	0,1120
1,00	0,1730	0,1718	0,1684	0,1627	0,1551	0,1457	0,1348	0,1227	0,1098	0,0963
1,05	0,1478	0,1468	0,1439	0,1392	0,1327	0,1247	0,1155	0,1052	0,0942	0,0828
1,10	0,1263	0,1255	0,1230	0,1190	0,1135	0,1068	0,0989	0,0902	0,0808	0,0711
1,15	0,1080	0,1072	0,1051	0,1017	0,0971	0,0914	0,0847	0,0773	0,0693	0,0610
1,20	0,0922	0,0916	0,0899	0,0870	0,0831	0,0782	0,0725	0,0662	0,0594	0,0523
1,25	0,0788	0,0783	0,0768	0,0744	0,0710	0,0669	0,0621	0,0567	0,0509	0,0448
1,30	0,0674	0,0669	0,0657	0,0636	0,0607	0,0571	0,0531	0,0485	0,0436	0,0384
1,35	0,0576	0,0572	0,0561	0,0543	0,0519	0,0489	0,0454	0,0415	0,0373	0,0329
1,40	0,0492	0,0489	0,0480	0,0464	0,0444	0,0418	0,0388	0,0355	0,0319	0,0282
1,45	0,0421	0,0418	0,0410	0,0397	0,0380	0,0358	0,0332	0,0305	0,0273	0,0241
1,50	0,0359	0,0357	0,0350	0,0339	0,0324	0,0306	0,0284	0,0260	0,0234	0,0206
1,55	0,0307	0,0305	0,0300	0,0290	0,0277	0,0262	0,0243	0,0222	0,0200	0,0176
1,60	0,0263	0,0261	0,0256	0,0248	0,0237	0,0224	0,0208	0,0190	0,0171	0,0151
1,65	0,0224	0,0223	0,0219	0,0212	0,0203	0,0191	0,0178	0,0163	0,0146	0,0129
1,70	0,0192	0,0191	0,0187	0,0181	0,0173	0,0163	0,0152	0,0139	0,0125	0,0110
1,75	0,0164	0,0163	0,0160	0,0155	0,0148	0,0140	0,0130	0,0119	0,0107	0,0094
1,80	0,0140	0,0139	0,0137	0,0132	0,0127	0,0119	0,0111	0,0102	0,0091	0,0081
1,85	0,0120	0,0119	0,0117	0,0113	0,0108	0,0102	0,0095	0,0087	0,0078	0,0069
1,90	0,0102	0,0102	0,0100	0,0097	0,0092	0,0087	0,0081	0,0074	0,0067	0,0059
1,95	0,0088	0,0087	0,0085	0,0083	0,0079	0,0075	0,0069	0,0063	0,0057	0,0050
2,00	0,0075	0,0074	0,0073	0,0071	0,0068	0,0064	0,0059	0,0054	0,0049	0,0043
2,50	0,0016	0,0015	0,0015	0,0015	0,0014	0,0013	0,0012	0,0011	0,0010	0,0009
3,00	0,0003	0,0003	0,0003	0,0003	0,0003	0,0003	0,0003	0,0002	0,0002	0,0002
3,50	0,0001	0,0001	0,0001	0,0001	0,0001	0,0001	0,0001	0,0000	0,0000	0,0000
4,00	0,0000	0,0000	0,0000	0,0000	0,0000	0,0000	0,0000	0,0000	0,0000	0,0000

$$X_0 = \ln \frac{\operatorname{ch} \pi \eta + 1}{\operatorname{ch} \pi \eta - \cos \pi \zeta}$$

0,50	0,55	0,60	0,65	0,70	0,75	0,80	0,85	0,90	0,95
-0,6932	0,5478	0,4239	0,3188	0,2308	0,1583	0,1004	0,0560	0,0248	0,0062
-0,6870	0,5433	0,4206	0,3165	0,2292	0,1573	0,0997	0,0557	0,0246	0,0061
-0,6692	0,5302	0,4111	0,3098	0,2245	0,1542	0,0978	0,0546	0,0242	0,0060
-0,6410	0,5095	0,3960	0,2989	0,2170	0,1492	0,0947	0,0530	0,0234	0,0058
-0,6045	0,4825	0,3762	0,2847	0,2071	0,1426	0,0906	0,0507	0,0224	0,0056
-0,5625	0,4508	0,3527	0,2677	0,1952	0,1347	0,0857	0,0480	0,0213	0,0053
-0,5167	0,4162	0,3269	0,2489	0,1820	0,1258	0,0802	0,0450	0,0199	0,0050
-0,4697	0,3801	0,2998	0,2290	0,1678	0,1163	0,0743	0,0417	0,0185	0,0046
-0,4230	0,3439	0,2723	0,2087	0,1534	0,1065	0,0681	0,0383	0,0170	0,0043
-0,3780	0,3086	0,2452	0,1886	0,1390	0,0967	0,0620	0,0349	0,0155	0,0039
-0,3354	0,2750	0,2193	0,1691	0,1250	0,0871	0,0560	0,0315	0,0140	0,0035
-0,2960	0,2435	0,1948	0,1507	0,1116	0,0780	0,0502	0,0284	0,0126	0,0032
-0,2599	0,2145	0,1722	0,1335	0,0991	0,0694	0,0447	0,0252	0,0113	0,0028
-0,2273	0,1882	0,1514	0,1177	0,0875	0,0614	0,0396	0,0224	0,0100	0,0025
-0,1981	0,1644	0,1326	0,1033	0,0770	0,0541	0,0356	0,0198	0,0088	0,0022
-0,1722	0,1432	0,1157	0,0903	0,0674	0,0474	0,0307	0,0174	0,0078	0,0019
-0,1492	0,1244	0,1007	0,0787	0,0589	0,0414	0,0268	0,0152	0,0068	0,0017
-0,1291	0,1078	0,0874	0,0684	0,0502	0,0361	0,0234	0,0133	0,0059	0,0015
-0,1115	0,0932	0,0757	0,0593	0,0444	0,0314	0,0203	0,0116	0,0052	0,0013
-0,0961	0,0804	0,0654	0,0513	0,0385	0,0272	0,0177	0,0100	0,0045	0,0011
-0,0827	0,0693	0,0564	0,0443	0,0333	0,0235	0,0153	0,0087	0,0039	0,0010
-0,0712	0,0597	0,0486	0,0382	0,0287	0,0203	0,0132	0,0075	0,0034	0,0008
-0,0611	0,0513	0,0418	0,0329	0,0248	0,0175	0,0114	0,0065	0,0029	0,0007
-0,0525	0,0441	0,0360	0,0283	0,0213	0,0151	0,0098	0,0056	0,0025	0,0006
-0,0451	0,0379	0,0309	0,0244	0,0183	0,0130	0,0084	0,0048	0,0022	0,0005
-0,0386	0,0325	0,0265	0,0209	0,0157	0,0112	0,0073	0,0041	0,0018	0,0005
-0,0331	0,0279	0,0228	0,0179	0,0135	0,0096	0,0062	0,0036	0,0016	0,0004
-0,0284	0,0239	0,0195	0,0154	0,0116	0,0082	0,0054	0,0031	0,0014	0,0003
-0,0243	0,0204	0,0167	0,0132	0,0099	0,0070	0,0046	0,0026	0,0012	0,0003
-0,0208	0,0175	0,0143	0,0113	0,0085	0,0061	0,0039	0,0022	0,0010	0,0003
-0,0178	0,0150	0,0123	0,0097	0,0073	0,0052	0,0034	0,0019	0,0009	0,0002
-0,0152	0,0128	0,0105	0,0083	0,0063	0,0044	0,0029	0,0016	0,0007	0,0002
-0,0130	0,0110	0,0090	0,0071	0,0054	0,0038	0,0025	0,0014	0,0006	0,0002
-0,0111	0,0094	0,0077	0,0061	0,0046	0,0033	0,0021	0,0012	0,0005	0,0001
-0,0095	0,0080	0,0066	0,0052	0,0039	0,0028	0,0018	0,0010	0,0005	0,0001
-0,0082	0,0069	0,0056	0,0044	0,0034	0,0024	0,0015	0,0009	0,0004	0,0001
-0,0070	0,0059	0,0048	0,0038	0,0029	0,0020	0,0013	0,0008	0,0003	0,0001
-0,0060	0,0050	0,0041	0,0033	0,0025	0,0017	0,0011	0,0006	0,0003	0,0001
-0,0051	0,0043	0,0035	0,0028	0,0021	0,0015	0,0010	0,0005	0,0002	0,0001
-0,0044	0,0037	0,0030	0,0024	0,0018	0,0013	0,0008	0,0005	0,0002	0,0001
-0,0037	0,0031	0,0026	0,0020	0,0015	0,0011	0,0007	0,0004	0,0002	0,0001
-0,0008	0,0007	0,0005	0,0004	0,0003	0,0002	0,0002	0,0001	0,0000	0,0000
-0,0002	0,0001	0,0001	0,0001	0,0001	0,0000	0,0000	0,0000	0,0000	0,0000
-0,0000	0,0000	0,0000	0,0000	0,0000	0,0000	0,0000	0,0000	0,0000	0,0000
-0,0000	0,0000	0,0000	0,0000	0,0000	0,0000	0,0000	0,0000	0,0000	0,0000

Tablica 2.

$\eta \backslash \xi$	0,00	0,05	0,10	0,15	0,20	0,25	0,30	0,35	0,40	0,45
0,00	0,0000	0,0000	0,0000	0,0000	0,0000	0,0000	0,0000	0,0000	0,0050	0,0000
0,05	0,2546	0,2201	0,1746	0,1404	0,1146	0,0943	0,0778	0,0641	0,0526	0,0427
0,10	0,3718	0,3497	0,3033	0,2558	0,2142	0,1789	0,1490	0,1236	0,1018	0,0831
0,15	0,4391	0,4236	0,3852	0,3379	0,2908	0,2474	0,2088	0,1748	0,1449	0,1189
0,20	0,4760	0,4644	0,4330	0,3904	0,3438	0,2979	0,2549	0,2156	0,1803	0,1480
0,25	0,4922	0,4829	0,4571	0,4198	0,3765	0,3314	0,2872	0,2455	0,2070	0,1720
0,30	0,4937	0,4861	0,4644	0,4321	0,3928	0,3503	0,3071	0,2651	0,2254	0,1886
0,35	0,4847	0,4783	0,4600	0,4318	0,3967	0,3575	0,3165	0,2756	0,2361	0,1989
0,40	0,4683	0,4629	0,4471	0,4225	0,3913	0,3555	0,3173	0,2785	0,2402	0,2036
0,45	0,4468	0,4421	0,4285	0,4069	0,3791	0,3468	0,3117	0,2753	0,2390	0,2036
0,50	0,4219	0,4178	0,4060	0,3870	0,3623	0,3332	0,3012	0,2675	0,2334	0,1999
0,55	0,3950	0,3915	0,3811	0,3644	0,3424	0,3163	0,2872	0,2563	0,2247	0,1933
0,60	0,3672	0,3641	0,3550	0,3403	0,3207	0,2973	0,2710	0,2428	0,2137	0,1845
0,65	0,3393	0,3366	0,3285	0,3155	0,2981	0,2771	0,2534	0,2278	0,2012	0,1743
0,70	0,3118	0,3094	0,3023	0,2907	0,2753	0,2565	0,2352	0,2120	0,1878	0,1633
0,75	0,2852	0,2831	0,2767	0,2665	0,2528	0,2360	0,2169	0,1960	0,1740	0,1515
0,80	0,2598	0,2579	0,2523	0,2432	0,2310	0,2161	0,1989	0,1801	0,1602	0,1398
0,85	0,2357	0,2341	0,2291	0,2211	0,2102	0,1969	0,1815	0,1646	0,1467	0,1283
0,90	0,2132	0,2118	0,2074	0,2002	0,1906	0,1787	0,1650	0,1499	0,1337	0,1171
0,95	0,1923	0,1910	0,1871	0,1808	0,1722	0,1616	0,1494	0,1358	0,1214	0,1064
1,00	0,1730	0,1718	0,1684	0,1627	0,1551	0,1457	0,1348	0,1227	0,1098	0,0963
1,05	0,1552	0,1542	0,1511	0,1461	0,1393	0,1310	0,1213	0,1105	0,0989	0,0869
1,10	0,1389	0,1380	0,1353	0,1309	0,1249	0,1175	0,1088	0,0992	0,0889	0,0782
1,15	0,1241	0,1233	0,1209	0,1170	0,1117	0,1051	0,0974	0,0889	0,0797	0,0701
1,20	0,1107	0,1100	0,1078	0,1044	0,0997	0,0938	0,0870	0,0794	0,0713	0,0628
1,25	0,0985	0,0979	0,0960	0,0930	0,0888	0,0836	0,0776	0,0709	0,0636	0,0560
1,30	0,0876	0,0870	0,0854	0,0826	0,0789	0,0744	0,0690	0,0631	0,0567	0,0499
1,35	0,0777	0,0772	0,0758	0,0734	0,0701	0,0661	0,0613	0,0561	0,0504	0,0444
1,40	0,0689	0,0684	0,0671	0,0650	0,0622	0,0586	0,0544	0,0497	0,0447	0,0394
1,45	0,0610	0,0606	0,0595	0,0576	0,0550	0,0519	0,0482	0,0442	0,0396	0,0350
1,50	0,0539	0,0536	0,0526	0,0509	0,0487	0,0459	0,0426	0,0390	0,0351	0,0309
1,55	0,0476	0,0473	0,0464	0,0450	0,0430	0,0406	0,0377	0,0344	0,0310	0,0273
1,60	0,0420	0,0417	0,0410	0,0397	0,0380	0,0358	0,0333	0,0304	0,0274	0,0242
1,65	0,0370	0,0368	0,0361	0,0350	0,0334	0,0315	0,0293	0,0268	0,0241	0,0213
1,70	0,0326	0,0324	0,0318	0,0308	0,0294	0,0278	0,0258	0,0237	0,0213	0,0188
1,75	0,0286	0,0285	0,0280	0,0271	0,0259	0,0245	0,0227	0,0208	0,0187	0,0165
1,80	0,0252	0,0250	0,0246	0,0238	0,0228	0,0215	0,0200	0,0183	0,0164	0,0145
1,85	0,0221	0,0220	0,0216	0,0209	0,0200	0,0189	0,0176	0,0161	0,0145	0,0128
1,90	0,0194	0,0193	0,0190	0,0184	0,0175	0,0166	0,0154	0,0141	0,0127	0,0112
1,95	0,0171	0,0169	0,0166	0,0161	0,0154	0,0146	0,0135	0,0124	0,0111	0,0098
2,00	0,0149	0,0148	0,0146	0,0141	0,0135	0,0128	0,0118	0,0108	0,0097	0,0086
2,50	0,0039	0,0039	0,0038	0,0037	0,0035	0,0033	0,0031	0,0028	0,0025	0,0022
3,00	0,0010	0,0010	0,0009	0,0009	0,0009	0,0008	0,0008	0,0007	0,0006	0,0006
3,50	0,0002	0,0002	0,0002	0,0002	0,0002	0,0002	0,0002	0,0002	0,0002	0,0001
4,00	0,0001	0,0001	0,0001	0,0001	0,0001	0,0000	0,0000	0,0000	0,0000	0,0000

$$K_1 = \eta K_0 = \eta \ln \frac{\operatorname{ch} \pi \eta + 1}{\operatorname{ch} \pi \eta - \cos \pi \zeta}$$

0,50	0,55	0,60	0,65	0,70	0,75	0,80	0,85	0,90	0,95
0,0000	0,0000	0,0000	0,0000	0,0000	0,0000	0,0000	0,0000	0,0000	0,0000
0,0344	0,0272	0,0210	0,0158	0,0125	0,0089	0,0050	0,0028	0,0012	0,0003
0,0669	0,0530	0,0411	0,0310	0,0225	0,0154	0,0098	0,0055	0,0024	0,0006
0,0962	0,0764	0,0594	0,0448	0,0325	0,0224	0,0142	0,0079	0,0035	0,0009
0,1209	0,0965	0,0752	0,0569	0,0414	0,0285	0,0181	0,0101	0,0045	0,0011
0,1406	0,1127	0,0882	0,0669	0,0488	0,0337	0,0214	0,0120	0,0053	0,0013
0,1550	0,1248	0,0981	0,0747	0,0546	0,0377	0,0241	0,0135	0,0060	0,0015
0,1644	0,1330	0,1049	0,0801	0,0587	0,0407	0,0260	0,0146	0,0065	0,0016
0,1692	0,1375	0,1089	0,0835	0,0613	0,0426	0,0273	0,0153	0,0068	0,0017
0,1701	0,1389	0,1104	0,0849	0,0625	0,0435	0,0279	0,0157	0,0070	0,0018
0,1677	0,1375	0,1096	0,0846	0,0625	0,0436	0,0280	0,0158	0,0070	0,0018
0,1628	0,1339	0,1072	0,0829	0,0614	0,0429	0,0276	0,0156	0,0069	0,0017
0,1560	0,1287	0,1033	0,0801	0,0595	0,0416	0,0268	0,0152	0,0068	0,0017
0,1478	0,1223	0,0984	0,0765	0,0569	0,0399	0,0257	0,0146	0,0065	0,0016
0,1387	0,1151	0,0928	0,0723	0,0539	0,0379	0,0250	0,0138	0,0062	0,0015
0,1291	0,1074	0,0868	0,0677	0,0506	0,0356	0,0230	0,0130	0,0058	0,0015
0,1194	0,0995	0,0806	0,0630	0,0471	0,0332	0,0215	0,0122	0,0054	0,0014
0,1097	0,0916	0,0743	0,0582	0,0435	0,0307	0,0199	0,0113	0,0051	0,0013
0,1003	0,0839	0,0681	0,0534	0,0400	0,0282	0,0182	0,0104	0,0047	0,0012
0,0913	0,0764	0,0621	0,0488	0,0366	0,0258	0,0168	0,0095	0,0043	0,0011
0,0827	0,0693	0,0564	0,0443	0,0333	0,0235	0,0153	0,0087	0,0039	0,0010
0,0747	0,0627	0,0511	0,0401	0,0302	0,0213	0,0139	0,0079	0,0035	0,0009
0,0672	0,0565	0,0460	0,0362	0,0272	0,0193	0,0125	0,0071	0,0032	0,0008
0,0604	0,0507	0,0414	0,0326	0,0245	0,0174	0,0113	0,0064	0,0029	0,0007
0,0541	0,0454	0,0371	0,0292	0,0220	0,0156	0,0102	0,0058	0,0026	0,0007
0,0483	0,0406	0,0332	0,0261	0,0197	0,0140	0,0091	0,0052	0,0023	0,0006
0,0430	0,0362	0,0296	0,0233	0,0176	0,0125	0,0081	0,0046	0,0021	0,0005
0,0383	0,0322	0,0263	0,0208	0,0157	0,0111	0,0072	0,0041	0,0019	0,0005
0,0340	0,0286	0,0234	0,0185	0,0139	0,0099	0,0064	0,0037	0,0016	0,0004
0,0302	0,0254	0,0208	0,0164	0,0124	0,0088	0,0057	0,0033	0,0014	0,0004
0,0267	0,0225	0,0184	0,0145	0,0110	0,0078	0,0051	0,0029	0,0013	0,0003
0,0236	0,0199	0,0163	0,0128	0,0097	0,0069	0,0045	0,0026	0,0011	0,0003
0,0208	0,0176	0,0144	0,0114	0,0086	0,0061	0,0040	0,0023	0,0010	0,0003
0,0184	0,0156	0,0127	0,0100	0,0076	0,0054	0,0035	0,0020	0,0009	0,0002
0,0162	0,0137	0,0112	0,0088	0,0067	0,0047	0,0031	0,0018	0,0008	0,0002
0,0143	0,0121	0,0099	0,0078	0,0059	0,0042	0,0027	0,0016	0,0007	0,0002
0,0126	0,0106	0,0087	0,0068	0,0052	0,0037	0,0024	0,0014	0,0006	0,0002
0,0110	0,0093	0,0076	0,0060	0,0045	0,0032	0,0021	0,0012	0,0005	0,0001
0,0097	0,0082	0,0067	0,0053	0,0040	0,0028	0,0018	0,0010	0,0005	0,0001
0,0085	0,0071	0,0059	0,0046	0,0035	0,0025	0,0016	0,0009	0,0004	0,0001
0,0075	0,0063	0,0052	0,0041	0,0031	0,0022	0,0015	0,0008	0,0004	0,0001
0,0019	0,0016	0,0013	0,0011	0,0008	0,0006	0,0004	0,0002	0,0001	0,0000
0,0005	0,0004	0,0003	0,0003	0,0002	0,0001	0,0001	0,0000	0,0000	0,0000
0,0001	0,0001	0,0001	0,0001	0,0000	0,0000	0,0000	0,0000	0,0000	0,0000
0,0000	0,0000	0,0000	0,0000	0,0000	0,0000	0,0000	0,0000	0,0000	0,0000

Tablica 1

η	0,00	0,05	0,10	0,15	0,20	0,25	0,30	0,35	0,40	0,45
0,00	0,0000	0,0000	0,0000	0,0000	0,0000	0,0000	0,0000	0,0000	0,0000	0,0000
0,05	0,0127	0,0110	0,0087	0,0070	0,0057	0,0047	0,0039	0,0032	0,0026	0,0022
0,10	0,0372	0,0350	0,0303	0,0256	0,0214	0,0179	0,0149	0,0124	0,0102	0,0088
0,15	0,0659	0,0636	0,0578	0,0507	0,0436	0,0371	0,0313	0,0262	0,0217	0,0179
0,20	0,0952	0,0929	0,0866	0,0781	0,0688	0,0596	0,0510	0,0431	0,0361	0,0299
0,25	0,1230	0,1207	0,1143	0,1050	0,0941	0,0829	0,0718	0,0614	0,0518	0,0436
0,30	0,1481	0,1458	0,1393	0,1296	0,1179	0,1051	0,0921	0,0795	0,0676	0,0566
0,35	0,1697	0,1674	0,1610	0,1511	0,1388	0,1251	0,1108	0,0965	0,0826	0,0696
0,40	0,1873	0,1851	0,1788	0,1690	0,1565	0,1422	0,1269	0,1114	0,0961	0,0814
0,45	0,2011	0,1989	0,1928	0,1831	0,1706	0,1561	0,1403	0,1239	0,1075	0,0916
0,50	0,2110	0,2089	0,2030	0,1935	0,1812	0,1666	0,1506	0,1338	0,1167	0,1000
0,55	0,2173	0,2153	0,2096	0,2004	0,1883	0,1740	0,1580	0,1410	0,1236	0,1063
0,60	0,2204	0,2185	0,2130	0,2042	0,1924	0,1784	0,1626	0,1457	0,1282	0,1107
0,65	0,2205	0,2188	0,2135	0,2051	0,1938	0,1801	0,1647	0,1481	0,1308	0,1133
0,70	0,2183	0,2166	0,2116	0,2035	0,1927	0,1796	0,1646	0,1484	0,1314	0,1143
0,75	0,2139	0,2123	0,2075	0,1999	0,1896	0,1770	0,1627	0,1470	0,1305	0,1136
0,80	0,2078	0,2063	0,2018	0,1946	0,1848	0,1728	0,1591	0,1441	0,1282	0,1118
0,85	0,2004	0,1990	0,1948	0,1879	0,1787	0,1673	0,1543	0,1399	0,1247	0,1090
0,90	0,1919	0,1906	0,1866	0,1802	0,1715	0,1608	0,1485	0,1349	0,1204	0,1054
0,95	0,1827	0,1815	0,1778	0,1717	0,1635	0,1535	0,1418	0,1290	0,1153	0,1011
1,00	0,1730	0,1718	0,1684	0,1627	0,1551	0,1457	0,1348	0,1227	0,1098	0,0983
1,05	0,1629	0,1619	0,1587	0,1534	0,1463	0,1375	0,1273	0,1160	0,1039	0,0913
1,10	0,1528	0,1518	0,1488	0,1440	0,1374	0,1292	0,1197	0,1092	0,0978	0,0860
1,15	0,1428	0,1418	0,1391	0,1345	0,1284	0,1208	0,1120	0,1022	0,0917	0,0806
1,20	0,1328	0,1320	0,1294	0,1252	0,1196	0,1126	0,1044	0,0953	0,0855	0,0753
1,25	0,1232	0,1224	0,1200	0,1162	0,1110	0,1045	0,0970	0,0886	0,0795	0,0700
1,30	0,1138	0,1131	0,1110	0,1074	0,1026	0,0967	0,0897	0,0820	0,0737	0,0649
1,35	0,1049	0,1043	0,1023	0,0990	0,0946	0,0892	0,0828	0,0757	0,0680	0,0599
1,40	0,0964	0,0958	0,0940	0,0910	0,0870	0,0820	0,0761	0,0696	0,0625	0,0552
1,45	0,0884	0,0879	0,0862	0,0835	0,0798	0,0752	0,0699	0,0641	0,0575	0,0507
1,50	0,0809	0,0804	0,0789	0,0764	0,0730	0,0688	0,0639	0,0585	0,0526	0,0464
1,55	0,0738	0,0733	0,0719	0,0697	0,0666	0,0629	0,0584	0,0534	0,0480	0,0424
1,60	0,0672	0,0668	0,0655	0,0635	0,0607	0,0572	0,0532	0,0487	0,0438	0,0387
1,65	0,0611	0,0607	0,0595	0,0577	0,0552	0,0520	0,0484	0,0443	0,0398	0,0352
1,70	0,0554	0,0551	0,0540	0,0524	0,0501	0,0472	0,0439	0,0402	0,0361	0,0319
1,75	0,0501	0,0499	0,0489	0,0474	0,0453	0,0428	0,0398	0,0364	0,0327	0,0289
1,80	0,0454	0,0451	0,0442	0,0429	0,0410	0,0387	0,0360	0,0329	0,0296	0,0261
1,85	0,0410	0,0407	0,0399	0,0387	0,0370	0,0349	0,0325	0,0297	0,0268	0,0237
1,90	0,0369	0,0367	0,0360	0,0349	0,0333	0,0315	0,0293	0,0268	0,0241	0,0213
1,95	0,0333	0,0330	0,0324	0,0315	0,0300	0,0284	0,0264	0,0242	0,0217	0,0192
2,00	0,0299	0,0296	0,0291	0,0283	0,0270	0,0255	0,0237	0,0217	0,0195	0,0172
2,50	0,0097	0,0096	0,0095	0,0092	0,0088	0,0083	0,0077	0,0071	0,0063	0,0056
3,00	0,0029	0,0029	0,0028	0,0027	0,0026	0,0025	0,0023	0,0021	0,0019	0,0017
3,50	0,0008	0,0008	0,0007	0,0007	0,0007	0,0007	0,0007	0,0005	0,0005	0,0005
4,00	0,0002	0,0002	0,0002	0,0002	0,0002	0,0002	0,0002	0,0002	0,0001	0,0001

$$K_2 = \eta^2 K_0 = \eta^2 \ln \frac{\operatorname{ch} \pi \eta + 1}{\operatorname{ch} \pi \eta - \cos \pi \xi}$$

0,50	0,55	0,60	0,65	0,70	0,75	0,80	0,85	0,90	0,95
0,0000	0,0000	0,0000	0,0000	0,0000	0,0000	0,0000	0,0000	0,0000	0,0000
0,0017	0,0014	0,0011	0,0008	0,0006	0,0004	0,0002	0,0001	0,0001	0,0000
0,0067	0,0053	0,0041	0,0031	0,0022	0,0015	0,0010	0,0006	0,0002	0,0001
0,0144	0,0115	0,0089	0,0067	0,0049	0,0034	0,0021	0,0012	0,0005	0,0001
0,0242	0,0193	0,0150	0,0114	0,0083	0,0057	0,0036	0,0020	0,0009	0,0002
0,0352	0,0282	0,0220	0,0167	0,0122	0,0084	0,0054	0,0030	0,0013	0,0003
0,0465	0,0375	0,0294	0,0224	0,0164	0,0113	0,0072	0,0040	0,0018	0,0004
0,0575	0,0466	0,0367	0,0281	0,0206	0,0142	0,0091	0,0051	0,0023	0,0006
0,0677	0,0550	0,0436	0,0334	0,0245	0,0170	0,0109	0,0061	0,0027	0,0007
0,0765	0,0625	0,0497	0,0382	0,0281	0,0196	0,0126	0,0071	0,0031	0,0008
0,0839	0,0687	0,0548	0,0423	0,0312	0,0218	0,0140	0,0079	0,0035	0,0009
0,0895	0,0737	0,0589	0,0456	0,0338	0,0236	0,0152	0,0086	0,0038	0,0010
0,0936	0,0772	0,0620	0,0481	0,0357	0,0250	0,0161	0,0091	0,0041	0,0010
0,0960	0,0795	0,0640	0,0437	0,0370	0,0259	0,0167	0,0095	0,0042	0,0011
0,0971	0,0806	0,0658	0,0506	0,0377	0,0265	0,0171	0,0097	0,0043	0,0011
0,0968	0,0805	0,0651	0,0508	0,0379	0,0267	0,0173	0,0098	0,0044	0,0011
0,0955	0,0796	0,0645	0,0504	0,0377	0,0265	0,0172	0,0097	0,0043	0,0011
0,0933	0,0779	0,0631	0,0494	0,0370	0,0261	0,0169	0,0096	0,0043	0,0011
0,0903	0,0755	0,0613	0,0480	0,0360	0,0254	0,0164	0,0094	0,0042	0,0010
0,0867	0,0726	0,0590	0,0463	0,0347	0,0245	0,0159	0,0091	0,0041	0,0010
0,0827	0,0693	0,0564	0,0443	0,0333	0,0235	0,0153	0,0087	0,0039	0,0010
0,0784	0,0658	0,0536	0,0421	0,0317	0,0224	0,0146	0,0083	0,0037	0,0009
0,0740	0,0621	0,0506	0,0398	0,0299	0,0212	0,0138	0,0078	0,0035	0,0009
0,0694	0,0583	0,0476	0,0375	0,0282	0,0200	0,0130	0,0074	0,0033	0,0008
0,0649	0,0545	0,0445	0,0351	0,0264	0,0187	0,0122	0,0069	0,0031	0,0008
0,0604	0,0508	0,0415	0,0327	0,0246	0,0174	0,0113	0,0065	0,0029	0,0007
0,0560	0,0471	0,0385	0,0303	0,0228	0,0162	0,0105	0,0060	0,0027	0,0007
0,0517	0,0435	0,0355	0,0280	0,0211	0,0150	0,0098	0,0056	0,0025	0,0006
0,0476	0,0401	0,0328	0,0250	0,0195	0,0138	0,0090	0,0051	0,0023	0,0006
0,0438	0,0368	0,0301	0,0238	0,0179	0,0127	0,0083	0,0047	0,0021	0,0005
0,0401	0,0338	0,0276	0,0218	0,0164	0,0116	0,0076	0,0043	0,0019	0,0005
0,0366	0,0308	0,0252	0,0199	0,0150	0,0106	0,0070	0,0040	0,0018	0,0004
0,0334	0,0281	0,0229	0,0182	0,0137	0,0097	0,0064	0,0036	0,0016	0,0004
0,0303	0,0256	0,0209	0,0165	0,0125	0,0089	0,0058	0,0033	0,0015	0,0004
0,0275	0,0232	0,0190	0,0150	0,0113	0,0087	0,0053	0,0030	0,0013	0,0003
0,0250	0,0211	0,0172	0,0136	0,0103	0,0073	0,0047	0,0027	0,0012	0,0003
0,0226	0,0191	0,0156	0,0123	0,0093	0,0066	0,0043	0,0025	0,0011	0,0003
0,0204	0,0172	0,0141	0,0111	0,0084	0,0060	0,0039	0,0022	0,0010	0,0003
0,0184	0,0155	0,0127	0,0100	0,0076	0,0054	0,0035	0,0020	0,0009	0,0002
0,0166	0,0139	0,0114	0,0090	0,0068	0,0048	0,0032	0,0018	0,0008	0,0002
0,0149	0,0125	0,0103	0,0082	0,0062	0,0044	0,0029	0,0016	0,0007	0,0002
0,0049	0,0041	0,0034	0,0027	0,0020	0,0014	0,0009	0,0005	0,0002	0,0000
0,0015	0,0012	0,0010	0,0008	0,0006	0,0004	0,0003	0,0002	0,0001	0,0000
0,0004	0,0003	0,0003	0,0002	0,0002	0,0001	0,0001	0,0000	0,0000	0,0000
0,0001	0,0001	0,0001	0,0001	0,0000	0,0000	0,0000	0,0000	0,0000	0,0000

Table

$\frac{5}{\eta}$	0,00	0,05	0,10	0,15	0,20	0,25	0,30	0,35	0,40
0,00	1,5708	1,4164	1,2723	1,1350	1,0054	0,8836	0,7696	0,6637	0,5655
0,05	1,2169	1,1762	1,0906	0,9912	0,8889	0,7882	0,6910	0,5991	0,5126
0,10	1,0001	0,9798	0,9272	0,8566	0,7777	0,6961	0,6147	0,5360	0,4608
0,15	0,8353	0,8227	0,7874	0,7363	0,6756	0,6100	0,5426	0,4759	0,4111
0,20	0,7033	0,6945	0,6693	0,6313	0,5841	0,5315	0,4768	0,4198	0,3642
0,25	0,5951	0,5886	0,5698	0,5406	0,5036	0,4611	0,4152	0,3683	0,3211
0,30	0,5049	0,5001	0,4856	0,4628	0,4333	0,3988	0,3609	0,3216	0,2816
0,35	0,4295	0,4256	0,4142	0,3961	0,3723	0,3441	0,3120	0,2799	0,2460
0,40	0,3657	0,3627	0,3535	0,3389	0,3196	0,2964	0,2704	0,2428	0,2141
0,45	0,3118	0,3093	0,3019	0,2900	0,2741	0,2550	0,2333	0,2101	0,1858
0,50	0,2659	0,2640	0,2579	0,2481	0,2350	0,2191	0,2009	0,1815	0,1609
0,55	0,2270	0,2254	0,2204	0,2123	0,2014	0,1881	0,1729	0,1565	0,1391
0,60	0,1937	0,1925	0,1883	0,1816	0,1725	0,1614	0,1486	0,1348	0,1200
0,65	0,1655	0,1644	0,1609	0,1554	0,1477	0,1384	0,1276	0,1159	0,1033
0,70	0,1413	0,1405	0,1376	0,1329	0,1265	0,1186	0,1094	0,0996	0,0889
0,75	0,1208	0,1200	0,1176	0,1137	0,1083	0,1016	0,0938	0,0855	0,0764
0,80	0,1033	0,1026	0,1005	0,0972	0,0926	0,0870	0,0804	0,0734	0,0656
0,85	0,0883	0,0877	0,0859	0,0831	0,0793	0,0745	0,0689	0,0629	0,0563
0,90	0,0754	0,0749	0,0735	0,0711	0,0678	0,0638	0,0590	0,0539	0,0483
0,95	0,0645	0,0640	0,0628	0,0608	0,0580	0,0546	0,0505	0,0462	0,0414
1,00	0,0551	0,0547	0,0537	0,0520	0,0496	0,0467	0,0432	0,0396	0,0355
1,05	0,0471	0,0468	0,0459	0,0444	0,0424	0,0400	0,0370	0,0339	0,0304
1,10	0,0403	0,0400	0,0392	0,0380	0,0363	0,0342	0,0316	0,0290	0,0261
1,15	0,0344	0,0342	0,0335	0,0325	0,0310	0,0292	0,0270	0,0248	0,0223
1,20	0,0294	0,0292	0,0287	0,0278	0,0266	0,0250	0,0231	0,0213	0,0191
1,25	0,0252	0,0250	0,0245	0,0238	0,0227	0,0214	0,0197	0,0182	0,0163
1,30	0,0215	0,0214	0,0210	0,0203	0,0194	0,0183	0,0169	0,0156	0,0140
1,35	0,0184	0,0183	0,0179	0,0174	0,0166	0,0157	0,0144	0,0133	0,0120
1,40	0,0157	0,0156	0,0153	0,0149	0,0142	0,0134	0,0123	0,0114	0,0102
1,45	0,0135	0,0134	0,0131	0,0127	0,0122	0,0115	0,0105	0,0098	0,0088
1,50	0,0115	0,0114	0,0112	0,0109	0,0104	0,0098	0,0090	0,0083	0,0075
1,55	0,0098	0,0098	0,0096	0,0093	0,0089	0,0084	0,0077	0,0071	0,0064
1,60	0,0084	0,0084	0,0082	0,0080	0,0076	0,0072	0,0065	0,0061	0,0055
1,65	0,0072	0,0072	0,0070	0,0068	0,0065	0,0061	0,0056	0,0052	0,0047
1,70	0,0062	0,0061	0,0060	0,0058	0,0056	0,0053	0,0048	0,0045	0,0040
1,75	0,0053	0,0052	0,0051	0,0050	0,0048	0,0045	0,0041	0,0038	0,0034
1,80	0,0045	0,0045	0,0044	0,0043	0,0041	0,0039	0,0035	0,0033	0,0029
1,85	0,0039	0,0038	0,0038	0,0037	0,0035	0,0033	0,0029	0,0028	0,0025
1,90	0,0033	0,0033	0,0032	0,0031	0,0030	0,0028	0,0025	0,0024	0,0022
1,95	0,0028	0,0028	0,0028	0,0027	0,0026	0,0024	0,0021	0,0021	0,0019
2,00	0,0024	0,0024	0,0024	0,0023	0,0022	0,0021	0,0018	0,0018	0,0016
2,50	0,0005	0,0005	0,0005	0,0005	0,0005	0,0004	0,0004	0,0004	0,0003
3,00	0,0001	0,0001	0,0001	0,0001	0,0001	0,0001	0,0001	0,0001	0,0001
3,50	0,0000	0,0000	0,0000	0,0000	0,0000	0,0000	0,0000	0,0000	0,0000

$$R_0 = \int_{\eta}^{\infty} K_0 d\eta = \int_{\eta}^{\infty} \ln \frac{\operatorname{ch} \pi \eta + 1}{\operatorname{ch} \pi \eta - \cos \pi \xi} d\eta$$

0,50	0,55	0,60	0,65	0,70	0,75	0,80	0,85	0,90	0,95
0,3928	0,3181	0,2513	0,1924	0,1414	0,0981	0,0628	0,0354	0,0157	0,0039
0,3582	0,2908	0,2302	0,1765	0,1293	0,0903	0,0577	0,0325	0,0145	0,0036
0,3242	0,2639	0,2094	0,1609	0,1185	0,0825	0,0529	0,0298	0,0132	0,0033
0,2914	0,2379	0,1892	0,1456	0,1069	0,0749	0,0481	0,0271	0,0121	0,0030
0,2603	0,2131	0,1698	0,1310	0,0968	0,0676	0,0434	0,0245	0,0109	0,0027
0,2311	0,1897	0,1516	0,1172	0,0862	0,0607	0,0391	0,0220	0,0098	0,0024
0,2041	0,1680	0,1346	0,1043	0,0774	0,0542	0,0349	0,0197	0,0088	0,0022
0,1794	0,1481	0,1189	0,0923	0,0680	0,0481	0,0310	0,0175	0,0078	0,0019
0,1571	0,1300	0,1046	0,0814	0,0606	0,0425	0,0275	0,0156	0,0069	0,0017
0,1371	0,1137	0,0917	0,0715	0,0527	0,0375	0,0242	0,0137	0,0061	0,0015
0,1193	0,0991	0,0801	0,0625	0,0467	0,0329	0,0213	0,0121	0,0054	0,0013
0,1035	0,0862	0,0697	0,0545	0,0402	0,0287	0,0186	0,0105	0,0047	0,0012
0,0896	0,0748	0,0606	0,0474	0,0355	0,0251	0,0162	0,0092	0,0041	0,0010
0,0774	0,0647	0,0525	0,0412	0,0302	0,0218	0,0141	0,0080	0,0036	0,0009
0,0668	0,0559	0,0454	0,0356	0,0267	0,0189	0,0123	0,0070	0,0031	0,0008
0,0576	0,0482	0,0392	0,0308	0,0231	0,0164	0,0106	0,0060	0,0027	0,0007
0,0495	0,0415	0,0338	0,0266	0,0200	0,0141	0,0092	0,0052	0,0023	0,0006
0,0426	0,0357	0,0291	0,0229	0,0172	0,0122	0,0079	0,0045	0,0020	0,0005
0,0366	0,0307	0,0250	0,0197	0,0148	0,0105	0,0068	0,0039	0,0017	0,0004
0,0314	0,0264	0,0215	0,0170	0,0128	0,0091	0,0059	0,0033	0,0015	0,0004
0,0269	0,0227	0,0185	0,0146	0,0110	0,0078	0,0051	0,0029	0,0013	0,0003
0,0231	0,0194	0,0159	0,0125	0,0094	0,0067	0,0043	0,0025	0,0011	0,0003
0,0198	0,0167	0,0136	0,0107	0,0081	0,0058	0,0037	0,0021	0,0009	0,0002
0,0170	0,0143	0,0117	0,0092	0,0069	0,0049	0,0032	0,0018	0,0008	0,0002
0,0145	0,0122	0,0100	0,0079	0,0059	0,0042	0,0027	0,0016	0,0007	0,0002
0,0125	0,0105	0,0086	0,0068	0,0051	0,0036	0,0024	0,0018	0,0006	0,0001
0,0107	0,0090	0,0073	0,0058	0,0044	0,0031	0,0020	0,0012	0,0005	0,0001
0,0091	0,0077	0,0063	0,0050	0,0037	0,0027	0,0017	0,0010	0,0004	0,0001
0,0078	0,0066	0,0054	0,0043	0,0031	0,0023	0,0015	0,0008	0,0004	0,0001
0,0069	0,0056	0,0046	0,0036	0,0027	0,0020	0,0013	0,0007	0,0003	0,0001
0,0057	0,0048	0,0039	0,0031	0,0023	0,0017	0,0011	0,0006	0,0003	0,0001
0,0049	0,0041	0,0034	0,0027	0,0020	0,0015	0,0009	0,0005	0,0002	0,0000
0,0042	0,0035	0,0029	0,0023	0,0017	0,0012	0,0008	0,0005	0,0002	0,0000
0,0036	0,0030	0,0025	0,0020	0,0014	0,0011	0,0007	0,0004	0,0002	0,0000
0,0031	0,0026	0,0021	0,0017	0,0012	0,0009	0,0006	0,0003	0,0002	0,0000
0,0026	0,0022	0,0018	0,0014	0,0011	0,0008	0,0005	0,0003	0,0001	0,0000
0,0023	0,0019	0,0015	0,0012	0,0009	0,0007	0,0004	0,0002	0,0001	0,0000
0,0019	0,0016	0,0013	0,0011	0,0008	0,0006	0,0004	0,0002	0,0001	0,0000
0,0017	0,0014	0,0011	0,0009	0,0007	0,0005	0,0003	0,0002	0,0001	0,0000
0,0014	0,0012	0,0010	0,0007	0,0006	0,0004	0,0003	0,0002	0,0001	0,0000
0,0012	0,0010	0,0008	0,0006	0,0005	0,0004	0,0002	0,0001	0,0001	0,0000
0,0002	0,0002	0,0002	0,0001	0,0001	0,0001	0,0000	0,0000	0,0000	0,0000
0,0000	0,0000	0,0000	0,0000	0,0000	0,0000	0,0000	0,0000	0,0000	0,0000
0,0000	0,0000	0,0000	0,0000	0,0000	0,0000	0,0000	0,0000	0,0000	0,0000

Tablica 5.

ξ η	0,00	0,05	0,10	0,15	0,20	0,25	0,30	0,35	0,40	0,45
0,00	0,4260	0,4180	0,3998	0,3756	0,3477	0,3172	0,2855	0,2532	0,2209	0,1899
0,05	0,4187	0,4121	0,3953	0,3721	0,3447	0,3149	0,2835	0,2515	0,2195	0,1888
0,10	0,4028	0,3975	0,3831	0,3620	0,3364	0,3080	0,2779	0,2469	0,2157	0,1857
0,15	0,3824	0,3780	0,3657	0,3471	0,3237	0,2972	0,2688	0,2393	0,2095	0,1806
0,20	0,3594	0,3557	0,3450	0,3287	0,3078	0,2835	0,2572	0,2296	0,2013	0,1739
0,25	0,3351	0,3320	0,3228	0,3084	0,2897	0,2677	0,2434	0,2179	0,1916	0,1658
0,30	0,3104	0,3077	0,2997	0,2870	0,2704	0,2506	0,2287	0,2052	0,1807	0,1568
0,35	0,2859	0,2835	0,2766	0,2655	0,2506	0,2329	0,2130	0,1916	0,1692	0,1471
0,40	0,2620	0,2600	0,2539	0,2440	0,2309	0,2150	0,1971	0,1777	0,1572	0,1370
0,45	0,2392	0,2373	0,2319	0,2233	0,2116	0,1975	0,1813	0,1638	0,1452	0,1268
0,50	0,2174	0,2158	0,2111	0,2034	0,1930	0,1804	0,1660	0,1503	0,1334	0,1167
0,55	0,1970	0,1956	0,1914	0,1847	0,1754	0,1642	0,1513	0,1371	0,1220	0,1068
0,60	0,1780	0,1767	0,1730	0,1670	0,1588	0,1489	0,1373	0,1247	0,1116	0,0974
0,65	0,1603	0,1592	0,1559	0,1506	0,1433	0,1345	0,1242	0,1129	0,1006	0,0884
0,70	0,1440	0,1430	0,1401	0,1354	0,1290	0,1211	0,1120	0,1019	0,0909	0,0800
0,75	0,1291	0,1282	0,1257	0,1215	0,1158	0,1088	0,1007	0,0917	0,0818	0,0721
0,80	0,1155	0,1147	0,1125	0,1087	0,1037	0,0975	0,0903	0,0823	0,0735	0,0647
0,85	0,1031	0,1024	0,1004	0,0972	0,0927	0,0872	0,0808	0,0737	0,0658	0,0581
0,90	0,0919	0,0913	0,0895	0,0866	0,0827	0,0778	0,0721	0,0659	0,0588	0,0520
0,95	0,0817	0,0812	0,0797	0,0772	0,0736	0,0693	0,0643	0,0587	0,0524	0,0464
1,00	0,0726	0,0721	0,0708	0,0685	0,0654	0,0617	0,0572	0,0523	0,0466	0,0414
1,05	0,0644	0,0640	0,0628	0,0609	0,0581	0,0547	0,0508	0,0464	0,0414	0,0368
1,10	0,0571	0,0567	0,0556	0,0539	0,0515	0,0485	0,0450	0,0412	0,0367	0,0326
1,15	0,0505	0,0502	0,0492	0,0477	0,0456	0,0430	0,0399	0,0365	0,0325	0,0289
1,20	0,0446	0,0444	0,0435	0,0422	0,0403	0,0380	0,0353	0,0323	0,0287	0,0255
1,25	0,0394	0,0392	0,0384	0,0373	0,0356	0,0336	0,0312	0,0285	0,0254	0,0226
1,30	0,0348	0,0346	0,0339	0,0328	0,0314	0,0296	0,0275	0,0252	0,0223	0,0200
1,35	0,0306	0,0304	0,0299	0,0290	0,0277	0,0261	0,0243	0,0222	0,0197	0,0176
1,40	0,0270	0,0268	0,0263	0,0255	0,0244	0,0230	0,0214	0,0196	0,0172	0,0155
1,45	0,0237	0,0236	0,0232	0,0225	0,0215	0,0203	0,0188	0,0172	0,0152	0,0137
1,50	0,0209	0,0207	0,0204	0,0197	0,0189	0,0178	0,0165	0,0151	0,0133	0,0120
1,55	0,0183	0,0182	0,0179	0,0174	0,0166	0,0157	0,0145	0,0133	0,0117	0,0106
1,60	0,0161	0,0160	0,0157	0,0152	0,0146	0,0138	0,0128	0,0117	0,0102	0,0093
1,65	0,0141	0,0140	0,0138	0,0134	0,0128	0,0121	0,0112	0,0103	0,0089	0,0081
1,70	0,0124	0,0123	0,0121	0,0117	0,0112	0,0106	0,0098	0,0090	0,0079	0,0071
1,75	0,0109	0,0108	0,0106	0,0103	0,0098	0,0093	0,0086	0,0079	0,0068	0,0063
1,80	0,0095	0,0094	0,0093	0,0090	0,0086	0,0081	0,0075	0,0069	0,0059	0,0055
1,85	0,0083	0,0083	0,0081	0,0079	0,0075	0,0071	0,0066	0,0061	0,0052	0,0048
1,90	0,0073	0,0072	0,0071	0,0069	0,0066	0,0062	0,0058	0,0053	0,0045	0,0042
1,95	0,0064	0,0063	0,0062	0,0061	0,0058	0,0055	0,0051	0,0046	0,0039	0,0037
2,00	0,0056	0,0055	0,0055	0,0053	0,0051	0,0048	0,0044	0,0041	0,0034	0,0032
2,50	0,0014	0,0014	0,0014	0,0013	0,0018	0,0012	0,0011	0,0010	0,0009	0,0008
3,00	0,0004	0,0003	0,0003	0,0003	0,0003	0,0003	0,0003	0,0003	0,0002	0,0002
3,50	0,0001	0,0001	0,0001	0,0001	0,0001	0,0001	0,0001	0,0001	0,0001	0,0000
4,00	0,0000	0,0000	0,0000	0,0000	0,0000	0,0000	0,0000	0,0000	0,0000	0,0000

$$R_1 = \int_{\eta}^{\infty} K_1 d\eta = \int_{\eta}^{\infty} \eta \ln \frac{\operatorname{ch} \pi \eta + 1}{\operatorname{ch} \pi \eta - \cos \pi \xi} d\eta$$

0,50	0,55	0,60	0,65	0,70	0,75	0,80	0,85	0,90	0,95
0,1599	0,1316	0,1069	0,0822	0,0607	0,0426	0,0274	0,0154	0,0069	0,0017
0,1590	0,1309	0,1049	0,0813	0,0604	0,0424	0,0273	0,0154	0,0068	0,0017
0,1565	0,1289	0,1033	0,0801	0,0595	0,0418	0,0269	0,0152	0,0068	0,0017
0,1524	0,1257	0,1008	0,0782	0,0581	0,0408	0,0263	0,0149	0,0066	0,0016
0,1470	0,1214	0,0974	0,0756	0,0562	0,0395	0,0255	0,0144	0,0064	0,0016
0,1404	0,1161	0,0933	0,0725	0,0540	0,0380	0,0245	0,0139	0,0061	0,0015
0,1330	0,1102	0,0886	0,0690	0,0514	0,0362	0,0234	0,0132	0,0059	0,0015
0,1250	0,1037	0,0836	0,0651	0,0486	0,0342	0,0221	0,0125	0,0056	0,0014
0,1167	0,0969	0,0782	0,0610	0,0455	0,0321	0,0208	0,0118	0,0052	0,0013
0,1081	0,0899	0,0727	0,0568	0,0424	0,0300	0,0194	0,0110	0,0049	0,0012
0,0996	0,0831	0,0672	0,0525	0,0393	0,0278	0,0180	0,0102	0,0046	0,0011
0,0914	0,0762	0,0618	0,0483	0,0362	0,0256	0,0166	0,0094	0,0042	0,0010
0,0834	0,0697	0,0564	0,0442	0,0332	0,0235	0,0153	0,0087	0,0039	0,0009
0,0759	0,0634	0,0515	0,0404	0,0303	0,0215	0,0139	0,0079	0,0035	0,0009
0,0686	0,0575	0,0466	0,0366	0,0275	0,0195	0,0127	0,0072	0,0032	0,0008
0,0619	0,0519	0,0422	0,0331	0,0249	0,0177	0,0115	0,0065	0,0029	0,0007
0,0557	0,0467	0,0379	0,0299	0,0225	0,0160	0,0104	0,0059	0,0027	0,0006
0,0500	0,0419	0,0342	0,0268	0,0202	0,0144	0,0093	0,0053	0,0024	0,0006
0,0448	0,0376	0,0305	0,0241	0,0181	0,0129	0,0084	0,0048	0,0021	0,0005
0,0400	0,0336	0,0273	0,0215	0,0162	0,0116	0,0075	0,0043	0,0019	0,0005
0,0356	0,0299	0,0243	0,0192	0,0145	0,0103	0,0067	0,0038	0,0017	0,0004
0,0317	0,0266	0,0217	0,0171	0,0129	0,0092	0,0060	0,0034	0,0015	0,0004
0,0281	0,0237	0,0191	0,0152	0,0114	0,0082	0,0053	0,0030	0,0013	0,0003
0,0249	0,0210	0,0171	0,0134	0,0101	0,0073	0,0047	0,0027	0,0012	0,0003
0,0221	0,0185	0,0150	0,0119	0,0090	0,0065	0,0042	0,0024	0,0010	0,0002
0,0195	0,0164	0,0134	0,0105	0,0079	0,0057	0,0037	0,0021	0,0009	0,0002
0,0172	0,0145	0,0117	0,0093	0,0070	0,0051	0,0033	0,0019	0,0008	0,0002
0,0152	0,0128	0,0104	0,0082	0,0062	0,0045	0,0029	0,0016	0,0007	0,0002
0,0134	0,0113	0,0092	0,0072	0,0054	0,0039	0,0025	0,0014	0,0006	0,0001
0,0118	0,0099	0,0081	0,0063	0,0048	0,0035	0,0022	0,0013	0,0005	0,0001
0,0104	0,0087	0,0071	0,0055	0,0042	0,0031	0,0020	0,0011	0,0005	0,0001
0,0091	0,0077	0,0063	0,0049	0,0037	0,0027	0,0017	0,0010	0,0005	0,0001
0,0080	0,0067	0,0055	0,0043	0,0032	0,0024	0,0016	0,0009	0,0004	0,0001
0,0070	0,0059	0,0048	0,0037	0,0028	0,0021	0,0013	0,0008	0,0004	0,0001
0,0062	0,0052	0,0042	0,0033	0,0025	0,0018	0,0012	0,0007	0,0003	0,0001
0,0054	0,0046	0,0037	0,0028	0,0022	0,0016	0,0010	0,0006	0,0003	0,0001
0,0047	0,0040	0,0033	0,0025	0,0019	0,0014	0,0009	0,0005	0,0003	0,0001
0,0042	0,0035	0,0029	0,0021	0,0016	0,0011	0,0008	0,0004	0,0002	0,0000
0,0036	0,0031	0,0025	0,0019	0,0014	0,0011	0,0007	0,0004	0,0002	0,0000
0,0032	0,0027	0,0022	0,0016	0,0012	0,0010	0,0006	0,0003	0,0002	0,0000
0,0028	0,0023	0,0019	0,0015	0,0011	0,0009	0,0005	0,0003	0,0002	0,0000
0,0007	0,0006	0,0005	0,0004	0,0003	0,0002	0,0001	0,0001	0,0001	0,0000
0,0002	0,0001	0,0001	0,0001	0,0001	0,0000	0,0000	0,0000	0,0000	0,0000
0,0000	0,0000	0,0000	0,0000	0,0000	0,0000	0,0000	0,0000	0,0000	0,0000
0,0000	0,0000	0,0000	0,0000	0,0000	0,0000	0,0000	0,0000	0,0000	0,0000

Tablica 6.

ξ η	0,00	0,05	0,10	0,15	0,20	0,25	0,30	0,35	0,40	0,45
0,00	0,2619	0,2594	0,2524	0,2416	0,2281	0,2119	0,1937	0,1745	0,1546	0,1345
0,05	0,2616	0,2592	0,2523	0,2415	0,2278	0,2117	0,1937	0,1745	0,1545	0,1344
0,10	0,2605	0,2580	0,2513	0,2408	0,2273	0,2113	0,1932	0,1741	0,1543	0,1342
0,15	0,2578	0,2556	0,2491	0,2389	0,2256	0,2098	0,1921	0,1732	0,1535	0,1336
0,20	0,2538	0,2517	0,2455	0,2356	0,2229	0,2075	0,1900	0,1715	0,1521	0,1324
0,25	0,2483	0,2463	0,2405	0,2311	0,2187	0,2039	0,1870	0,1688	0,1498	0,1306
0,30	0,2416	0,2397	0,2341	0,2252	0,2135	0,1992	0,1829	0,1653	0,1469	0,1281
0,35	0,2336	0,2318	0,2266	0,2182	0,2070	0,1934	0,1778	0,1609	0,1431	0,1249
0,40	0,2246	0,2230	0,2180	0,2102	0,1997	0,1867	0,1718	0,1557	0,1387	0,1211
0,45	0,2149	0,2134	0,2088	0,2013	0,1915	0,1792	0,1651	0,1498	0,1335	0,1168
0,50	0,2046	0,2021	0,1989	0,1919	0,1828	0,1712	0,1579	0,1434	0,1279	0,1120
0,55	0,1939	0,1925	0,1886	0,1820	0,1734	0,1626	0,1501	0,1365	0,1219	0,1068
0,60	0,1829	0,1817	0,1779	0,1719	0,1640	0,1537	0,1421	0,1293	0,1156	0,1014
0,65	0,1719	0,1707	0,1673	0,1617	0,1542	0,1447	0,1339	0,1219	0,1091	0,0958
0,70	0,1609	0,1598	0,1566	0,1514	0,1446	0,1357	0,1257	0,1145	0,1026	0,0901
0,75	0,1501	0,1491	0,1462	0,1413	0,1349	0,1268	0,1175	0,1071	0,0960	0,0844
0,80	0,1395	0,1386	0,1359	0,1315	0,1255	0,1181	0,1094	0,0999	0,0895	0,0787
0,85	0,1294	0,1285	0,1260	0,1219	0,1164	0,1096	0,1016	0,0927	0,0832	0,0732
0,90	0,1195	0,1188	0,1165	0,1127	0,1077	0,1014	0,0940	0,0859	0,0771	0,0679
0,95	0,1101	0,1095	0,1074	0,1039	0,0993	0,0935	0,0868	0,0793	0,0712	0,0627
1,00	0,1013	0,1006	0,0987	0,0956	0,0913	0,0860	0,0798	0,0730	0,0656	0,0573
1,05	0,0939	0,0923	0,0905	0,0876	0,0838	0,0789	0,0733	0,0670	0,0602	0,0531
1,10	0,0850	0,0844	0,0828	0,0802	0,0767	0,0723	0,0671	0,0614	0,0551	0,0486
1,15	0,0776	0,0771	0,0757	0,0732	0,0701	0,0660	0,0613	0,0561	0,0504	0,0445
1,20	0,0707	0,0702	0,0689	0,0668	0,0639	0,0602	0,0559	0,0511	0,0460	0,0406
1,25	0,0643	0,0639	0,0627	0,0607	0,0581	0,0548	0,0509	0,0466	0,0418	0,0369
1,30	0,0584	0,0580	0,0569	0,0551	0,0528	0,0497	0,0461	0,0423	0,0380	0,0336
1,35	0,0529	0,0526	0,0516	0,0500	0,0478	0,0451	0,0419	0,0384	0,0345	0,0304
1,40	0,0479	0,0476	0,0466	0,0452	0,0433	0,0408	0,0379	0,0347	0,0312	0,0276
1,45	0,0432	0,0430	0,0422	0,0409	0,0391	0,0369	0,0343	0,0314	0,0282	0,0249
1,50	0,0390	0,0388	0,0380	0,0369	0,0353	0,0333	0,0309	0,0283	0,0255	0,0225
1,55	0,0351	0,0350	0,0343	0,0332	0,0318	0,0300	0,0279	0,0255	0,0230	0,0203
1,60	0,0317	0,0314	0,0308	0,0299	0,0286	0,0270	0,0251	0,0230	0,0207	0,0183
1,65	0,0284	0,0283	0,0277	0,0269	0,0257	0,0243	0,0225	0,0206	0,0186	0,0164
1,70	0,0255	0,0254	0,0249	0,0241	0,0231	0,0218	0,0202	0,0185	0,0167	0,0147
1,75	0,0229	0,0227	0,0223	0,0216	0,0207	0,0195	0,0181	0,0166	0,0150	0,0132
1,80	0,0205	0,0204	0,0200	0,0194	0,0186	0,0175	0,0163	0,0149	0,0134	0,0118
1,85	0,0183	0,0182	0,0178	0,0173	0,0166	0,0156	0,0145	0,0133	0,0120	0,0106
1,90	0,0164	0,0163	0,0160	0,0155	0,0146	0,0140	0,0130	0,0119	0,0107	0,0095
1,95	0,0147	0,0146	0,0143	0,0139	0,0133	0,0125	0,0116	0,0108	0,0096	0,0085
2,00	0,0131	0,0130	0,0128	0,0124	0,0119	0,0112	0,0104	0,0095	0,0085	0,0076
2,50	0,0040	0,0040	0,0039	0,0038	0,0036	0,0034	0,0032	0,0029	0,0026	0,0020
3,00	0,0012	0,0011	0,0011	0,0011	0,0010	0,0010	0,0009	0,0008	0,0007	0,0007
3,50	0,0003	0,0003	0,0003	0,0003	0,0003	0,0003	0,0003	0,0002	0,0002	0,0001
4,00	0,0001	0,0001	0,0001	0,0001	0,0001	0,0001	0,0001	0,0001	0,0000	0,0000
4,50	0,0000	0,0000	0,0000	0,0000	0,0000	0,0000	0,0000	0,0000	0,0000	0,0000

$$R_2 = \int_{\eta}^{\infty} K_2 d\eta = \int_{\eta}^{\infty} \eta^2 \ln \frac{\operatorname{ch} \pi \eta + 1}{\operatorname{ch} \pi \eta - \cos \pi \zeta} d\eta$$

0,50	0,55	0,60	0,65	0,70	0,75	0,80	0,85	0,90	0,95
0,1145	0,0954	0,0768	0,0600	0,0449	0,0318	0,0204	0,0114	0,0051	0,0012
0,1144	0,0953	0,0768	0,0599	0,0449	0,0318	0,0204	0,0114	0,0051	0,0012
0,1143	0,0952	0,0767	0,0599	0,0449	0,0317	0,0204	0,0113	0,0051	0,0012
0,1137	0,0946	0,0763	0,0595	0,0446	0,0316	0,0203	0,0113	0,0051	0,0012
0,1128	0,0940	0,0758	0,0592	0,0444	0,0314	0,0202	0,0112	0,0051	0,0012
0,1113	0,0927	0,0748	0,0584	0,0438	0,0310	0,0200	0,0111	0,0050	0,0012
0,1093	0,0912	0,0736	0,0575	0,0431	0,0305	0,0197	0,0109	0,0049	0,0012
0,1066	0,0889	0,0719	0,0561	0,0422	0,0299	0,0193	0,0107	0,0048	0,0012
0,1036	0,0866	0,0699	0,0547	0,0411	0,0291	0,0187	0,0104	0,0047	0,0011
0,0999	0,0835	0,0675	0,0528	0,0397	0,0282	0,0182	0,0101	0,0046	0,0011
0,0959	0,0803	0,0649	0,0509	0,0383	0,0272	0,0175	0,0097	0,0044	0,0011
0,0915	0,0766	0,0621	0,0486	0,0366	0,0260	0,0168	0,0093	0,0042	0,0010
0,0870	0,0730	0,0591	0,0463	0,0349	0,0248	0,0160	0,0086	0,0040	0,0010
0,0822	0,0689	0,0559	0,0439	0,0330	0,0235	0,0152	0,0084	0,0038	0,0009
0,0774	0,0651	0,0527	0,0414	0,0312	0,0222	0,0143	0,0079	0,0036	0,0009
0,0725	0,0609	0,0494	0,0388	0,0293	0,0209	0,0134	0,0074	0,0034	0,0008
0,0677	0,0570	0,0462	0,0363	0,0274	0,0196	0,0126	0,0069	0,0032	0,0007
0,0630	0,0529	0,0430	0,0338	0,0255	0,0182	0,0117	0,0064	0,0029	0,0007
0,0584	0,0493	0,0399	0,0314	0,0237	0,0170	0,0109	0,0059	0,0027	0,0006
0,0539	0,0454	0,0369	0,0290	0,0219	0,0157	0,0101	0,0055	0,0025	0,0006
0,0498	0,0420	0,0340	0,0268	0,0202	0,0145	0,0093	0,0051	0,0023	0,0005
0,0457	0,0385	0,0312	0,0246	0,0186	0,0133	0,0085	0,0046	0,0021	0,0005
0,0419	0,0354	0,0286	0,0225	0,0171	0,0123	0,0078	0,0042	0,0019	0,0004
0,0383	0,0323	0,0262	0,0206	0,0156	0,0112	0,0072	0,0039	0,0018	0,0004
0,0350	0,0295	0,0239	0,0188	0,0142	0,0103	0,0065	0,0035	0,0016	0,0004
0,0318	0,0268	0,0217	0,0171	0,0130	0,0094	0,0060	0,0032	0,0015	0,0003
0,0289	0,0244	0,0197	0,0156	0,0118	0,0085	0,0054	0,0028	0,0013	0,0003
0,0262	0,0221	0,0179	0,0141	0,0107	0,0077	0,0049	0,0026	0,0012	0,0003
0,0238	0,0200	0,0162	0,0128	0,0097	0,0070	0,0044	0,0023	0,0011	0,0002
0,0214	0,0181	0,0146	0,0115	0,0087	0,0064	0,0040	0,0020	0,0010	0,0002
0,0194	0,0163	0,0132	0,0104	0,0079	0,0058	0,0036	0,0018	0,0009	0,0002
0,0174	0,0147	0,0118	0,0093	0,0071	0,0052	0,0032	0,0016	0,0008	0,0001
0,0157	0,0132	0,0106	0,0084	0,0064	0,0047	0,0029	0,0014	0,0007	0,0001
0,0141	0,0119	0,0095	0,0075	0,0057	0,0042	0,0026	0,0013	0,0006	0,0001
0,0127	0,0107	0,0085	0,0067	0,0051	0,0038	0,0023	0,0011	0,0005	0,0001
0,0113	0,0096	0,0076	0,0060	0,0046	0,0034	0,0021	0,0010	0,0005	0,0001
0,0102	0,0086	0,0068	0,0054	0,0041	0,0031	0,0019	0,0008	0,0004	0,0001
0,0090	0,0077	0,0061	0,0048	0,0037	0,0028	0,0016	0,0007	0,0004	0,0001
0,0081	0,0068	0,0054	0,0043	0,0033	0,0025	0,0015	0,0006	0,0003	0,0000
0,0072	0,0061	0,0048	0,0038	0,0029	0,0022	0,0013	0,0005	0,0003	0,0000
0,0065	0,0054	0,0043	0,0034	0,0026	0,0020	0,0011	0,0004	0,0002	0,0000
0,0020	0,0017	0,0013	0,0009	0,0008	0,0006	0,0003	0,0002	0,0000	0,0000
0,0005	0,0004	0,0002	0,0001	0,0001	0,0001	0,0000	0,0000	0,0000	0,0000
0,0001	0,0001	0,0000	0,0000	0,0000	0,0000	0,0000	0,0000	0,0000	0,0000
0,0000	0,0000	0,0000	0,0000	0,0000	0,0000	0,0000	0,0000	0,0000	0,0000
0,0000	0,0000	0,0000	0,0000	0,0000	0,0000	0,0000	0,0000	0,0000	0,0000

Tablica 7.

ξ η	0,00	0,05	0,10	0,15	0,20	0,25	0,30	0,35	0,40	0,45
0,00	0,0000	12,7062	6,3137	4,1653	3,0777	2,4142	1,9627	1,6319	1,3764	1,1709
0,05	0,0000	6,3400	5,0401	3,7500	2,8906	2,3164	1,9055	1,5957	1,3522	1,1539
0,10	0,0000	2,5204	3,1309	2,8598	2,4416	2,0637	1,7512	1,4956	1,2840	1,1056
0,15	0,0000	1,2473	1,9070	2,0441	1,9330	1,7417	1,5400	1,3518	1,1828	1,0324
0,20	0,0000	0,7233	1,2219	1,4507	1,4883	1,4232	1,3130	1,1880	1,0627	0,9429
0,25	0,0000	0,4643	0,8272	1,0470	1,1400	1,1451	1,0980	1,0234	0,9365	0,8455
0,30	0,0000	0,3191	0,5864	0,7734	0,8786	0,9173	0,9088	0,8701	0,8136	0,7474
0,35	0,0000	0,2300	0,4311	0,5843	0,6843	0,7359	0,7490	0,7340	0,6999	0,6535
0,40	0,0000	0,1716	0,3260	0,4503	0,5392	0,5932	0,6170	0,6166	0,5981	0,5668
0,45	0,0000	0,1315	0,2520	0,3530	0,4296	0,4810	0,5090	0,5171	0,5091	0,4888
0,50	0,0000	0,1028	0,1983	0,2806	0,3457	0,3924	0,4211	0,4335	0,4323	0,4198
0,55	0,0000	0,0817	0,1583	0,2256	0,2807	0,3220	0,3494	0,3638	0,3666	0,3596
0,60	0,0000	0,0656	0,1278	0,1832	0,2296	0,2657	0,2909	0,3057	0,3108	0,3075
0,65	0,0000	0,0534	0,1042	0,1500	0,1891	0,2202	0,2429	0,2572	0,2635	0,2626
0,70	0,0000	0,0437	0,0855	0,1236	0,1565	0,1833	0,2035	0,2168	0,2235	0,2241
0,75	0,0000	0,0361	0,0707	0,1024	0,1302	0,1532	0,1709	0,1830	0,1897	0,1912
0,80	0,0000	0,0299	0,0587	0,0853	0,1088	0,1284	0,1438	0,1547	0,1611	0,1631
0,85	0,0000	0,0250	0,0490	0,0713	0,0912	0,1080	0,1213	0,1310	0,1369	0,1391
0,90	0,0000	0,0209	0,0410	0,0598	0,0766	0,0910	0,1025	0,1110	0,1164	0,1187
0,95	0,0000	0,0175	0,0345	0,0503	0,0646	0,0768	0,0868	0,0942	0,0990	0,1012
1,00	0,0000	0,0148	0,0290	0,0424	0,0545	0,0650	0,0735	0,0800	0,0843	0,0864
1,05	0,0000	0,0125	0,0245	0,0358	0,0461	0,0550	0,0624	0,0680	0,0718	0,0787
1,10	0,0000	0,0105	0,0207	0,0303	0,0390	0,0467	0,0530	0,0579	0,0612	0,0629
1,15	0,0000	0,0089	0,0176	0,0257	0,0331	0,0396	0,0450	0,0492	0,0521	0,0537
1,20	0,0000	0,0076	0,0149	0,0218	0,0281	0,0337	0,0383	0,0419	0,0445	0,0459
1,25	0,0000	0,0064	0,0127	0,0185	0,0239	0,0287	0,0326	0,0358	0,0379	0,0392
1,30	0,0000	0,0055	0,0108	0,0158	0,0203	0,0244	0,0278	0,0305	0,0324	0,0334
1,35	0,0000	0,0046	0,0091	0,0134	0,0173	0,0208	0,0237	0,0260	0,0276	0,0286
1,40	0,0000	0,0040	0,0078	0,0114	0,0148	0,0177	0,0202	0,0222	0,0236	0,0244
1,45	0,0000	0,0034	0,0066	0,0097	0,0126	0,0151	0,0172	0,0189	0,0201	0,0208
1,50	0,0000	0,0029	0,0057	0,0083	0,0107	0,0129	0,0147	0,0161	0,0172	0,0178
1,55	0,0000	0,0024	0,0048	0,0071	0,0091	0,0110	0,0125	0,0138	0,0147	0,0152
1,60	0,0000	0,0021	0,0041	0,0060	0,0078	0,0094	0,0107	0,0118	0,0125	0,0130
1,65	0,0000	0,0018	0,0035	0,0051	0,0067	0,0080	0,0091	0,0100	0,0107	0,0111
1,70	0,0000	0,0015	0,0030	0,0044	0,0057	0,0068	0,0078	0,0086	0,0092	0,0095
1,75	0,0000	0,0013	0,0026	0,0038	0,0049	0,0058	0,0067	0,0073	0,0078	0,0081
1,80	0,0000	0,0011	0,0022	0,0032	0,0041	0,0050	0,0057	0,0063	0,0067	0,0069
1,85	0,0000	0,0009	0,0019	0,0027	0,0035	0,0043	0,0049	0,0054	0,0057	0,0059
1,90	0,0000	0,0008	0,0016	0,0023	0,0030	0,0036	0,0042	0,0046	0,0049	0,0051
1,95	0,0000	0,0007	0,0014	0,0020	0,0026	0,0031	0,0035	0,0039	0,0042	0,0043
2,00	0,0000	0,0006	0,0012	0,0017	0,0022	0,0027	0,0030	0,0033	0,0036	0,0037
2,50	0,0000	0,0001	0,0002	0,0004	0,0005	0,0005	0,0006	0,0007	0,0007	0,0008
3,00	0,0000	0,0000	0,0000	0,0000	0,0000	0,0001	0,0001	0,0001	0,0001	0,0002
3,50	0,0000	0,0000	0,0000	0,0000	0,0000	0,0000	0,0000	0,0000	0,0000	0,0000

$$L_0 = \frac{\sin \pi \zeta}{\operatorname{ch} \pi \eta - \cos \pi \zeta}$$

0,50	0,55	0,60	0,65	0,70	0,75	0,80	0,85	0,90	0,95
1,0000	0,8541	0,7265	0,6128	0,5095	0,4143	0,3249	0,2400	0,1584	0,0787
0,9878	0,8450	0,7197	0,6076	0,5056	0,4112	0,3227	0,2386	0,1574	0,0782
0,9526	0,8188	0,6981	0,5925	0,4940	0,4025	0,3162	0,2339	0,1544	0,0768
0,8984	0,7780	0,6688	0,5686	0,4756	0,3884	0,3058	0,2265	0,1498	0,0745
0,8306	0,7260	0,6286	0,5374	0,4515	0,3700	0,2920	0,2167	0,1434	0,0714
0,7549	0,6669	0,5822	0,5010	0,4230	0,3480	0,2755	0,2049	0,1358	0,0677
0,6766	0,6043	0,5322	0,4612	0,3916	0,3236	0,2570	0,1916	0,1272	0,0634
0,5996	0,5414	0,4811	0,4199	0,3587	0,2977	0,2373	0,1774	0,1180	0,0589
0,5266	0,4805	0,4307	0,3787	0,3253	0,2713	0,2170	0,1627	0,1084	0,0542
0,4593	0,4232	0,3825	0,3386	0,2926	0,2452	0,1968	0,1480	0,0988	0,0494
0,3985	0,3705	0,3375	0,3007	0,2612	0,2199	0,1771	0,1335	0,0893	0,0447
0,3444	0,3228	0,2961	0,2654	0,2317	0,1959	0,1583	0,1197	0,0802	0,0402
0,2969	0,2801	0,2586	0,2331	0,2045	0,1735	0,1407	0,1065	0,0715	0,0356
0,2552	0,2424	0,2250	0,2038	0,1795	0,1529	0,1243	0,0944	0,0634	0,0319
0,2191	0,2092	0,1952	0,1776	0,1570	0,1341	0,1094	0,0832	0,0560	0,0282
0,1879	0,1802	0,1689	0,1542	0,1369	0,1173	0,0959	0,0731	0,0493	0,0248
0,1610	0,1551	0,1458	0,1336	0,1190	0,1022	0,0837	0,0639	0,0431	0,0217
0,1378	0,1332	0,1257	0,1155	0,1031	0,0888	0,0729	0,0557	0,0376	0,0190
0,1179	0,1144	0,1082	0,0997	0,0892	0,0770	0,0633	0,0484	0,0328	0,0165
0,1009	0,0981	0,0930	0,0859	0,0770	0,0666	0,0548	0,0420	0,0284	0,0144
0,0863	0,0841	0,0799	0,0740	0,0664	0,0575	0,0474	0,0364	0,0246	0,0124
0,0738	0,0720	0,0686	0,0636	0,0572	0,0496	0,0410	0,0314	0,0213	0,0108
0,0631	0,0617	0,0588	0,0546	0,0492	0,0427	0,0353	0,0271	0,0184	0,0093
0,0540	0,0528	0,0504	0,0469	0,0423	0,0367	0,0304	0,0234	0,0158	0,0080
0,0461	0,0452	0,0432	0,0402	0,0363	0,0316	0,0261	0,0201	0,0136	0,0069
0,0394	0,0387	0,0370	0,0345	0,0311	0,0271	0,0224	0,0173	0,0117	0,0059
0,0337	0,0331	0,0317	0,0295	0,0267	0,0233	0,0193	0,0148	0,0101	0,0051
0,0288	0,0283	0,0271	0,0253	0,0229	0,0199	0,0165	0,0127	0,0087	0,0044
0,0246	0,0242	0,0232	0,0217	0,0196	0,0171	0,0142	0,0109	0,0074	0,0038
0,0210	0,0207	0,0199	0,0186	0,0168	0,0146	0,0121	0,0094	0,0055	0,0028
0,0180	0,0177	0,0170	0,0159	0,0144	0,0125	0,0104	0,0080	0,0050	0,0026
0,0154	0,0151	0,0145	0,0136	0,0123	0,0107	0,0089	0,0069	0,0047	0,0024
0,0131	0,0129	0,0124	0,0116	0,0105	0,0092	0,0076	0,0059	0,0040	0,0020
0,0112	0,0111	0,0106	0,0099	0,0090	0,0079	0,0065	0,0050	0,0034	0,0017
0,0096	0,0095	0,0091	0,0085	0,0077	0,0067	0,0056	0,0043	0,0029	0,0015
0,0082	0,0081	0,0078	0,0073	0,0066	0,0058	0,0048	0,0037	0,0025	0,0013
0,0070	0,0069	0,0065	0,0062	0,0056	0,0049	0,0041	0,0032	0,0021	0,0011
0,0060	0,0059	0,0057	0,0053	0,0048	0,0042	0,0035	0,0027	0,0018	0,0009
0,0051	0,0050	0,0049	0,0045	0,0041	0,0036	0,0030	0,0023	0,0016	0,0008
0,0044	0,0043	0,0042	0,0039	0,0035	0,0031	0,0026	0,0020	0,0013	0,0007
0,0037	0,0037	0,0035	0,0033	0,0030	0,0026	0,0022	0,0017	0,0012	0,0006
0,0008	0,0008	0,0007	0,0007	0,0006	0,0005	0,0005	0,0004	0,0002	0,0001
0,0002	0,0002	0,0002	0,0001	0,0001	0,0001	0,0001	0,0000	0,0000	0,0000
0,0000	0,0000	0,0000	0,0000	0,0000	0,0000	0,0000	0,0000	0,0000	0,0000

Tablica 8.

$\frac{p}{\eta}$	0,00	0,05	0,10	0,15	0,20	0,25	0,30	0,35	0,40	0,45
0,00	0,3183	0,0000	0,0000	0,0000	0,0000	0,0000	0,0000	0,0000	0,0000	0,0000
0,05	0,0000	0,3170	0,2520	0,1870	0,1445	0,1158	0,0953	0,0798	0,0676	0,0577
0,10	0,0000	0,2520	0,3131	0,2860	0,2442	0,2064	0,1751	0,1496	0,1286	0,1106
0,15	0,0000	0,1871	0,2860	0,3066	0,2899	0,2612	0,2310	0,2028	0,1774	0,1549
0,20	0,0000	0,1447	0,2444	0,2901	0,2977	0,2846	0,2626	0,2376	0,2125	0,1886
0,25	0,0000	0,1161	0,2068	0,2618	0,2850	0,2863	0,2745	0,2559	0,2341	0,2114
0,30	0,0000	0,0957	0,1759	0,2320	0,2636	0,2752	0,2726	0,2610	0,2441	0,2242
0,35	0,0000	0,0805	0,1509	0,2045	0,2395	0,2576	0,2621	0,2569	0,2450	0,2287
0,40	0,0000	0,0687	0,1304	0,1801	0,2157	0,2373	0,2468	0,2466	0,2392	0,2267
0,45	0,0000	0,0592	0,1134	0,1588	0,1933	0,2165	0,2291	0,2327	0,2291	0,2199
0,50	0,0000	0,0514	0,0992	0,1403	0,1729	0,1962	0,2105	0,2168	0,2161	0,2099
0,55	0,0000	0,0449	0,0871	0,1241	0,1544	0,1771	0,1922	0,2001	0,2016	0,1978
0,60	0,0000	0,0394	0,0767	0,1099	0,1378	0,1594	0,1745	0,1834	0,1865	0,1845
0,65	0,0000	0,0347	0,0677	0,0975	0,1229	0,1431	0,1579	0,1672	0,1713	0,1707
0,70	0,0000	0,0306	0,0599	0,0865	0,1096	0,1283	0,1424	0,1518	0,1565	0,1569
0,75	0,0000	0,0271	0,0530	0,0768	0,0977	0,1149	0,1281	0,1373	0,1423	0,1434
0,80	0,0000	0,0240	0,0470	0,0682	0,0870	0,1027	0,1151	0,1238	0,1289	0,1305
0,85	0,0000	0,0212	0,0417	0,0606	0,0775	0,0918	0,1031	0,1113	0,1163	0,1182
0,90	0,0000	0,0188	0,0369	0,0538	0,0690	0,0818	0,0923	0,0999	0,1048	0,1068
0,95	0,0000	0,0167	0,0328	0,0478	0,0613	0,0730	0,0824	0,0895	0,0941	0,0962
1,00	0,0000	0,0148	0,0290	0,0424	0,0545	0,0650	0,0735	0,0800	0,0843	0,0864
1,05	0,0000	0,0131	0,0257	0,0376	0,0484	0,0578	0,0655	0,0714	0,0754	0,0774
1,10	0,0000	0,0116	0,0228	0,0334	0,0430	0,0513	0,0583	0,0636	0,0673	0,0692
1,15	0,0000	0,0102	0,0202	0,0296	0,0381	0,0456	0,0518	0,0566	0,0600	0,0618
1,20	0,0000	0,0091	0,0179	0,0262	0,0338	0,0404	0,0460	0,0503	0,0534	0,0550
1,25	0,0000	0,0080	0,0158	0,0232	0,0299	0,0358	0,0408	0,0447	0,0474	0,0489
1,30	0,0000	0,0071	0,0140	0,0205	0,0264	0,0317	0,0361	0,0396	0,0421	0,0435
1,35	0,0000	0,0063	0,0123	0,0181	0,0234	0,0280	0,0320	0,0351	0,0373	0,0385
1,40	0,0000	0,0055	0,0109	0,0160	0,0207	0,0248	0,0283	0,0310	0,0330	0,0341
1,45	0,0000	0,0049	0,0096	0,0141	0,0182	0,0219	0,0250	0,0274	0,0292	0,0302
1,50	0,0000	0,0043	0,0085	0,0124	0,0161	0,0193	0,0220	0,0242	0,0258	0,0267
1,55	0,0000	0,0038	0,0075	0,0110	0,0142	0,0170	0,0194	0,0214	0,0227	0,0236
1,60	0,0000	0,0033	0,0066	0,0096	0,0125	0,0150	0,0171	0,0188	0,0200	0,0208
1,65	0,0000	0,0029	0,0058	0,0085	0,0110	0,0132	0,0151	0,0166	0,0177	0,0183
1,70	0,0000	0,0026	0,0051	0,0075	0,0097	0,0116	0,0132	0,0146	0,0155	0,0161
1,75	0,0000	0,0023	0,0045	0,0066	0,0085	0,0102	0,0117	0,0128	0,0137	0,0142
1,80	0,0000	0,0020	0,0039	0,0058	0,0075	0,0089	0,0102	0,0113	0,0120	0,0125
1,85	0,0000	0,0017	0,0034	0,0051	0,0065	0,0079	0,0090	0,0099	0,0105	0,0109
1,90	0,0000	0,0015	0,0030	0,0044	0,0057	0,0069	0,0079	0,0087	0,0093	0,0096
1,95	0,0000	0,0013	0,0027	0,0039	0,0050	0,0060	0,0069	0,0076	0,0081	0,0084
2,00	0,0000	0,0012	0,0023	0,0034	0,0044	0,0053	0,0061	0,0067	0,0071	0,0074
2,50	0,0000	0,0003	0,0006	0,0009	0,0011	0,0014	0,0016	0,0017	0,0018	0,0019
3,00	0,0000	0,0001	0,0002	0,0002	0,0003	0,0003	0,0004	0,0004	0,0005	0,0005
3,50	0,0000	0,0000	0,0000	0,0001	0,0001	0,0001	0,0001	0,0001	0,0000	0,0001
4,00	0,0000	0,0000	0,0000	0,0000	0,0000	0,0000	0,0000	0,0000	0,0000	0,0000

$$L_1 = \eta L_0 = \eta \frac{\sin \pi \zeta}{\operatorname{ch} \pi \eta - \cos \pi \zeta}$$

0,50	0,55	0,60	0,65	0,70	0,75	0,80	0,85	0,90	0,95
0,0000	0,0000	0,0000	0,0000	0,0000	0,0000	0,0000	0,0000	0,0000	0,0000
0,0494	0,0423	0,0360	0,0304	0,0253	0,0206	0,0161	0,0119	0,0079	0,0039
0,0953	0,0819	0,0698	0,0593	0,0494	0,0402	0,0316	0,0234	0,0154	0,0077
0,1348	0,1167	0,1003	0,0853	0,0713	0,0583	0,0459	0,0340	0,0225	0,0112
0,1661	0,1452	0,1257	0,1075	0,0903	0,0740	0,0584	0,0433	0,0287	0,0143
0,1881	0,1667	0,1455	0,1252	0,1058	0,0870	0,0689	0,0512	0,0339	0,0169
0,2030	0,1818	0,1597	0,1384	0,1175	0,0971	0,0771	0,0575	0,0382	0,0190
0,2098	0,1895	0,1684	0,1470	0,1255	0,1042	0,0831	0,0621	0,0413	0,0206
0,2106	0,1922	0,1723	0,1515	0,1301	0,1085	0,0868	0,0651	0,0434	0,0217
0,2067	0,1905	0,1721	0,1524	0,1317	0,1103	0,0886	0,0666	0,0445	0,0222
0,1993	0,1853	0,1687	0,1503	0,1306	0,1099	0,0886	0,0668	0,0447	0,0224
0,1894	0,1775	0,1628	0,1460	0,1275	0,1077	0,0871	0,0658	0,0441	0,0221
0,1781	0,1681	0,1552	0,1398	0,1227	0,1041	0,0844	0,0639	0,0429	0,0213
0,1659	0,1576	0,1462	0,1325	0,1167	0,0994	0,0808	0,0614	0,0413	0,0207
0,1534	0,1465	0,1366	0,1243	0,1099	0,0939	0,0766	0,0583	0,0392	0,0197
0,1409	0,1352	0,1267	0,1157	0,1026	0,0880	0,0719	0,0548	0,0369	0,0186
0,1288	0,1241	0,1167	0,1069	0,0952	0,0817	0,0670	0,0511	0,0345	0,0174
0,1171	0,1132	0,1068	0,0982	0,0877	0,0755	0,0619	0,0474	0,0320	0,0161
0,1061	0,1029	0,0974	0,0898	0,0803	0,0693	0,0569	0,0436	0,0295	0,0149
0,0958	0,0932	0,0884	0,0816	0,0732	0,0632	0,0521	0,0399	0,0270	0,0136
0,0863	0,0841	0,0799	0,0740	0,0664	0,0575	0,0474	0,0364	0,0246	0,0124
0,0775	0,0756	0,0720	0,0668	0,0601	0,0521	0,0430	0,0330	0,0224	0,0113
0,0694	0,0678	0,0647	0,0601	0,0541	0,0470	0,0388	0,0298	0,0202	0,0102
0,0620	0,0607	0,0580	0,0539	0,0486	0,0422	0,0349	0,0269	0,0182	0,0092
0,0553	0,0542	0,0519	0,0483	0,0436	0,0379	0,0313	0,0241	0,0164	0,0083
0,0492	0,0483	0,0463	0,0431	0,0389	0,0339	0,0280	0,0216	0,0147	0,0074
0,0438	0,0430	0,0412	0,0384	0,0347	0,0302	0,0250	0,0193	0,0131	0,0066
0,0388	0,0382	0,0366	0,0342	0,0309	0,0269	0,0223	0,0172	0,0117	0,0059
0,0344	0,0339	0,0325	0,0303	0,0275	0,0239	0,0198	0,0153	0,0104	0,0053
0,0305	0,0300	0,0288	0,0269	0,0244	0,0212	0,0176	0,0136	0,0092	0,0047
0,0269	0,0265	0,0255	0,0238	0,0216	0,0188	0,0156	0,0120	0,0082	0,0041
0,0238	0,0234	0,0225	0,0211	0,0191	0,0166	0,0138	0,0107	0,0072	0,0037
0,0210	0,0207	0,0199	0,0186	0,0169	0,0147	0,0122	0,0094	0,0064	0,0032
0,0185	0,0182	0,0175	0,0164	0,0149	0,0130	0,0108	0,0083	0,0057	0,0029
0,0163	0,0161	0,0155	0,0145	0,0131	0,0114	0,0095	0,0073	0,0050	0,0025
0,0143	0,0141	0,0136	0,0127	0,0115	0,0101	0,0084	0,0065	0,0044	0,0022
0,0126	0,0124	0,0120	0,0112	0,0102	0,0089	0,0074	0,0057	0,0039	0,0020
0,0111	0,0109	0,0105	0,0098	0,0089	0,0078	0,0065	0,0050	0,0034	0,0017
0,0097	0,0096	0,0092	0,0086	0,0078	0,0068	0,0057	0,0044	0,0030	0,0015
0,0085	0,0084	0,0081	0,0076	0,0069	0,0060	0,0050	0,0039	0,0026	0,0013
0,0075	0,0074	0,0071	0,0066	0,0060	0,0053	0,0044	0,0034	0,0023	0,0012
0,0019	0,0019	0,0018	0,0017	0,0016	0,0014	0,0011	0,0009	0,0006	0,0003
0,0005	0,0005	0,0005	0,0004	0,0003	0,0003	0,0002	0,0001	0,0001	0,0001
0,0001	0,0001	0,0001	0,0001	0,0001	0,0001	0,0001	0,0001	0,0000	0,0000
0,0000	0,0000	0,0000	0,0000	0,0000	0,0000	0,0000	0,0000	0,0000	0,0000

Tablica 9.

ξ η	0,00	0,05	0,10	0,15	0,20	0,25	0,30	0,35	0,40	0,45
0,00	0,0000	0,0000	0,0000	0,0000	0,0000	0,0000	0,0000	0,0000	0,0000	0,0000
0,05	0,0000	0,0158	0,0126	0,0094	0,0072	0,0058	0,0048	0,0040	0,0034	0,0029
0,10	0,0000	0,0252	0,0313	0,0286	0,0244	0,0206	0,0175	0,0150	0,0129	0,0111
0,15	0,0000	0,0281	0,0429	0,0460	0,0435	0,0392	0,0347	0,0304	0,0266	0,0232
0,20	0,0000	0,0289	0,0489	0,0580	0,0595	0,0569	0,0525	0,0475	0,0425	0,0377
0,25	0,0000	0,0290	0,0517	0,0654	0,0713	0,0716	0,0686	0,0640	0,0585	0,0528
0,30	0,0000	0,0287	0,0528	0,0696	0,0791	0,0826	0,0818	0,0783	0,0732	0,0673
0,35	0,0000	0,0282	0,0528	0,0716	0,0838	0,0902	0,0918	0,0899	0,0857	0,0800
0,40	0,0000	0,0275	0,0522	0,0721	0,0863	0,0949	0,0987	0,0987	0,0957	0,0907
0,45	0,0000	0,0266	0,0510	0,0715	0,0870	0,0974	0,1031	0,1047	0,1031	0,0990
0,50	0,0000	0,0257	0,0496	0,0701	0,0864	0,0981	0,1053	0,1084	0,1081	0,1050
0,55	0,0000	0,0247	0,0479	0,0683	0,0849	0,0974	0,1057	0,1109	0,1109	0,1088
0,60	0,0000	0,0236	0,0460	0,0660	0,0827	0,0956	0,1047	0,1100	0,1119	0,1107
0,65	0,0000	0,0226	0,0440	0,0634	0,0799	0,0930	0,1026	0,1087	0,1113	0,1109
0,70	0,0000	0,0214	0,0419	0,0606	0,0767	0,0898	0,0997	0,1062	0,1095	0,1098
0,75	0,0000	0,0203	0,0398	0,0576	0,0732	0,0862	0,0961	0,1029	0,1067	0,1075
0,80	0,0000	0,0192	0,0376	0,0546	0,0696	0,0822	0,0920	0,0990	0,1031	0,1044
0,85	0,0000	0,0180	0,0354	0,0515	0,0659	0,0780	0,0876	0,0946	0,0989	0,1005
0,90	0,0000	0,0169	0,0332	0,0485	0,0621	0,0737	0,0830	0,0899	0,0943	0,0961
0,95	0,0000	0,0158	0,0311	0,0454	0,0583	0,0693	0,0783	0,0850	0,0894	0,0914
1,00	0,0000	0,0148	0,0290	0,0424	0,0545	0,0650	0,0735	0,0800	0,0843	0,0864
1,05	0,0000	0,0137	0,0270	0,0395	0,0508	0,0607	0,0688	0,0750	0,0791	0,0813
1,10	0,0000	0,0127	0,0250	0,0367	0,0473	0,0565	0,0641	0,0700	0,0740	0,0761
1,15	0,0000	0,0118	0,0232	0,0340	0,0438	0,0524	0,0596	0,0651	0,0690	0,0710
1,20	0,0000	0,0109	0,0214	0,0314	0,0405	0,0485	0,0552	0,0604	0,0640	0,0660
1,25	0,0000	0,0100	0,0198	0,0290	0,0374	0,0448	0,0510	0,0558	0,0593	0,0612
1,30	0,0000	0,0092	0,0182	0,0266	0,0344	0,0412	0,0470	0,0515	0,0547	0,0565
1,35	0,0000	0,0084	0,0167	0,0244	0,0316	0,0379	0,0432	0,0473	0,0503	0,0520
1,40	0,0000	0,0077	0,0152	0,0224	0,0289	0,0347	0,0396	0,0434	0,0462	0,0478
1,45	0,0000	0,0071	0,0139	0,0205	0,0264	0,0317	0,0362	0,0398	0,0423	0,0438
1,50	0,0000	0,0064	0,0127	0,0187	0,0241	0,0290	0,0331	0,0363	0,0387	0,0400
1,55	0,0000	0,0059	0,0116	0,0170	0,0220	0,0264	0,0301	0,0331	0,0352	0,0365
1,60	0,0000	0,0053	0,0105	0,0154	0,0200	0,0240	0,0274	0,0301	0,0321	0,0332
1,65	0,0000	0,0048	0,0095	0,0140	0,0181	0,0218	0,0249	0,0273	0,0291	0,0302
1,70	0,0000	0,0044	0,0086	0,0127	0,0164	0,0197	0,0225	0,0248	0,0264	0,0274
1,75	0,0000	0,0040	0,0078	0,0115	0,0149	0,0179	0,0204	0,0224	0,0239	0,0248
1,80	0,0000	0,0036	0,0071	0,0104	0,0134	0,0161	0,0184	0,0202	0,0216	0,0224
1,85	0,0000	0,0032	0,0064	0,0093	0,0121	0,0145	0,0166	0,0183	0,0195	0,0202
1,90	0,0000	0,0029	0,0057	0,0084	0,0109	0,0131	0,0150	0,0165	0,0176	0,0182
1,95	0,0000	0,0026	0,0052	0,0076	0,0098	0,0118	0,0135	0,0148	0,0158	0,0164
2,00	0,0000	0,0024	0,0046	0,0068	0,0088	0,0106	0,0121	0,0133	0,0142	0,0148
2,50	0,0000	0,0008	0,0015	0,0022	0,0029	0,0034	0,0039	0,0043	0,0046	0,0048
3,00	0,0000	0,0002	0,0005	0,0007	0,0009	0,0010	0,0012	0,0013	0,0014	0,0014
3,50	0,0000	0,0001	0,0001	0,0002	0,0002	0,0003	0,0003	0,0004	0,0004	0,0004
4,00	0,0000	0,0000	0,0000	0,0000	0,0001	0,0001	0,0001	0,0001	0,0001	0,0001
4,50	0,0000	0,0000	0,0000	0,0000	0,0000	0,0000	0,0000	0,0000	0,0000	0,0000

$$L_2 = \eta^2 L_0 = \eta^2 \frac{\sin \eta \zeta}{\operatorname{ch} \pi \eta - \cos \pi \zeta}$$

0,50	0,55	0,60	0,65	0,70	0,75	0,80	0,85	0,90	0,95
-0,0000	0,0000	0,0000	0,0000	0,0000	0,0000	0,0000	0,0000	0,0000	0,0000
-0,0025	0,0021	0,0018	0,0015	0,0013	0,0010	0,0008	0,0006	0,0004	0,0002
-0,0095	0,0082	0,0070	0,0059	0,0049	0,0040	0,0032	0,0023	0,0015	0,0008
-0,0202	0,0175	0,0150	0,0128	0,0107	0,0087	0,0069	0,0051	0,0034	0,0017
-0,0332	0,0290	0,0251	0,0215	0,0181	0,0148	0,0117	0,0087	0,0057	0,0029
-0,0472	0,0417	0,0364	0,0313	0,0264	0,0218	0,0172	0,0128	0,0085	0,0042
-0,0609	0,0544	0,0479	0,0415	0,0352	0,0291	0,0231	0,0172	0,0114	0,0057
-0,0734	0,0663	0,0589	0,0514	0,0439	0,0365	0,0291	0,0217	0,0145	0,0072
-0,0843	0,0769	0,0689	0,0606	0,0521	0,0434	0,0347	0,0260	0,0173	0,0087
-0,0930	0,0857	0,0775	0,0686	0,0593	0,0496	0,0399	0,0300	0,0200	0,0100
-0,0996	0,0926	0,0844	0,0752	0,0653	0,0550	0,0443	0,0334	0,0223	0,0112
-0,1042	0,0977	0,0896	0,0803	0,0701	0,0592	0,0479	0,0362	0,0243	0,0122
-0,1069	0,1009	0,0931	0,0839	0,0736	0,0625	0,0506	0,0384	0,0257	0,0128
-0,1078	0,1024	0,0951	0,0861	0,0759	0,0646	0,0525	0,0399	0,0268	0,0135
-0,1074	0,1025	0,0956	0,0870	0,0769	0,0657	0,0536	0,0408	0,0275	0,0138
-0,1057	0,1014	0,0950	0,0868	0,0770	0,0660	0,0539	0,0411	0,0277	0,0139
-0,1030	0,0992	0,0933	0,0855	0,0761	0,0654	0,0536	0,0409	0,0276	0,0139
-0,0996	0,0963	0,0908	0,0835	0,0745	0,0641	0,0526	0,0403	0,0272	0,0137
-0,0955	0,0926	0,0876	0,0808	0,0723	0,0623	0,0513	0,0392	0,0265	0,0134
-0,0910	0,0885	0,0840	0,0776	0,0695	0,0601	0,0495	0,0379	0,0257	0,0130
-0,0863	0,0841	0,0799	0,0740	0,0664	0,0575	0,0474	0,0364	0,0246	0,0124
-0,0813	0,0794	0,0756	0,0701	0,0631	0,0547	0,0452	0,0346	0,0235	0,0119
-0,0763	0,0746	0,0712	0,0661	0,0595	0,0517	0,0427	0,0328	0,0222	0,0112
-0,0713	0,0698	0,0667	0,0620	0,0559	0,0486	0,0402	0,0309	0,0210	0,0106
-0,0664	0,0651	0,0622	0,0579	0,0523	0,0454	0,0376	0,0289	0,0196	0,0099
-0,0615	0,0604	0,0578	0,0539	0,0487	0,0423	0,0351	0,0270	0,0183	0,0093
-0,0569	0,0559	0,0536	0,0499	0,0451	0,0393	0,0326	0,0251	0,0170	0,0086
-0,0524	0,0516	0,0494	0,0461	0,0417	0,0363	0,0301	0,0232	0,0158	0,0080
-0,0482	0,0474	0,0455	0,0425	0,0384	0,0335	0,0278	0,0214	0,0146	0,0074
-0,0442	0,0435	0,0418	0,0390	0,0353	0,0308	0,0255	0,0197	0,0133	0,0068
-0,0404	0,0398	0,0382	0,0357	0,0324	0,0282	0,0234	0,0181	0,0123	0,0062
-0,0369	0,0363	0,0349	0,0326	0,0296	0,0258	0,0214	0,0165	0,0112	0,0057
-0,0336	0,0331	0,0318	0,0298	0,0270	0,0235	0,0195	0,0151	0,0103	0,0052
-0,0305	0,0301	0,0289	0,0271	0,0245	0,0214	0,0178	0,0137	0,0093	0,0047
-0,0277	0,0273	0,0264	0,0246	0,0222	0,0195	0,0162	0,0125	0,0085	0,0043
-0,0251	0,0247	0,0238	0,0223	0,0202	0,0176	0,0146	0,0113	0,0079	0,0038
-0,0227	0,0224	0,0215	0,0201	0,0183	0,0160	0,0133	0,0102	0,0070	0,0035
-0,0205	0,0202	0,0194	0,0182	0,0165	0,0144	0,0120	0,0092	0,0063	0,0032
-0,0185	0,0182	0,0175	0,0164	0,0149	0,0130	0,0108	0,0083	0,0057	0,0029
-0,0166	0,0164	0,0158	0,0148	0,0134	0,0117	0,0097	0,0075	0,0051	0,0026
-0,0149	0,0147	0,0142	0,0133	0,0121	0,0105	0,0088	0,0068	0,0046	0,0023
-0,0049	0,0048	0,0046	0,0043	0,0040	0,0034	0,0029	0,0022	0,0015	0,0008
-0,0015	0,0014	0,0014	0,0013	0,0012	0,0010	0,0009	0,0007	0,0005	0,0002
-0,0004	0,0004	0,0004	0,0004	0,0003	0,0003	0,0002	0,0002	0,0001	0,0001
-0,0001	0,0001	0,0001	0,0001	0,0001	0,0001	0,0001	0,0001	0,0000	0,0000
-0,0000	0,0000	0,0000	0,0000	0,0000	0,0000	0,0000	0,0000	0,0000	0,0000

Tablica 10.

$\frac{\xi}{\eta}$	0,00	0,05	0,10	0,15	0,20	0,25	0,30	0,35	0,40	0,45
0,00	1,0000	0,9500	0,9000	0,8500	0,8000	0,7500	0,7000	0,6500	0,6000	0,5500
0,05	0,0000	0,4513	0,6074	0,6491	0,6493	0,6309	0,6028	0,5690	0,5316	0,4917
0,10	0,0000	0,2478	0,4053	0,4835	0,5153	0,5210	0,5111	0,4915	0,4655	0,4351
0,15	0,0000	0,1587	0,2822	0,3618	0,4061	0,4257	0,4286	0,4202	0,4037	0,3816
0,20	0,0000	0,1112	0,2056	0,2753	0,3210	0,3467	0,3573	0,3566	0,3476	0,3322
0,25	0,0000	0,0822	0,1552	0,2135	0,2556	0,2827	0,2972	0,3014	0,2976	0,2874
0,30	0,0000	0,0629	0,1203	0,1685	0,2055	0,2314	0,2471	0,2541	0,2539	0,2476
0,35	0,0000	0,0493	0,0951	0,1348	0,1666	0,1902	0,2058	0,2141	0,2160	0,2124
0,40	0,0000	0,0394	0,0764	0,1091	0,1362	0,1571	0,1717	0,1804	0,1837	0,1822
0,45	0,0000	0,0319	0,0621	0,0892	0,1121	0,1304	0,1437	0,1521	0,1560	0,1558
0,50	0,0000	0,0260	0,0509	0,0734	0,0928	0,1086	0,1205	0,1284	0,1326	0,1331
0,55	0,0000	0,0215	0,0420	0,0608	0,0772	0,0908	0,1013	0,1085	0,1126	0,1137
0,60	0,0000	0,0179	0,0349	0,0506	0,0646	0,0762	0,0853	0,0918	0,0957	0,0970
0,65	0,0000	0,0148	0,0291	0,0423	0,0541	0,0641	0,0720	0,0778	0,0814	0,0823
0,70	0,0000	0,0124	0,0244	0,0355	0,0455	0,0540	0,0609	0,0660	0,0693	0,0707
0,75	0,0000	0,0104	0,0205	0,0299	0,0384	0,0456	0,0516	0,0560	0,0589	0,0603
0,80	0,0000	0,0088	0,0173	0,0252	0,0324	0,0386	0,0437	0,0476	0,0502	0,0515
0,85	0,0000	0,0074	0,0146	0,0213	0,0274	0,0327	0,0371	0,0405	0,0428	0,0439
0,90	0,0000	0,0063	0,0123	0,0180	0,0232	0,0278	0,0315	0,0344	0,0364	0,0375
0,95	0,0000	0,0053	0,0105	0,0153	0,0197	0,0236	0,0268	0,0293	0,0311	0,0320
1,00	0,0000	0,0045	0,0089	0,0130	0,0168	0,0201	0,0228	0,0250	0,0265	0,0273
1,05	0,0000	0,0038	0,0075	0,0110	0,0142	0,0171	0,0194	0,0213	0,0226	0,0233
1,10	0,0000	0,0032	0,0064	0,0094	0,0121	0,0145	0,0166	0,0181	0,0193	0,0199
1,15	0,0000	0,0028	0,0055	0,0080	0,0103	0,0124	0,0141	0,0155	0,0165	0,0167
1,20	0,0000	0,0023	0,0046	0,0068	0,0088	0,0105	0,0120	0,0132	0,0140	0,0145
1,25	0,0000	0,0020	0,0039	0,0058	0,0075	0,0090	0,0103	0,0113	0,0120	0,0124
1,30	0,0000	0,0017	0,0036	0,0049	0,0064	0,0077	0,0088	0,0096	0,0102	0,0106
1,35	0,0000	0,0015	0,0029	0,0042	0,0055	0,0065	0,0075	0,0082	0,0088	0,0091
1,40	0,0000	0,0012	0,0024	0,0036	0,0047	0,0055	0,0064	0,0070	0,0075	0,0077
1,45	0,0000	0,0011	0,0021	0,0031	0,0040	0,0048	0,0054	0,0060	0,0064	0,0066
1,50	0,0000	0,0009	0,0018	0,0026	0,0034	0,0041	0,0047	0,0051	0,0055	0,0057
1,55	0,0000	0,0008	0,0015	0,0022	0,0029	0,0035	0,0040	0,0043	0,0047	0,0048
1,60	0,0000	0,0007	0,0013	0,0019	0,0025	0,0030	0,0034	0,0037	0,0040	0,0041
1,65	0,0000	0,0006	0,0011	0,0016	0,0021	0,0025	0,0029	0,0032	0,0034	0,0035
1,70	0,0000	0,0005	0,0009	0,0014	0,0018	0,0022	0,0025	0,0027	0,0029	0,0030
1,75	0,0000	0,0004	0,0008	0,0012	0,0015	0,0019	0,0021	0,0023	0,0025	0,0026
1,80	0,0000	0,0003	0,0007	0,0010	0,0013	0,0016	0,0018	0,0020	0,0021	0,0022
1,85	0,0000	0,0003	0,0006	0,0009	0,0011	0,0014	0,0015	0,0017	0,0018	0,0019
1,90	0,0000	0,0003	0,0005	0,0007	0,0009	0,0011	0,0013	0,0014	0,0015	0,0016
1,95	0,0000	0,0002	0,0004	0,0006	0,0008	0,0010	0,0011	0,0012	0,0013	0,0014
2,00	0,0000	0,0002	0,0004	0,0005	0,0007	0,0008	0,0010	0,0010	0,0011	0,0012
2,50	0,0000	0,0000	0,0001	0,0001	0,0002	0,0002	0,0002	0,0002	0,0002	0,0002
3,00	0,0000	0,0000	0,0000	0,0000	0,0000	0,0000	0,0000	0,0000	0,0000	0,0001
3,50	0,0000	0,0000	0,0000	0,0000	0,0000	0,0000	0,0000	0,0000	0,0000	0,0000

$$S_0 = \int_{\eta}^{\infty} L_0 d\eta = \int_{\eta}^{\infty} \frac{\sin \pi \zeta}{\operatorname{ch} \pi \eta - \cos \pi \zeta} d\eta$$

0,50	0,55	0,60	0,65	0,70	0,75	0,80	0,85	0,90	0,95
0,5000	0,4500	0,4000	0,3500	0,3000	0,2500	0,2000	0,1500	0,1000	0,0500
0,4502	0,4074	0,3638	0,3194	0,2746	0,2293	0,1838	0,1380	0,0921	0,0461
0,4016	0,3658	0,3282	0,2894	0,2496	0,2090	0,1678	0,1262	0,0843	0,0422
0,3552	0,3258	0,2940	0,2603	0,2255	0,1892	0,1522	0,1147	0,0767	0,0384
0,3120	0,2882	0,2615	0,2327	0,2021	0,1702	0,1373	0,1036	0,0693	0,0348
0,2723	0,2533	0,2312	0,2067	0,1802	0,1522	0,1231	0,0930	0,0624	0,0313
0,2365	0,2216	0,2033	0,1826	0,1598	0,1354	0,1098	0,0831	0,0558	0,0280
0,2046	0,1929	0,1780	0,1606	0,1410	0,1199	0,0974	0,0739	0,0496	0,0250
0,1765	0,1674	0,1555	0,1406	0,1240	0,1057	0,0860	0,0654	0,0440	0,0221
0,1519	0,1448	0,1349	0,1227	0,1085	0,0928	0,0757	0,0576	0,0388	0,0195
0,1305	0,1250	0,1169	0,1067	0,0947	0,0811	0,0663	0,0506	0,0341	0,0172
0,1120	0,1076	0,1011	0,0926	0,0824	0,0708	0,0580	0,0443	0,0299	0,0150
0,0959	0,0926	0,0873	0,0801	0,0715	0,0615	0,0505	0,0386	0,0260	0,0131
0,0821	0,0795	0,0752	0,0692	0,0619	0,0534	0,0439	0,0336	0,0227	0,0114
0,0703	0,0683	0,0636	0,0597	0,0535	0,0462	0,0380	0,0291	0,0197	0,0099
0,0602	0,0585	0,0556	0,0514	0,0462	0,0398	0,0329	0,0252	0,0177	0,0086
0,0514	0,0502	0,0477	0,0442	0,0398	0,0344	0,0284	0,0218	0,0148	0,0075
0,0439	0,0430	0,0410	0,0380	0,0342	0,0297	0,0245	0,0188	0,0128	0,0064
0,0376	0,0368	0,0351	0,0326	0,0294	0,0255	0,0211	0,0162	0,0110	0,0056
0,0321	0,0315	0,0301	0,0280	0,0253	0,0220	0,0182	0,0140	0,0095	0,0048
0,0275	0,0270	0,0259	0,0240	0,0217	0,0186	0,0156	0,0120	0,0082	0,0041
0,0235	0,0231	0,0221	0,0206	0,0186	0,0162	0,0134	0,0103	0,0070	0,0035
0,0201	0,0197	0,0189	0,0176	0,0160	0,0139	0,0115	0,0089	0,0060	0,0030
0,0172	0,0169	0,0162	0,0151	0,0137	0,0119	0,0099	0,0076	0,0052	0,0026
0,0147	0,0144	0,0138	0,0129	0,0117	0,0102	0,0085	0,0065	0,0044	0,0022
0,0125	0,0123	0,0118	0,0111	0,0100	0,0087	0,0072	0,0056	0,0038	0,0019
0,0107	0,0105	0,0101	0,0095	0,0086	0,0075	0,0062	0,0048	0,0033	0,0016
0,0092	0,0090	0,0088	0,0081	0,0073	0,0064	0,0053	0,0041	0,0028	0,0014
0,0078	0,0077	0,0074	0,0069	0,0063	0,0055	0,0046	0,0035	0,0024	0,0012
0,0067	0,0066	0,0063	0,0059	0,0054	0,0047	0,0039	0,0030	0,0020	0,0010
0,0057	0,0056	0,0054	0,0051	0,0046	0,0040	0,0033	0,0026	0,0017	0,0009
0,0049	0,0048	0,0046	0,0043	0,0039	0,0034	0,0028	0,0022	0,0015	0,0008
0,0042	0,0041	0,0040	0,0037	0,0034	0,0029	0,0024	0,0019	0,0013	0,0006
0,0036	0,0035	0,0034	0,0032	0,0029	0,0025	0,0021	0,0016	0,0011	0,0006
0,0032	0,0030	0,0029	0,0027	0,0025	0,0021	0,0018	0,0014	0,0009	0,0005
0,0026	0,0026	0,0025	0,0023	0,0021	0,0018	0,0015	0,0012	0,0008	0,0004
0,0022	0,0022	0,0021	0,0020	0,0018	0,0016	0,0013	0,0010	0,0007	0,0003
0,0019	0,0019	0,0018	0,0017	0,0015	0,0013	0,0011	0,0009	0,0006	0,0003
0,0016	0,0016	0,0015	0,0014	0,0013	0,0011	0,0010	0,0007	0,0005	0,0002
0,0014	0,0014	0,0013	0,0012	0,0011	0,0010	0,0008	0,0006	0,0004	0,0002
0,0012	0,0012	0,0011	0,0011	0,0010	0,0008	0,0007	0,0005	0,0004	0,0002
0,0002	0,0002	0,0002	0,0002	0,0002	0,0002	0,0001	0,0001	0,0001	0,0000
0,0001	0,0000	0,0000	0,0000	0,0000	0,0000	0,0000	0,0000	0,0000	0,0000
0,0000	0,0000	0,0000	0,0000	0,0000	0,0000	0,0000	0,0000	0,0000	0,0000

Tablica 11.

$\frac{F}{\eta}$	0,00	0,05	0,10	0,15	0,20	0,25	0,30	0,35	0,40	0,45
0,00	0,0000	0,0906	0,1377	0,1679	0,1872	0,1990	0,2047	0,2055	0,2021	0,1954
0,05	0,0000	0,0796	0,1304	0,1628	0,1835	0,1960	0,2023	0,2035	0,2005	0,1939
0,10	0,0000	0,0653	0,1157	0,1507	0,1735	0,1878	0,1954	0,1977	0,1955	0,1897
0,15	0,0000	0,0544	0,1005	0,1355	0,1600	0,1760	0,1852	0,1888	0,1878	0,1830
0,20	0,0000	0,0462	0,0873	0,1206	0,1452	0,1623	0,1727	0,1777	0,1780	0,1744
0,25	0,0000	0,0397	0,0760	0,1067	0,1306	0,1479	0,1592	0,1653	0,1668	0,1643
0,30	0,0000	0,0345	0,0665	0,0945	0,1168	0,1338	0,1455	0,1523	0,1548	0,1534
0,35	0,0000	0,0301	0,0583	0,0835	0,1043	0,1205	0,1321	0,1393	0,1425	0,1420
0,40	0,0000	0,0264	0,0513	0,0740	0,0929	0,1081	0,1194	0,1267	0,1304	0,1306
0,45	0,0000	0,0232	0,0452	0,0654	0,0827	0,0968	0,1075	0,1147	0,1187	0,1195
0,50	0,0000	0,0204	0,0399	0,0580	0,0735	0,0865	0,0965	0,1035	0,1075	0,1087
0,55	0,0000	0,0180	0,0353	0,0513	0,0653	0,0771	0,0864	0,0930	0,0971	0,0985
0,60	0,0000	0,0159	0,0312	0,0456	0,0580	0,0687	0,0773	0,0835	0,0874	0,0889
0,65	0,0000	0,0141	0,0276	0,0403	0,0515	0,0612	0,0690	0,0747	0,0784	0,0801
0,70	0,0000	0,0124	0,0244	0,0358	0,0457	0,0544	0,0615	0,0668	0,0702	0,0719
0,75	0,0000	0,0110	0,0216	0,0316	0,0405	0,0483	0,0547	0,0595	0,0628	0,0644
0,80	0,0000	0,0097	0,0191	0,0281	0,0359	0,0429	0,0486	0,0530	0,0560	0,0575
0,85	0,0000	0,0086	0,0169	0,0248	0,0318	0,0380	0,0432	0,0471	0,0499	0,0513
0,90	0,0000	0,0076	0,0149	0,0219	0,0282	0,0337	0,0383	0,0419	0,0443	0,0457
0,95	0,0000	0,0067	0,0132	0,0193	0,0249	0,0298	0,0339	0,0371	0,0394	0,0406
1,00	0,0000	0,0059	0,0116	0,0171	0,0220	0,0264	0,0300	0,0329	0,0349	0,0361
1,05	0,0000	0,0052	0,0103	0,0151	0,0194	0,0233	0,0266	0,0291	0,0309	0,0320
1,10	0,0000	0,0046	0,0090	0,0133	0,0172	0,0206	0,0235	0,0257	0,0274	0,0283
1,15	0,0000	0,0041	0,0080	0,0117	0,0151	0,0182	0,0207	0,0227	0,0242	0,0250
1,20	0,0000	0,0036	0,0070	0,0103	0,0133	0,0160	0,0183	0,0201	0,0214	0,0221
1,25	0,0000	0,0032	0,0062	0,0091	0,0118	0,0141	0,0161	0,0177	0,0188	0,0195
1,30	0,0000	0,0028	0,0055	0,0080	0,0103	0,0124	0,0142	0,0156	0,0166	0,0172
1,35	0,0000	0,0024	0,0048	0,0070	0,0091	0,0109	0,0125	0,0137	0,0146	0,0152
1,40	0,0000	0,0021	0,0042	0,0062	0,0080	0,0096	0,0110	0,0121	0,0129	0,0134
1,45	0,0000	0,0019	0,0037	0,0054	0,0070	0,0084	0,0097	0,0106	0,0113	0,0117
1,50	0,0000	0,0017	0,0033	0,0048	0,0062	0,0074	0,0085	0,0093	0,0100	0,0103
1,55	0,0000	0,0015	0,0029	0,0042	0,0054	0,0065	0,0074	0,0082	0,0087	0,0091
1,60	0,0000	0,0013	0,0025	0,0037	0,0048	0,0057	0,0065	0,0072	0,0077	0,0080
1,65	0,0000	0,0011	0,0022	0,0032	0,0042	0,0050	0,0057	0,0063	0,0067	0,0070
1,70	0,0000	0,0010	0,0019	0,0028	0,0037	0,0044	0,0050	0,0055	0,0059	0,0061
1,75	0,0000	0,0009	0,0017	0,0025	0,0032	0,0038	0,0044	0,0048	0,0052	0,0054
1,80	0,0000	0,0008	0,0015	0,0021	0,0028	0,0034	0,0039	0,0042	0,0045	0,0047
1,85	0,0000	0,0007	0,0013	0,0019	0,0025	0,0029	0,0034	0,0037	0,0040	0,0041
1,90	0,0000	0,0006	0,0011	0,0017	0,0021	0,0026	0,0030	0,0033	0,0035	0,0036
1,95	0,0000	0,0005	0,0010	0,0015	0,0019	0,0023	0,0026	0,0028	0,0030	0,0032
2,00	0,0000	0,0004	0,0009	0,0013	0,0016	0,0020	0,0023	0,0025	0,0027	0,0028
2,50	0,0000	0,0001	0,0002	0,0003	0,0004	0,0005	0,0006	0,0006	0,0007	0,0007
3,00	0,0000	0,0000	0,0001	0,0001	0,0001	0,0001	0,0001	0,0001	0,0001	0,0002
3,50	0,0000	0,0000	0,0000	0,0000	0,0000	0,0000	0,0000	0,0000	0,0000	0,0000
4,00	0,0000	0,0000	0,0000	0,0000	0,0000	0,0000	0,0000	0,0000	0,0000	0,0000

$$S_1 = \int_{\eta}^{\infty} L_{\eta} d\eta = \int_{\eta}^{\infty} \eta \frac{\sin \pi \xi^2}{\operatorname{ch} \pi \eta - \cos \pi \xi^2} d\eta$$

0,50	0,55	0,60	0,65	0,70	0,75	0,80	0,85	0,90	0,95
0,1847	0,1734	0,1591	0,1429	0,1251	0,1062	0,0862	0,0653	0,0439	0,0220
0,1843	0,1723	0,1581	0,1421	0,1246	0,1057	0,0857	0,0650	0,0437	0,0219
0,1808	0,1692	0,1555	0,1399	0,1227	0,1041	0,0846	0,0641	0,0431	0,0216
0,1749	0,1642	0,1512	0,1363	0,1197	0,1017	0,0826	0,0627	0,0421	0,0212
0,1674	0,1577	0,1455	0,1314	0,1156	0,0984	0,0800	0,0607	0,0409	0,0205
0,1584	0,1499	0,1387	0,1256	0,1107	0,0943	0,0768	0,0584	0,0393	0,0197
0,1487	0,1411	0,1311	0,1190	0,1051	0,0897	0,0731	0,0557	0,0375	0,0188
0,1383	0,1318	0,1229	0,1118	0,0990	0,0847	0,0691	0,0527	0,0355	0,0178
0,1278	0,1223	0,1143	0,1043	0,0926	0,0793	0,0649	0,0495	0,0334	0,0168
0,1173	0,1127	0,1057	0,0967	0,0860	0,0738	0,0605	0,0462	0,0312	0,0157
0,1072	0,1033	0,0972	0,0891	0,0795	0,0683	0,0560	0,0428	0,0289	0,0146
0,0974	0,0942	0,0889	0,0817	0,0730	0,0629	0,0516	0,0395	0,0267	0,0134
0,0883	0,0856	0,0809	0,0746	0,0668	0,0576	0,0474	0,0363	0,0245	0,0124
0,0796	0,0774	0,0734	0,0678	0,0608	0,0525	0,0432	0,0331	0,0224	0,0113
0,0717	0,0698	0,0663	0,0613	0,0551	0,0477	0,0393	0,0301	0,0204	0,0103
0,0643	0,0628	0,0597	0,0553	0,0498	0,0431	0,0356	0,0273	0,0185	0,0093
0,0576	0,0563	0,0536	0,0498	0,0448	0,0389	0,0321	0,0247	0,0167	0,0084
0,0514	0,0504	0,0480	0,0446	0,0403	0,0349	0,0289	0,0222	0,0151	0,0076
0,0459	0,0450	0,0429	0,0399	0,0361	0,0313	0,0259	0,0199	0,0135	0,0068
0,0407	0,0401	0,0383	0,0357	0,0322	0,0280	0,0232	0,0178	0,0121	0,0061
0,0363	0,0356	0,0341	0,0318	0,0287	0,0250	0,0207	0,0159	0,0108	0,0055
0,0321	0,0316	0,0303	0,0283	0,0256	0,0223	0,0184	0,0142	0,0096	0,0049
0,0285	0,0281	0,0269	0,0251	0,0227	0,0198	0,0164	0,0126	0,0086	0,0043
0,0252	0,0249	0,0238	0,0222	0,0202	0,0175	0,0146	0,0112	0,0076	0,0039
0,0224	0,0220	0,0211	0,0197	0,0179	0,0156	0,0129	0,0099	0,0068	0,0034
0,0197	0,0194	0,0186	0,0174	0,0158	0,0138	0,0114	0,0088	0,0060	0,0030
0,0174	0,0171	0,0164	0,0154	0,0140	0,0122	0,0101	0,0078	0,0053	0,0027
0,0153	0,0151	0,0145	0,0136	0,0123	0,0107	0,0089	0,0069	0,0047	0,0024
0,0135	0,0133	0,0128	0,0120	0,0109	0,0095	0,0078	0,0061	0,0041	0,0021
0,0119	0,0117	0,0112	0,0105	0,0096	0,0083	0,0069	0,0053	0,0036	0,0018
0,0104	0,0103	0,0099	0,0093	0,0084	0,0073	0,0061	0,0047	0,0032	0,0016
0,0092	0,0090	0,0087	0,0081	0,0074	0,0064	0,0054	0,0041	0,0028	0,0014
0,0080	0,0079	0,0076	0,0072	0,0065	0,0057	0,0047	0,0036	0,0025	0,0012
0,0071	0,0070	0,0067	0,0063	0,0057	0,0050	0,0041	0,0032	0,0022	0,0011
0,0062	0,0061	0,0059	0,0055	0,0050	0,0044	0,0036	0,0028	0,0019	0,0010
0,0054	0,0054	0,0051	0,0048	0,0044	0,0038	0,0032	0,0025	0,0017	0,0008
0,0048	0,0047	0,0045	0,0042	0,0039	0,0034	0,0028	0,0021	0,0015	0,0007
0,0042	0,0041	0,0039	0,0037	0,0034	0,0029	0,0024	0,0019	0,0013	0,0006
0,0036	0,0036	0,0034	0,0032	0,0030	0,0026	0,0021	0,0016	0,0011	0,0006
0,0032	0,0031	0,0030	0,0028	0,0026	0,0023	0,0019	0,0014	0,0010	0,0005
0,0028	0,0027	0,0026	0,0025	0,0023	0,0020	0,0016	0,0013	0,0009	0,0004
0,0007	0,0007	0,0007	0,0006	0,0006	0,0005	0,0004	0,0003	0,0002	0,0001
0,0002	0,0002	0,0002	0,0001	0,0001	0,0001	0,0001	0,0001	0,0001	0,0000
0,0001	0,0000	0,0000	0,0000	0,0000	0,0000	0,0000	0,0000	0,0000	0,0000
0,0000	0,0000	0,0000	0,0000	0,0000	0,0000	0,0000	0,0000	0,0000	0,0000

Tablica 12.

$\frac{\xi}{\eta}$	0,00	0,05	0,10	0,15	0,20	0,25	0,30	0,35	0,40	0,45
0,00	0,0000	0,0309	0,0570	0,0786	0,0960	0,1094	0,1190	0,1251	0,1280	0,1279
0,05	0,0000	0,0305	0,0568	0,0785	0,0959	0,1092	0,1189	0,1251	0,1280	0,1279
0,10	0,0000	0,0295	0,0556	0,0775	0,0951	0,1087	0,1184	0,1246	0,1276	0,1275
0,15	0,0000	0,0281	0,0538	0,0757	0,0934	0,1070	0,1171	0,1235	0,1266	0,1267
0,20	0,0000	0,0267	0,0515	0,0730	0,0908	0,1048	0,1149	0,1216	0,1249	0,1252
0,25	0,0000	0,0252	0,0489	0,0699	0,0876	0,1014	0,1119	0,1188	0,1224	0,1229
0,30	0,0000	0,0238	0,0463	0,0665	0,0838	0,0977	0,1081	0,1152	0,1191	0,1199
0,35	0,0000	0,0224	0,0437	0,0630	0,0797	0,0932	0,1038	0,1110	0,1151	0,1162
0,40	0,0000	0,0210	0,0410	0,0594	0,0754	0,0887	0,0990	0,1063	0,1105	0,1119
0,45	0,0000	0,0196	0,0385	0,0558	0,0711	0,0838	0,0939	0,1012	0,1055	0,1072
0,50	0,0000	0,0183	0,0359	0,0523	0,0668	0,0790	0,0887	0,0958	0,1003	0,1021
0,55	0,0000	0,0171	0,0335	0,0488	0,0625	0,0741	0,0834	0,0904	0,0948	0,0967
0,60	0,0000	0,0158	0,0312	0,0455	0,0583	0,0693	0,0782	0,0848	0,0892	0,0912
0,65	0,0000	0,0147	0,0289	0,0422	0,0542	0,0646	0,0730	0,0794	0,0836	0,0857
0,70	0,0000	0,0136	0,0268	0,0391	0,0503	0,0600	0,0679	0,0740	0,0781	0,0802
0,75	0,0000	0,0126	0,0247	0,0362	0,0465	0,0556	0,0630	0,0688	0,0727	0,0747
0,80	0,0000	0,0116	0,0228	0,0334	0,0430	0,0514	0,0583	0,0637	0,0674	0,0694
0,85	0,0000	0,0106	0,0210	0,0307	0,0396	0,0474	0,0538	0,0589	0,0624	0,0643
0,90	0,0000	0,0098	0,0192	0,0282	0,0364	0,0436	0,0496	0,0543	0,0575	0,0594
0,95	0,0000	0,0089	0,0176	0,0259	0,0334	0,0400	0,0455	0,0499	0,0530	0,0547
1,00	0,0000	0,0082	0,0161	0,0237	0,0306	0,0366	0,0417	0,0458	0,0486	0,0502
1,05	0,0000	0,0075	0,0147	0,0216	0,0279	0,0335	0,0382	0,0419	0,0445	0,0460
1,10	0,0000	0,0068	0,0134	0,0197	0,0255	0,0306	0,0349	0,0383	0,0407	0,0421
1,15	0,0000	0,0062	0,0122	0,0179	0,0232	0,0279	0,0318	0,0349	0,0371	0,0384
1,20	0,0000	0,0056	0,0111	0,0163	0,0211	0,0253	0,0289	0,0317	0,0338	0,0350
1,25	0,0000	0,0051	0,0101	0,0148	0,0192	0,0230	0,0262	0,0288	0,0307	0,0318
1,30	0,0000	0,0046	0,0091	0,0134	0,0174	0,0208	0,0238	0,0262	0,0279	0,0289
1,35	0,0000	0,0042	0,0082	0,0121	0,0157	0,0189	0,0215	0,0237	0,0252	0,0262
1,40	0,0000	0,0038	0,0074	0,0110	0,0142	0,0171	0,0195	0,0214	0,0228	0,0237
1,45	0,0000	0,0034	0,0067	0,0099	0,0128	0,0154	0,0176	0,0193	0,0206	0,0214
1,50	0,0000	0,0031	0,0060	0,0089	0,0115	0,0139	0,0159	0,0174	0,0186	0,0193
1,55	0,0000	0,0028	0,0054	0,0080	0,0104	0,0125	0,0143	0,0157	0,0167	0,0174
1,60	0,0000	0,0025	0,0049	0,0072	0,0094	0,0112	0,0128	0,0141	0,0151	0,0156
1,65	0,0000	0,0022	0,0044	0,0065	0,0084	0,0101	0,0115	0,0127	0,0135	0,0141
1,70	0,0000	0,0020	0,0039	0,0058	0,0075	0,0091	0,0104	0,0114	0,0122	0,0126
1,75	0,0000	0,0018	0,0035	0,0052	0,0068	0,0081	0,0093	0,0102	0,0102	0,0113
1,80	0,0000	0,0016	0,0032	0,0047	0,0060	0,0073	0,0083	0,0091	0,0098	0,0101
1,85	0,0000	0,0014	0,0028	0,0042	0,0054	0,0065	0,0074	0,0082	0,0087	0,0091
1,90	0,0000	0,0013	0,0025	0,0037	0,0048	0,0058	0,0066	0,0073	0,0078	0,0081
1,95	0,0000	0,0011	0,0022	0,0033	0,0043	0,0052	0,0059	0,0065	0,0070	0,0072
2,00	0,0000	0,0010	0,0020	0,0030	0,0039	0,0046	0,0053	0,0058	0,0062	0,0063
2,50	0,0000	0,0003	0,0006	0,0009	0,0012	0,0014	0,0016	0,0018	0,0020	0,0020
3,00	0,0000	0,0001	0,0002	0,0003	0,0003	0,0004	0,0005	0,0005	0,0005	0,0006
3,50	0,0000	0,0000	0,0000	0,0001	0,0001	0,0001	0,0001	0,0001	0,0001	0,0001
4,00	0,0000	0,0000	0,0000	0,0000	0,0000	0,0000	0,0000	0,0000	0,0000	0,0000

$$S_2 = \int_{\eta}^{\infty} L_2 d\eta = \int_{\eta}^{\infty} \eta^2 \frac{\sin \pi \zeta}{\operatorname{ch} \pi \eta - \cos \pi \zeta} d\eta$$

0,50	0,55	0,60	0,65	0,70	0,75	0,80	0,85	0,90	0,95
0,1250	0,1197	0,1120	0,1024	0,0909	0,0781	0,0640	0,0489	0,0330	0,0166
0,1250	0,1196	0,1120	0,1024	0,0909	0,0781	0,0640	0,0489	0,0330	0,0166
0,1247	0,1194	0,1118	0,1022	0,0907	0,0780	0,0639	0,0488	0,0330	0,0166
0,1240	0,1187	0,1112	0,1017	0,0904	0,0777	0,0637	0,0486	0,0328	0,0165
0,1227	0,1176	0,1102	0,1009	0,0897	0,0771	0,0632	0,0483	0,0326	0,0164
0,1206	0,1158	0,1087	0,0996	0,0885	0,0762	0,0625	0,0477	0,0323	0,0162
0,1179	0,1134	0,1066	0,0978	0,0870	0,0749	0,0615	0,0470	0,0318	0,0160
0,1146	0,1104	0,1039	0,0954	0,0850	0,0732	0,0602	0,0460	0,0311	0,0157
0,1106	0,1068	0,1007	0,0926	0,0826	0,0713	0,0586	0,0448	0,0303	0,0153
0,1062	0,1027	0,0971	0,0894	0,0798	0,0689	0,0567	0,0434	0,0294	0,0148
0,1014	0,0983	0,0930	0,0858	0,0767	0,0663	0,0546	0,0418	0,0283	0,0143
0,0963	0,0935	0,0887	0,0819	0,0733	0,0634	0,0523	0,0401	0,0272	0,0137
0,0910	0,0885	0,0841	0,0778	0,0697	0,0604	0,0498	0,0382	0,0259	0,0130
0,0856	0,0835	0,0794	0,0735	0,0660	0,0572	0,0472	0,0363	0,0246	0,0124
0,0802	0,0783	0,0746	0,0692	0,0622	0,0540	0,0446	0,0343	0,0232	0,0117
0,0749	0,0732	0,0698	0,0648	0,0583	0,0507	0,0419	0,0322	0,0219	0,0110
0,0697	0,0682	0,0651	0,0605	0,0545	0,0474	0,0392	0,0302	0,0205	0,0103
0,0646	0,0633	0,0605	0,0563	0,0507	0,0441	0,0365	0,0281	0,0191	0,0096
0,0597	0,0586	0,0561	0,0522	0,0470	0,0410	0,0340	0,0261	0,0178	0,0089
0,0550	0,0541	0,0518	0,0482	0,0435	0,0379	0,0314	0,0242	0,0164	0,0083
0,0506	0,0497	0,0477	0,0444	0,0401	0,0350	0,0290	0,0223	0,0152	0,0077
0,0464	0,0456	0,0438	0,0408	0,0368	0,0322	0,0267	0,0206	0,0140	0,0071
0,0425	0,0418	0,0401	0,0374	0,0338	0,0295	0,0245	0,0189	0,0128	0,0065
0,0388	0,0382	0,0367	0,0342	0,0309	0,0270	0,0224	0,0173	0,0118	0,0059
0,0353	0,0348	0,0334	0,0312	0,0282	0,0247	0,0205	0,0158	0,0107	0,0054
0,0322	0,0317	0,0304	0,0284	0,0257	0,0224	0,0187	0,0144	0,0098	0,0049
0,0292	0,0288	0,0276	0,0259	0,0233	0,0204	0,0170	0,0131	0,0089	0,0045
0,0265	0,0261	0,0251	0,0235	0,0212	0,0185	0,0154	0,0119	0,0081	0,0041
0,0239	0,0236	0,0227	0,0212	0,0192	0,0168	0,0140	0,0108	0,0073	0,0037
0,0216	0,0213	0,0205	0,0192	0,0173	0,0152	0,0126	0,0097	0,0066	0,0033
0,0195	0,0193	0,0185	0,0173	0,0156	0,0137	0,0114	0,0088	0,0060	0,0030
0,0176	0,0174	0,0167	0,0156	0,0141	0,0123	0,0103	0,0079	0,0054	0,0027
0,0158	0,0156	0,0150	0,0141	0,0127	0,0111	0,0093	0,0071	0,0049	0,0025
0,0142	0,0140	0,0135	0,0126	0,0114	0,0100	0,0083	0,0064	0,0044	0,0022
0,0128	0,0126	0,0121	0,0114	0,0102	0,0090	0,0075	0,0058	0,0039	0,0020
0,0115	0,0113	0,0109	0,0102	0,0091	0,0080	0,0067	0,0052	0,0035	0,0018
0,0103	0,0101	0,0097	0,0091	0,0082	0,0072	0,0060	0,0046	0,0032	0,0016
0,0092	0,0091	0,0087	0,0082	0,0073	0,0064	0,0054	0,0042	0,0028	0,0014
0,0082	0,0081	0,0078	0,0073	0,0065	0,0058	0,0048	0,0037	0,0025	0,0013
0,0073	0,0072	0,0070	0,0065	0,0058	0,0051	0,0043	0,0033	0,0023	0,0011
0,0065	0,0065	0,0062	0,0058	0,0052	0,0046	0,0038	0,0030	0,0020	0,0010
0,0020	0,0020	0,0019	0,0018	0,0016	0,0014	0,0012	0,0009	0,0006	0,0003
0,0006	0,0006	0,0005	0,0005	0,0005	0,0004	0,0003	0,0003	0,0002	0,0001
0,0001	0,0002	0,0001	0,0001	0,0001	0,0001	0,0001	0,0001	0,0000	0,0000
0,0000	0,0000	0,0000	0,0000	0,0000	0,0000	0,0000	0,0000	0,0000	0,0000

Tablica 13.

η	0,00	0,05	0,10	0,15	0,20	0,25	0,30	0,35	0,40	0,45
0,00	∞	-1,0000	-1,0000	-1,0000	-1,0000	-1,0000	-1,0000	-1,0000	-1,0000	-1,0000
0,05	11,7586	5,3924	1,5728	0,2997	-0,2243	-0,4833	-0,6285	-0,7175	-0,7758	-0,8157
0,10	5,4185	4,1453	2,2356	1,0117	0,3266	-0,0680	-0,3087	-0,4640	-0,5689	-0,6426
0,15	3,3224	2,8981	2,0169	1,2012	0,6077	0,2041	-0,0694	-0,2583	-0,4890	-0,5608
0,20	2,2873	2,1002	1,6511	1,1424	0,6977	0,3495	0,0381	-0,1060	-0,2508	-0,3599
0,25	1,6761	1,5783	1,3254	1,0034	0,6848	0,4068	0,1789	-0,0022	-0,1447	-0,2564
0,30	1,2769	1,2197	1,0654	0,8541	0,6269	0,4118	0,2226	0,0628	-0,0690	-0,1765
0,35	0,9986	0,9624	0,8621	0,7182	0,5542	0,3893	0,2359	0,0997	-0,0177	-0,1168
0,40	0,7957	0,7714	0,7030	0,6015	0,4811	0,3545	0,2312	0,1172	0,0154	-0,0736
0,45	0,6429	0,6259	0,5773	0,5037	0,4136	0,3156	0,2168	0,1223	0,0352	-0,0429
0,50	0,5449	0,5125	0,4770	0,4221	0,3536	0,2770	0,1977	0,1197	0,0460	-0,0219
0,55	0,4321	0,4229	0,3962	0,3545	0,3015	0,2411	0,1771	0,1128	0,0506	-0,0077
0,60	0,3581	0,3510	0,3306	0,2983	0,2567	0,2086	0,1568	0,1037	0,0514	0,0015
0,65	0,2982	0,2928	0,2768	0,2515	0,2185	0,1798	0,1375	0,0936	0,0497	0,0071
0,70	0,2495	0,2452	0,2325	0,2124	0,1859	0,1546	0,1199	0,0835	0,0466	0,0103
0,75	0,2094	0,2060	0,1959	0,1797	0,1582	0,1327	0,1041	0,0738	0,0427	0,0119
0,80	0,1763	0,1735	0,1654	0,1522	0,1347	0,1137	0,0901	0,0648	0,0386	0,0125
0,85	0,1487	0,1465	0,1398	0,1291	0,1147	0,0974	0,0777	0,0565	0,0345	0,0123
0,90	0,1258	0,1239	0,1184	0,1096	0,0977	0,0834	0,0670	0,0492	0,0306	0,0117
0,95	0,1065	0,1050	0,1005	0,0932	0,0833	0,0713	0,0576	0,0427	0,0269	0,0109
1,00	0,0904	0,0891	0,0896	0,0793	0,0710	0,0610	0,0495	0,0369	0,0236	0,0099
1,05	0,0767	0,0756	0,0725	0,0674	0,0606	0,0522	0,0425	0,0318	0,0205	0,0089
1,10	0,0651	0,0643	0,0617	0,0574	0,0516	0,0446	0,0364	0,0274	0,0178	0,0079
1,15	0,0554	0,0547	0,0525	0,0489	0,0441	0,0381	0,0312	0,0236	0,0155	0,0070
1,20	0,0472	0,0466	0,0447	0,0417	0,0376	0,0326	0,0268	0,0203	0,0134	0,0061
1,25	0,0402	0,0397	0,0381	0,0356	0,0321	0,0278	0,0229	0,0174	0,0115	0,0054
1,30	0,0343	0,0338	0,0325	0,0303	0,0274	0,0238	0,0196	0,0149	0,0099	0,0047
1,35	0,0292	0,0288	0,0277	0,0259	0,0234	0,0204	0,0168	0,0128	0,0086	0,0041
1,40	0,0249	0,0246	0,0236	0,0221	0,0200	0,0174	0,0143	0,0110	0,0073	0,0035
1,45	0,0213	0,0210	0,0202	0,0189	0,0171	0,0149	0,0123	0,0094	0,0063	0,0031
1,50	0,0181	0,0179	0,0172	0,0161	0,0146	0,0127	0,0105	0,0081	0,0054	0,0027
1,55	0,0155	0,0153	0,0147	0,0138	0,0125	0,0109	0,0090	0,0069	0,0046	0,0023
1,60	0,0132	0,0131	0,0126	0,0118	0,0107	0,0093	0,0077	0,0059	0,0040	0,0020
1,65	0,0113	0,0111	0,0107	0,0100	0,0091	0,0079	0,0066	0,0051	0,0034	0,0017
1,70	0,0097	0,0096	0,0092	0,0086	0,0078	0,0068	0,0057	0,0044	0,0030	0,0015
1,75	0,0082	0,0081	0,0078	0,0073	0,0066	0,0057	0,0048	0,0037	0,0025	0,0012
1,80	0,0070	0,0070	0,0067	0,0063	0,0057	0,0050	0,0041	0,0032	0,0022	0,0011
1,85	0,0060	0,0059	0,0057	0,0052	0,0049	0,0042	0,0035	0,0026	0,0018	0,0009
1,90	0,0051	0,0051	0,0049	0,0046	0,0042	0,0036	0,0030	0,0023	0,0016	0,0008
1,95	0,0044	0,0043	0,0041	0,0039	0,0036	0,0031	0,0025	0,0019	0,0013	0,0006
2,00	0,0037	0,0037	0,0035	0,0033	0,0030	0,0026	0,0022	0,0017	0,0011	0,0005
2,50	0,0008	0,0008	0,0007	0,0007	0,0006	0,0005	0,0005	0,0004	0,0002	0,0001
3,00	0,0002	0,0002	0,0002	0,0001	0,0001	0,0001	0,0001	0,0001	0,0001	0,0000
3,50	0,0000	0,0000	0,0000	0,0000	0,0000	0,0000	0,0000	0,0000	0,0000	0,0000

$$\bar{M}_0 = \frac{\text{sh } \pi\eta}{\text{ch } \pi\eta - \cos \pi\zeta} - 1$$

0,50	0,55	0,60	0,65	0,70	0,75	0,80	0,85	0,90	0,95	1,00
-1,0000	-1,0000	-1,0000	-1,0000	-1,0000	-1,0000	-1,0000	-1,0000	-1,0000	-1,0000	-1,0000
-0,8442	-0,8651	-0,8806	-0,8924	-0,9014	-0,9083	-0,9134	-0,9171	-0,9197	-0,9211	-0,9217
-0,6958	-0,7352	-0,7656	-0,7876	-0,8050	-0,8182	-0,8282	-0,8355	-0,8403	-0,8433	-0,8442
-0,6149	-0,6562	-0,6552	-0,6880	-0,7126	-0,7314	-0,7457	-0,7561	-0,7632	-0,7673	-0,7686
-0,4331	-0,5071	-0,5568	-0,5956	-0,6258	-0,6492	-0,6669	-0,6800	-0,6889	-0,6941	-0,6958
-0,3442	-0,4135	-0,4683	-0,5116	-0,5458	-0,5724	-0,5929	-0,6079	-0,6183	-0,6243	-0,6263
-0,2636	-0,3341	-0,3910	-0,4367	-0,4732	-0,5020	-0,5242	-0,5406	-0,5520	-0,5586	-0,5608
-0,1997	-0,2683	-0,3248	-0,3710	-0,4083	-0,4379	-0,4611	-0,4784	-0,4903	-0,4973	-0,4997
-0,1499	-0,2146	-0,2688	-0,3139	-0,3508	-0,3807	-0,4038	-0,4214	-0,4336	-0,4407	-0,4331
-0,1117	-0,1713	-0,2221	-0,2650	-0,3006	-0,3295	-0,3524	-0,3697	-0,3818	-0,3889	-0,3913
-0,0829	-0,1367	-0,1834	-0,2234	-0,2570	-0,2845	-0,3065	-0,3232	-0,3350	-0,3419	-0,3442
-0,0612	-0,1093	-0,1515	-0,1882	-0,2193	-0,2451	-0,2658	-0,2817	-0,2919	-0,2995	-0,3017
-0,0451	-0,0875	-0,1253	-0,1585	-0,1870	-0,2107	-0,2300	-0,2449	-0,2554	-0,2616	-0,2637
-0,0331	-0,0703	-0,1038	-0,1335	-0,1593	-0,1810	-0,1986	-0,2123	-0,2220	-0,2278	-0,2297
-0,0243	-0,0567	-0,0862	-0,1126	-0,1357	-0,1533	-0,1712	-0,1837	-0,1926	-0,1979	-0,1997
-0,0178	-0,0459	-0,0717	-0,0950	-0,1155	-0,1330	-0,1474	-0,1587	-0,1667	-0,1715	-0,1732
-0,0130	-0,0373	-0,0598	-0,0802	-0,0984	-0,1139	-0,1268	-0,1368	-0,1441	-0,1484	-0,1499
-0,0095	-0,0305	-0,0500	-0,0679	-0,0838	-0,0986	-0,1089	-0,1179	-0,1243	-0,1282	-0,1295
-0,0070	-0,0250	-0,0420	-0,0574	-0,0714	-0,0844	-0,0935	-0,1014	-0,1072	-0,1106	-0,1117
-0,0051	-0,0210	-0,0352	-0,0487	-0,0608	-0,0713	-0,0802	-0,0871	-0,0921	-0,0952	-0,0962
-0,0037	-0,0170	-0,0296	-0,0413	-0,0519	-0,0610	-0,0687	-0,0748	-0,0793	-0,0819	-0,0828
-0,0027	-0,0142	-0,0249	-0,0350	-0,0442	-0,0522	-0,0576	-0,0642	-0,0681	-0,0705	-0,0712
-0,0020	-0,0117	-0,0211	-0,0298	-0,0377	-0,0446	-0,0505	-0,0551	-0,0585	-0,0606	-0,0612
-0,0015	-0,0099	-0,0178	-0,0253	-0,0322	-0,0381	-0,0432	-0,0472	-0,0502	-0,0520	-0,0525
-0,0011	-0,0083	-0,0151	-0,0215	-0,0275	-0,0330	-0,0370	-0,0410	-0,0430	-0,0446	-0,0451
-0,0008	-0,0070	-0,0128	-0,0183	-0,0234	-0,0279	-0,0317	-0,0347	-0,0369	-0,0382	-0,0387
-0,0006	-0,0059	-0,0109	-0,0156	-0,0200	-0,0238	-0,0272	-0,0297	-0,0316	-0,0327	-0,0331
-0,0004	-0,0049	-0,0092	-0,0133	-0,0171	-0,0203	-0,0232	-0,0254	-0,0270	-0,0280	-0,0284
-0,0003	-0,0042	-0,0079	-0,0114	-0,0146	-0,0171	-0,0198	-0,0218	-0,0232	-0,0240	-0,0243
-0,0002	-0,0035	-0,0067	-0,0097	-0,0125	-0,0149	-0,0169	-0,0186	-0,0198	-0,0206	-0,0208
-0,0002	-0,0030	-0,0057	-0,0083	-0,0107	-0,0127	-0,0145	-0,0159	-0,0170	-0,0176	-0,0178
-0,0001	-0,0026	-0,0049	-0,0071	-0,0091	-0,0110	-0,0124	-0,0136	-0,0145	-0,0150	-0,0153
-0,0001	-0,0022	-0,0041	-0,0060	-0,0078	-0,0093	-0,0106	-0,0116	-0,0124	-0,0129	-0,0130
-0,0001	-0,0019	-0,0035	-0,0051	-0,0067	-0,0082	-0,0091	-0,0100	-0,0106	-0,0110	-0,0112
-0,0001	-0,0015	-0,0030	-0,0043	-0,0057	-0,0067	-0,0077	-0,0085	-0,0090	-0,0094	-0,0095
0,0000	-0,0014	-0,0026	-0,0038	-0,0049	-0,0059	-0,0067	-0,0073	-0,0078	-0,0081	-0,0082
0,0000	-0,0011	-0,0022	-0,0032	-0,0041	-0,0049	-0,0056	-0,0062	-0,0066	-0,0069	-0,0070
0,0000	-0,0010	-0,0019	-0,0028	-0,0036	-0,0043	-0,0049	-0,0053	-0,0057	-0,0059	-0,0060
0,0000	-0,0008	-0,0016	-0,0023	-0,0030	-0,0036	-0,0041	-0,0045	-0,0048	-0,0050	-0,0051
0,0000	-0,0007	-0,0014	-0,0020	-0,0027	-0,0031	-0,0036	-0,0039	-0,0041	-0,0043	-0,0044
0,0000	-0,0007	-0,0012	-0,0017	-0,0023	-0,0025	-0,0031	-0,0034	-0,0036	-0,0037	-0,0037
0,0000	-0,0001	-0,0003	-0,0004	-0,0005	-0,0006	-0,0006	-0,0007	-0,0008	-0,0008	-0,0008
0,0000	0,0000	-0,0001	-0,0001	-0,0001	-0,0001	-0,0001	-0,0001	-0,0002	-0,0002	-0,0002
0,0000	0,0000	0,0000	0,0000	0,0000	0,0000	0,0000	0,0000	0,0000	0,0000	0,0000

Tablica 14.

ξ η	0,00	0,05	0,10	0,15	0,20	0,25	0,30	0,35	0,40	0,45
0,00	0,6366	0,0000	0,0000	0,0000	0,0000	0,0000	0,0000	0,0000	0,0000	0,0000
0,05	0,5879	0,2696	0,0786	0,0150	-0,0112	-0,0242	-0,0314	-0,0359	0,0000	0,0000
0,10	0,5419	0,4145	0,2236	0,1012	0,0325	-0,0068	-0,0309	-0,0464	-0,0388	-0,0408
0,15	0,4984	0,4347	0,3025	0,1802	0,0912	0,0306	-0,0104	-0,0387	-0,0588	-0,0734
0,20	0,4575	0,4200	0,3302	0,2285	0,1395	0,0699	0,0176	-0,0212	-0,0502	-0,0720
0,25	0,4190	0,3946	0,3314	0,2508	0,1712	0,1017	0,0448	-0,0006	-0,0362	-0,0641
0,30	0,3831	0,3659	0,3196	0,2562	0,1881	0,1235	0,0668	0,0188	-0,0208	-0,0529
0,35	0,3495	0,3368	0,3017	0,2514	0,1940	0,1363	0,0826	0,0349	-0,0062	-0,0409
0,40	0,3183	0,3086	0,2812	0,2406	0,1924	0,1418	0,0925	0,0469	0,0061	-0,0294
0,45	0,2893	0,2817	0,2598	0,2267	0,1861	0,1420	0,1068	0,0550	0,0159	-0,0193
0,50	0,2624	0,2563	0,2385	0,2111	0,1768	0,1385	0,0989	0,0599	0,0230	-0,0109
0,55	0,2376	0,2326	0,2179	0,1950	0,1658	0,1326	0,0974	0,0621	0,0278	-0,0043
0,60	0,2148	0,2106	0,1983	0,1790	0,1540	0,1252	0,0941	0,0622	0,0308	0,0009
0,65	0,1938	0,1903	0,1799	0,1635	0,1420	0,1169	0,0894	0,0608	0,0323	0,0046
0,70	0,1746	0,1716	0,1628	0,1487	0,1301	0,1082	0,0840	0,0584	0,0326	0,0072
0,75	0,1571	0,1545	0,1469	0,1348	0,1187	0,0955	0,0781	0,0553	0,0321	0,0090
0,80	0,1410	0,1388	0,1323	0,1218	0,1078	0,0910	0,0721	0,0518	0,0309	0,0100
0,85	0,1264	0,1245	0,1189	0,1097	0,0975	0,0827	0,0661	0,0481	0,0293	0,0104
0,90	0,1132	0,1115	0,1066	0,0986	0,0880	0,0750	0,0603	0,0443	0,0275	0,0105
0,95	0,1012	0,0998	0,0955	0,0885	0,0791	0,0678	0,0547	0,0405	0,0256	0,0103
1,00	0,0904	0,0891	0,0896	0,0792	0,0710	0,0610	0,0495	0,0369	0,0236	0,0100
1,05	0,0805	0,0794	0,0761	0,0708	0,0636	0,0548	0,0446	0,0334	0,0216	0,0094
1,10	0,0717	0,0707	0,0678	0,0631	0,0568	0,0490	0,0400	0,0301	0,0196	0,0087
1,15	0,0638	0,0629	0,0604	0,0563	0,0507	0,0438	0,0359	0,0271	0,0178	0,0081
1,20	0,0566	0,0559	0,0537	0,0501	0,0451	0,0391	0,0321	0,0244	0,0160	0,0074
1,25	0,0502	0,0496	0,0476	0,0445	0,0401	0,0348	0,0286	0,0218	0,0144	0,0068
1,30	0,0445	0,0440	0,0422	0,0395	0,0356	0,0309	0,0255	0,0194	0,0129	0,0061
1,35	0,0394	0,0389	0,0374	0,0350	0,0316	0,0275	0,0227	0,0173	0,0116	0,0056
1,40	0,0349	0,0344	0,0331	0,0309	0,0280	0,0243	0,0201	0,0154	0,0103	0,0050
1,45	0,0308	0,0304	0,0293	0,0274	0,0248	0,0216	0,0178	0,0137	0,0092	0,0045
1,50	0,0272	0,0269	0,0258	0,0242	0,0219	0,0191	0,0158	0,0121	0,0081	0,0040
1,55	0,0240	0,0237	0,0228	0,0213	0,0193	0,0168	0,0139	0,0107	0,0072	0,0035
1,60	0,0212	0,0209	0,0201	0,0188	0,0170	0,0149	0,0123	0,0095	0,0064	0,0032
1,65	0,0186	0,0184	0,0177	0,0166	0,0150	0,0131	0,0109	0,0084	0,0056	0,0028
1,70	0,0165	0,0163	0,0156	0,0146	0,0133	0,0116	0,0096	0,0074	0,0051	0,0026
1,75	0,0143	0,0141	0,0136	0,0127	0,0115	0,0101	0,0083	0,0064	0,0043	0,0021
1,80	0,0127	0,0125	0,0121	0,0113	0,0103	0,0090	0,0074	0,0057	0,0039	0,0018
1,85	0,0110	0,0109	0,0105	0,0098	0,0090	0,0078	0,0064	0,0048	0,0033	0,0016
1,90	0,0098	0,0097	0,0093	0,0087	0,0079	0,0069	0,0057	0,0044	0,0030	0,0015
1,95	0,0085	0,0084	0,0081	0,0076	0,0069	0,0060	0,0049	0,0038	0,0028	0,0013
2,00	0,0074	0,0073	0,0071	0,0066	0,0061	0,0052	0,0043	0,0033	0,0022	0,0011
2,50	0,0019	0,0019	0,0018	0,0017	0,0016	0,0014	0,0011	0,0009	0,0006	0,0003
3,00	0,0005	0,0005	0,0005	0,0004	0,0004	0,0003	0,0003	0,0002	0,0002	0,0001
3,50	0,0001	0,0001	0,0001	0,0001	0,0001	0,0001	0,0001	0,0001	0,0000	0,0000
4,00	0,0000	0,0000	0,0000	0,0000	0,0000	0,0000	0,0000	0,0000	0,0000	0,0000

$$M_1 = \eta M_0 = \eta \left(\frac{\text{sh } \pi \eta}{\text{ch } \pi \eta - \cos \pi \zeta} - 1 \right)$$

0,50	0,55	0,60	0,65	0,70	0,75	0,80	0,85	0,90	0,95	1,00
0,0000	0,0000	0,0000	0,0000	0,0000	0,0000	0,0000	0,0000	0,0000	0,0000	0,0000
-0,0422	-0,0432	-0,0440	-0,0446	-0,0451	-0,0454	-0,0457	-0,0459	-0,0460	-0,0461	-0,0461
-0,0696	-0,0735	-0,0765	-0,0788	-0,0805	-0,0818	-0,0828	-0,0836	-0,0840	-0,0843	-0,0844
-0,0841	-0,0922	-0,0984	-0,1032	-0,1069	-0,1097	-0,1119	-0,1134	-0,1145	-0,1151	-0,1153
-0,0886	-0,1014	-0,1114	-0,1191	-0,1252	-0,1298	-0,1334	-0,1360	-0,1378	-0,1388	-0,1392
-0,0861	-0,1034	-0,1171	-0,1279	-0,1364	-0,1431	-0,1482	-0,1520	-0,1546	-0,1561	-0,1566
-0,0791	-0,1002	-0,1173	-0,1310	-0,1420	-0,1505	-0,1573	-0,1622	-0,1656	-0,1676	-0,1683
-0,0699	-0,0939	-0,1137	-0,1298	-0,1429	-0,1533	-0,1614	-0,1674	-0,1716	-0,1741	-0,1749
-0,0599	-0,0858	-0,1075	-0,1256	-0,1403	-0,1503	-0,1615	-0,1686	-0,1734	-0,1763	-0,1772
-0,0503	-0,0771	-0,1000	-0,1192	-0,1353	-0,1483	-0,1586	-0,1664	-0,1718	-0,1750	-0,1761
-0,0414	-0,0684	-0,0917	-0,1117	-0,1285	-0,1412	-0,1532	-0,1616	-0,1675	-0,1710	-0,1721
-0,0337	-0,0601	-0,0834	-0,1035	-0,1206	-0,1348	-0,1462	-0,1537	-0,1605	-0,1647	-0,1660
-0,0270	-0,0525	-0,0752	-0,0951	-0,1122	-0,1264	-0,1380	-0,1469	-0,1532	-0,1570	-0,1582
-0,0215	-0,0457	-0,0675	-0,0868	-0,1036	-0,1166	-0,1291	-0,1380	-0,1493	-0,1481	-0,1493
-0,0170	-0,0397	-0,0603	-0,0788	-0,0950	-0,1073	-0,1199	-0,1256	-0,1348	-0,1385	-0,1398
-0,0134	-0,0344	-0,0538	-0,0713	-0,0866	-0,0997	-0,1106	-0,1190	-0,1250	-0,1287	-0,1299
-0,0104	-0,0298	-0,0478	-0,0642	-0,0787	-0,0911	-0,1014	-0,1095	-0,1153	-0,1187	-0,1199
-0,0081	-0,0259	-0,0425	-0,0577	-0,0712	-0,0839	-0,0926	-0,1002	-0,1057	-0,1090	-0,1101
-0,0063	-0,0255	-0,0377	-0,0517	-0,0643	-0,0751	-0,0841	-0,0913	-0,0965	-0,0995	-0,1006
-0,0048	-0,0190	-0,0334	-0,0462	-0,0578	-0,0678	-0,0762	-0,0816	-0,0875	-0,0904	-0,0914
-0,0037	-0,0170	-0,0296	-0,0413	-0,0519	-0,0610	-0,0687	-0,0748	-0,0793	-0,0819	-0,0828
-0,0028	-0,0149	-0,0262	-0,0368	-0,0464	-0,0548	-0,0605	-0,0674	-0,0715	-0,0740	-0,0748
-0,0022	-0,0109	-0,0232	-0,0328	-0,0415	-0,0491	-0,0555	-0,0606	-0,0643	-0,0666	-0,0674
-0,0017	-0,0104	-0,0205	-0,0291	-0,0370	-0,0438	-0,0497	-0,0543	-0,0577	-0,0598	-0,0604
-0,0013	-0,0100	-0,0181	-0,0258	-0,0330	-0,0397	-0,0444	-0,0491	-0,0516	-0,0535	-0,0541
-0,0010	-0,0088	-0,0160	-0,0229	-0,0292	-0,0348	-0,0396	-0,0433	-0,0461	-0,0478	-0,0483
-0,0007	-0,0077	-0,0141	-0,0203	-0,0260	-0,0310	-0,0353	-0,0386	-0,0411	-0,0425	-0,0431
-0,0005	-0,0066	-0,0125	-0,0179	-0,0230	-0,0274	-0,0313	-0,0343	-0,0365	-0,0378	-0,0383
-0,0004	-0,0059	-0,0110	-0,0159	-0,0204	-0,0239	-0,0278	-0,0305	-0,0324	-0,0337	-0,0341
-0,0003	-0,0051	-0,0097	-0,0140	-0,0181	-0,0215	-0,0246	-0,0270	-0,0287	-0,0298	-0,0302
-0,0002	-0,0045	-0,0085	-0,0124	-0,0160	-0,0191	-0,0217	-0,0239	-0,0254	-0,0264	-0,0267
-0,0002	-0,0040	-0,0075	-0,0109	-0,0141	-0,0171	-0,0192	-0,0211	-0,0225	-0,0232	-0,0236
-0,0001	-0,0035	-0,0066	-0,0096	-0,0125	-0,0148	-0,0169	-0,0186	-0,0199	-0,0206	-0,0209
-0,0001	-0,0031	-0,0058	-0,0084	-0,0111	-0,0135	-0,0149	-0,0164	-0,0175	-0,0182	-0,0184
-0,0001	-0,0026	-0,0050	-0,0074	-0,0097	-0,0115	-0,0131	-0,0144	-0,0154	-0,0160	-0,0162
-0,0001	-0,0024	-0,0046	-0,0066	-0,0086	-0,0102	-0,0117	-0,0128	-0,0141	-0,0142	-0,0144
0,0000	-0,0020	-0,0039	-0,0057	-0,0074	-0,0088	-0,0102	-0,0112	-0,0119	-0,0124	-0,0125
0,0000	-0,0018	-0,0035	-0,0051	-0,0067	-0,0079	-0,0091	-0,0098	-0,0106	-0,0109	-0,0110
0,0000	-0,0015	-0,0030	-0,0044	-0,0057	-0,0069	-0,0079	-0,0086	-0,0092	-0,0096	-0,0097
0,0000	-0,0014	-0,0027	-0,0040	-0,0053	-0,0061	-0,0070	-0,0075	-0,0081	-0,0084	-0,0085
0,0000	-0,0014	-0,0024	-0,0035	-0,0046	-0,0060	-0,0061	-0,0067	-0,0072	-0,0075	-0,0065
0,0000	-0,0003	-0,0008	-0,0009	-0,0013	-0,0015	-0,0016	-0,0018	-0,0020	-0,0020	-0,0021
0,0000	0,0000	-0,0002	-0,0002	-0,0003	-0,0003	-0,0004	-0,0004	-0,0006	-0,0006	-0,0006
0,0000	0,0000	0,0000	0,0000	0,0000	0,0000	0,0000	0,0000	0,0000	0,0000	0,0000
0,0000	0,0000	0,0000	0,0000	0,0000	0,0000	0,0000	0,0000	0,0000	0,0000	0,0000

Tablica 15.

$\frac{\xi}{\eta}$	0,05	0,10	0,15	0,20	0,25	0,30	0,35	0,40	0,45
0,00	∞	0,0000	0,0000	0,0000	0,0000	0,0000	0,0000	0,0000	0,0000
0,05	40,4019	12,9517	4,8585	2,2410	1,1965	0,7076	0,4506	0,3031	0,2125
0,10	12,9519	10,1196	5,7511	3,2382	1,9214	1,2105	0,8017	0,5549	0,3952
0,15	4,8629	5,7657	4,5001	3,1079	2,0974	1,4334	1,0028	0,7191	0,5275
0,20	2,2417	3,2385	3,1073	2,5263	1,9203	1,4275	1,0621	0,7961	0,6035
0,25	1,1972	1,9240	2,0979	1,9209	1,6109	1,2945	1,0211	0,8011	0,6287
0,30	0,7081	1,2111	1,4339	1,4293	1,2948	1,1110	0,9247	0,7575	0,6154
0,35	0,4514	0,8028	1,0042	1,0637	1,0226	0,9257	0,8072	0,6876	0,5772
0,40	0,3040	0,5552	0,7213	0,7986	0,8035	0,7596	0,6887	0,6073	0,5251
0,45	0,2137	0,3975	0,5308	0,6073	0,6328	0,6193	0,5803	0,5270	0,4678
0,50	0,1556	0,2929	0,3990	0,4680	0,5011	0,5043	0,4854	0,4527	0,4106
0,55	0,1162	0,2210	0,3055	0,3653	0,3996	0,4113	0,4048	0,3851	0,3668
0,60	0,0888	0,1700	0,2378	0,2885	0,3211	0,3365	0,3374	0,3268	0,3080
0,65	0,0690	0,1330	0,1877	0,2304	0,2598	0,2763	0,2813	0,2766	0,2645
0,70	0,0544	0,1054	0,1498	0,1856	0,2116	0,2278	0,2349	0,2339	0,2264
0,75	0,0435	0,0845	0,1208	0,1508	0,1735	0,1887	0,1965	0,1978	0,1935
0,80	0,0351	0,0684	0,0983	0,1234	0,1430	0,1567	0,1647	0,1673	0,1651
0,85	0,0287	0,0558	0,0805	0,1017	0,1185	0,1307	0,1384	0,1416	0,1408
0,90	0,0235	0,0459	0,0664	0,0841	0,0986	0,1094	0,1165	0,1200	0,1201
0,95	0,0193	0,0380	0,0550	0,0700	0,0823	0,0917	0,0982	0,1017	0,1023
1,00	0,0163	0,0316	0,0458	0,0584	0,0690	0,0771	0,0829	0,0863	0,0873
1,05	0,0134	0,0263	0,0382	0,0489	0,0578	0,0650	0,0702	0,0733	0,0743
1,10	0,0112	0,0220	0,0320	0,0411	0,0488	0,0549	0,0595	0,0623	0,0634
1,15	0,0094	0,0185	0,0288	0,0345	0,0411	0,0464	0,0504	0,0529	0,0541
1,20	0,0079	0,0156	0,0227	0,0291	0,0348	0,0393	0,0427	0,0451	0,0462
1,25	0,0066	0,0132	0,0192	0,0246	0,0295	0,0333	0,0363	0,0383	0,0394
1,30	0,0057	0,0111	0,0163	0,0208	0,0250	0,0283	0,0309	0,0327	0,0335
1,35	0,0047	0,0094	0,0137	0,0177	0,0212	0,0241	0,0263	0,0278	0,0287
1,40	0,0040	0,0080	0,0116	0,0151	0,0182	0,0205	0,0224	0,0238	0,0245
1,45	0,0035	0,0067	0,0099	0,0128	0,0153	0,0174	0,0191	0,0202	0,0209
1,50	0,0029	0,0058	0,0083	0,0108	0,0131	0,0148	0,0162	0,0173	0,0178
1,55	0,0024	0,0049	0,0072	0,0098	0,0111	0,0126	0,0139	0,0148	0,0152
1,60	0,0021	0,0041	0,0061	0,0080	0,0095	0,0108	0,0119	0,0125	0,0130
1,65	0,0018	0,0035	0,0051	0,0068	0,0081	0,0092	0,0100	0,0107	0,0111
1,70	0,0015	0,0030	0,0044	0,0057	0,0068	0,0078	0,0086	0,0091	0,0095
1,75	0,0013	0,0026	0,0038	0,0049	0,0058	0,0067	0,0073	0,0078	0,0081
1,80	0,0011	0,0022	0,0032	0,0041	0,0050	0,0057	0,0063	0,0067	0,0069
1,85	0,0009	0,0019	0,0027	0,0035	0,0042	0,0049	0,0054	0,0057	0,0059
1,90	0,0008	0,0016	0,0023	0,0030	0,0036	0,0042	0,0046	0,0049	0,0051
1,95	0,0007	0,0014	0,0020	0,0026	0,0031	0,0035	0,0039	0,0042	0,0043
2,00	0,0006	0,0012	0,0017	0,0022	0,0027	0,0030	0,0033	0,0036	0,0037
2,50	0,0001	0,0002	0,0004	0,0005	0,0006	0,0006	0,0007	0,0007	0,0008
3,00	0,0000	0,0001	0,0001	0,0001	0,0001	0,0001	0,0001	0,0002	0,0002
3,50	0,0000	0,0000	0,0000	0,0000	0,0000	0,0000	0,0000	0,0000	0,0000

$$N_0 = L_0(M_0 + 1) = \frac{\sin \pi \zeta^2 \operatorname{sh} \pi \eta}{(\operatorname{ch} \pi \eta - \cos \pi \zeta^2)^2}$$

0,50	0,55	0,60	0,65	0,70	0,75	0,80	0,85	0,90	0,95
0,0000	0,0000	0,0000	0,0000	0,0000	0,0000	0,0000	0,0000	0,0000	0,0000
0,1392	0,1140	0,0859	0,0654	0,0498	0,0377	0,0279	0,0196	0,0126	0,0062
0,2898	0,2167	0,1640	0,1258	0,0963	0,0732	0,0543	0,0385	0,0246	0,0120
0,3945	0,2996	0,2299	0,1774	0,1367	0,1043	0,0778	0,0552	0,0354	0,0173
0,4618	0,3578	0,2785	0,2173	0,1689	0,1298	0,0973	0,0693	0,0446	0,0218
0,4951	0,3911	0,3096	0,2446	0,1921	0,1488	0,1122	0,0803	0,0518	0,0254
0,5076	0,4023	0,3241	0,2598	0,2063	0,1611	0,1223	0,0880	0,0570	0,0280
0,4799	0,3961	0,3248	0,2642	0,2122	0,1673	0,1279	0,0925	0,0601	0,0296
0,4479	0,3774	0,3149	0,2598	0,2112	0,1680	0,1294	0,0941	0,0614	0,0303
0,4079	0,3507	0,2975	0,2489	0,2046	0,1644	0,1274	0,0933	0,0611	0,0309
0,3655	0,3198	0,2756	0,2335	0,1941	0,1573	0,1228	0,0903	0,0594	0,0294
0,3234	0,2875	0,2512	0,2154	0,1811	0,1479	0,1162	0,0860	0,0568	0,0282
0,2834	0,2557	0,2262	0,1961	0,1662	0,1370	0,1083	0,0805	0,0532	0,0263
0,2467	0,2254	0,2016	0,1766	0,1510	0,1252	0,0996	0,0744	0,0494	0,0246
0,2138	0,1973	0,1784	0,1576	0,1357	0,1136	0,0907	0,0679	0,0452	0,0226
0,1845	0,1720	0,1568	0,1395	0,1211	0,1017	0,0818	0,0615	0,0411	0,0205
0,1589	0,1493	0,1371	0,1229	0,1073	0,0905	0,0731	0,0551	0,0369	0,0185
0,1362	0,1291	0,1194	0,1077	0,0945	0,0800	0,0650	0,0491	0,0330	0,0166
0,1171	0,1115	0,1036	0,0940	0,0828	0,0706	0,0574	0,0435	0,0293	0,0147
0,1039	0,0960	0,0897	0,0817	0,0723	0,0608	0,0504	0,0383	0,0258	0,0130
0,0860	0,0827	0,0775	0,0709	0,0630	0,0504	0,0441	0,0337	0,0226	0,0114
0,0736	0,0709	0,0669	0,0613	0,0549	0,0470	0,0386	0,0294	0,0198	0,0104
0,0630	0,0610	0,0575	0,0530	0,0473	0,0408	0,0335	0,0256	0,0173	0,0087
0,0538	0,0528	0,0495	0,0471	0,0409	0,0353	0,0291	0,0223	0,0151	0,0076
0,0460	0,0448	0,0425	0,0393	0,0353	0,0305	0,0251	0,0193	0,0130	0,0066
0,0394	0,0384	0,0365	0,0339	0,0305	0,0263	0,0217	0,0167	0,0113	0,0057
0,0337	0,0329	0,0314	0,0291	0,0262	0,0277	0,0188	0,0144	0,0098	0,0049
0,0288	0,0282	0,0268	0,0250	0,0225	0,0195	0,0161	0,0124	0,0085	0,0043
0,0246	0,0240	0,0230	0,0214	0,0193	0,0168	0,0139	0,0107	0,0072	0,0037
0,0210	0,0206	0,0197	0,0184	0,0166	0,0145	0,0120	0,0092	0,0063	0,0031
0,0180	0,0176	0,0169	0,0158	0,0142	0,0123	0,0102	0,0079	0,0054	0,0027
0,0154	0,0151	0,0144	0,0135	0,0122	0,0106	0,0088	0,0068	0,0046	0,0024
0,0131	0,0129	0,0123	0,0115	0,0104	0,0091	0,0075	0,0058	0,0039	0,0020
0,0112	0,0111	0,0106	0,0098	0,0090	0,0078	0,0064	0,0049	0,0034	0,0017
0,0096	0,0095	0,0091	0,0085	0,0076	0,0066	0,0055	0,0043	0,0029	0,0015
0,0082	0,0081	0,0078	0,0073	0,0066	0,0058	0,0048	0,0037	0,0025	0,0013
0,0070	0,0069	0,0066	0,0062	0,0056	0,0048	0,0040	0,0032	0,0022	0,0011
0,0060	0,0059	0,0057	0,0053	0,0048	0,0042	0,0035	0,0027	0,0018	0,0008
0,0051	0,0051	0,0049	0,0046	0,0041	0,0036	0,0030	0,0023	0,0016	0,0008
0,0044	0,0043	0,0042	0,0039	0,0035	0,0031	0,0026	0,0020	0,0013	0,0007
0,0037	0,0037	0,0036	0,0033	0,0030	0,0026	0,0022	0,0017	0,0012	0,0006
0,0008	0,0008	0,0007	0,0007	0,0006	0,0006	0,0005	0,0004	0,0002	0,0001
0,0002	0,0002	0,0002	0,0001	0,0001	0,0001	0,0001	0,0001	0,0001	0,0000
0,0000	0,0000	0,0000	0,0000	0,0000	0,0000	0,0000	0,0000	0,0000	0,0000

$$(2.3) \quad S_0(\zeta, 0) = \int_0^{\infty} \frac{\sin \pi \zeta}{\operatorname{ch} \pi \eta - \cos \pi \zeta} d\eta = 1 - \zeta,$$

$$(2.4) \quad S_2(\zeta, 0) = \int_0^{\infty} \eta^2 \frac{\sin \pi \zeta}{\operatorname{ch} \pi \eta - \cos \pi \zeta} d\eta = \frac{1}{3} \zeta(1 - \zeta)(2 - \zeta).$$

Funkcję S_0 można również przedstawić w postaci (por. [2], str. 105, wzór 2.337)

$$(2.5) \quad S_0(\zeta, \eta) = 1 - \zeta - \frac{2}{\pi} \operatorname{arc} \operatorname{tg} \left(\frac{\operatorname{tgh} \frac{\pi \eta}{2}}{\operatorname{tg} \frac{\pi \zeta}{2}} \right).$$

Wartości powyżej określonych funkcji podane zostały w tablicach 1-15.

3. Za pomocą wymienionych wyżej i stabelaryzowanych funkcji wyrazić możemy rzędne ugięcia, kąty nachylenia powierzchni oraz momenty zginające i skręcające, wyrażające się jak wiadomo za pomocą drugich pochodnych funkcji ugięcia w:

$$(3.1) \quad \begin{cases} m_x = -D \left(\frac{\partial^2 w}{\partial x^2} + \nu \frac{\partial^2 w}{\partial y^2} \right), \\ m_y = -D \left(\frac{\partial^2 w}{\partial y^2} + \nu \frac{\partial^2 w}{\partial x^2} \right), \\ m_{xy} = -D(1 - \nu) \frac{\partial^2 w}{\partial x \partial y}, \end{cases}$$

gdzie

$$(3.2) \quad D = \frac{Eh^3}{12(1 - \nu^2)}$$

jest tzw. sztywnością zginania płyty, h jej grubością, E modułem sprężystości podłużnej materiału, a ν współczynnikiem Poissona.

Można również za pomocą omawianych funkcji wyrazić siły poprzeczne:

$$(3.3) \quad t_x = -D \frac{\partial \nabla^2 w}{\partial x}, \quad t_y = -D \frac{\partial \nabla^2 w}{\partial y},$$

gdzie

$$\nabla^2 w = \frac{\partial^2 w}{\partial x^2} + \frac{\partial^2 w}{\partial y^2}.$$

W szczególności powierzchnię ugięcia pasma płytowego obciążonego w sposób obrotowo-symetryczny (rys. 1) poza obrębem obciążenia wyraża funkcja ([1], wzór (2.7))

$$(3.4) \quad w_0 = 2a^2 C_3 R_1 - C_4 K_0,$$

a w obrębie koła o promieniu R znajdującego się pod działaniem obciążenia $p(r)$ mamy

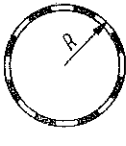
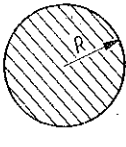
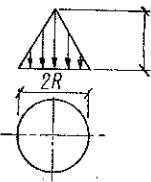
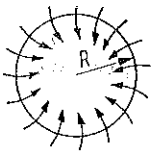
$$(3.5) \quad w_1 = w_0 + C_1 r^2 + C_2 - C_3 r^2 \ln r^2 - C_4 \ln r^2 + w_1^*$$

W funkcjach powyższych C_1, C_2, C_3 i C_4 oznaczają stałe całkowania zależne od funkcji obciążenia, w_1^* jest całką szczególną niejednorodnego równania różniczkowego zginanej płyty, a

$$r^2 = a^2 [(\xi - a)^2 + \eta^2], \quad \xi = x/a, \quad \eta = y/a.$$

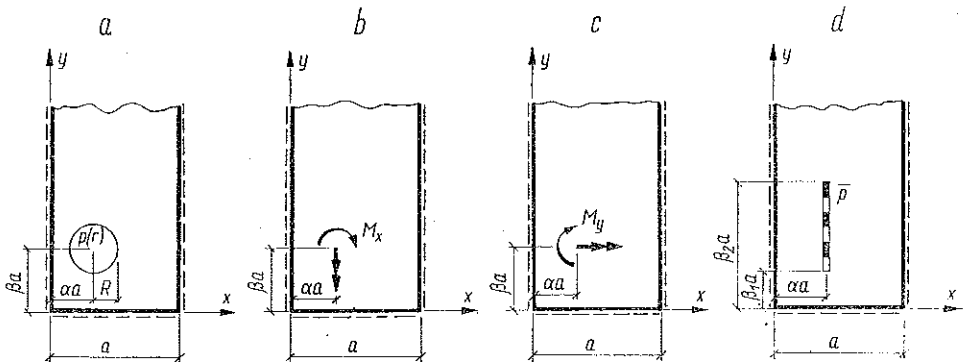
Wartości stałych całkowania oraz całek szczególnych podajemy dla kilku typowych obciążeń w tabl. 16.

Tablica 16

Lp.	Obciążenie	C_1	C_3	w_1^*
		C_2	C_4	
1	$\bullet p[kG]$	0	$\frac{P}{16\pi D}$	0
		0	0	
2	 $\bar{p} [kG/cm]$	$\frac{\bar{p}R}{8D} (2 + \ln R^2)$	$\frac{\bar{p}R}{8D}$	0
		$-\frac{\bar{p}R^3}{8D} (2 - \ln R^2)$	$\frac{\bar{p}R^3}{8D}$	
3	 $p [kG/cm^2]$	$\frac{pR^2}{32D} (1 + 2 \ln R^2)$	$\frac{pR^2}{16D}$	$\frac{pr^4}{64D}$
		$\frac{pR^4}{64D} (2 \ln R^2 - 3)$	$\frac{pR^4}{32D}$	
4	 $p_0 [kG/cm^2]$	$\frac{p_0 R^2}{144D} (1 + 3 \ln R^2)$	$\frac{p_0 R^2}{48D}$	$\frac{p_0 r^4}{64D} - \frac{p_0 r^2}{225RD}$
		$\frac{p_0 R^4}{1600D} (10 \ln R^2 - 29)$	$\frac{p_0 R^4}{160D}$	
5	 $m [kGcm/cm]$	$-\frac{m}{4D}$	0	0
		$\frac{mR^2}{4D} (1 - \ln R^2)$	$-\frac{mR}{4D}$	

Pochodne tej funkcji wyrażają się w sposób następujący:

$$(3.9) \left\{ \begin{aligned} \frac{\partial w}{\partial x} &= \frac{\bar{p}a^2}{8D} [(\eta - \gamma) S_1^- (\eta - \gamma) - (\eta + \gamma) S_1^- (\eta + \gamma) + \\ &\quad + S_2^- (\eta + \gamma) - S_2^- (\eta - \gamma)], \\ \frac{\partial w}{\partial y} &= \frac{\bar{p}a^2}{8\pi D} [R_1^- (\eta + \gamma) - R_1^- (\eta - \gamma)], \\ \frac{\partial^2 w}{\partial x^2} &= \frac{\bar{p}a}{8\pi D} [K_1^- (\eta + \gamma) - K_1^- (\eta - \gamma) - 2R_0^- (\eta + \gamma) + 2R_0^- (\eta - \gamma)], \\ \frac{\partial^2 w}{\partial y^2} &= \frac{\bar{p}a}{8\pi D} [K_1^- (\eta - \gamma) - K_1^- (\eta + \gamma)], \\ \frac{\partial^2 w}{\partial x \partial y} &= \frac{\bar{p}a}{8D} [S_1^- (\eta - \gamma) - S_1^- (\eta + \gamma)], \\ \nabla^2 w &= \frac{\bar{p}a}{4\pi D} [R_0^- (\eta - \gamma) - R_0^- (\eta + \gamma)], \\ \frac{\partial \nabla^2 w}{\partial x} &= \frac{\bar{p}}{4D} [S_0^- (\eta - \gamma) - S_0^- (\eta + \gamma)], \\ \frac{\partial \nabla^2 w}{\partial y} &= \frac{\bar{p}}{4\pi D} [K_0^- (\eta + \gamma) - K_0^- (\eta - \gamma)], \end{aligned} \right.$$



Rys. 5

Niżej podajemy jeszcze kilka wzorów na ugięcie półpasma płytowego o rozmaitych warunkach brzegowych na krawędzi poprzecznej.

W przypadku obciążenia pokazanego na rys. 5a mamy

$$(3.10) \quad w_0 = 2a^2 C_3 [R_1^- (\eta - \beta) - R_1^- (\eta + \beta)] - C_4 [K_0^- (\eta - \beta) - K_0^- (\eta + \beta)],$$

gdzie stałe C_3 i C_4 obliczamy z tabl. 16.

Ugięcie płyty obciążonej jak na rys. 5b wyraża funkcja

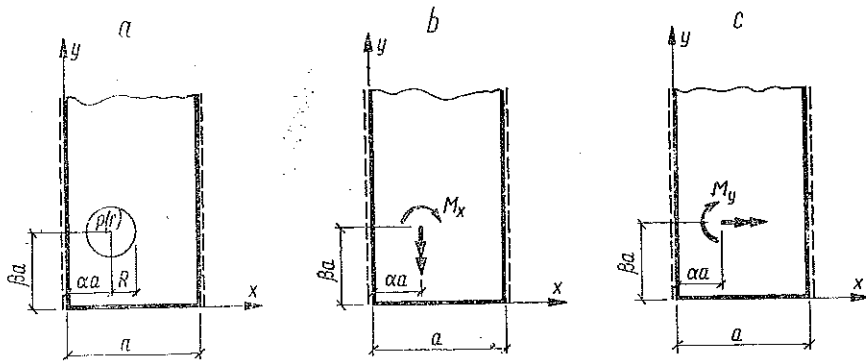
$$(3.11) \quad w = \frac{M_x a}{8D} [S_1^+(\eta - \beta) - S_1^+(\eta + \beta)].$$

Płyta obciążona momentem M_y (rys. 5c) odkształca się według funkcji

$$(3.12) \quad w = \frac{M_y a}{8\pi D} [K_1^-(\eta - \beta) + K_1^-(\eta + \beta)].$$

Wreszcie odkształcenie płyty uwidocznionej na rys. 5d wyraża funkcja

$$(3.13) \quad w = \frac{\bar{p} a^3}{8\pi D} [(\eta - \beta_1) R_1^-(\eta - \beta_1) - (\eta - \beta_2) R_1^-(\eta - \beta_2) + \\ + (\eta + \beta_1) R_1^-(\eta + \beta_1) - (\eta + \beta_2) R_1^-(\eta + \beta_2) + \\ + R_2^-(\eta - \beta_2) - R_2^-(\eta - \beta_1) - R_2^-(\eta + \beta_1) + R_2^-(\eta + \beta_2)].$$



Rys. 6

W przypadku półpasma o swobodnym brzegu $y = 0$ (rys. 6) otrzymujemy odpowiednio:

$$(3.14) \quad w_0 = 2a^3 C_3 \left[R_1^-(\eta - \beta) - R_1^-(\eta + \beta) + \frac{8}{(1-\nu)(3+\nu)} R_1^-(\eta + \beta) - \right. \\ \left. - 4 \frac{1+\nu}{(1-\nu)(3+\nu)} (\eta + \beta) R_0^-(\eta + \beta) + 2 \frac{1-\nu}{3+\nu} \beta \eta K_0^-(\eta + \beta) \right] - \\ - C_4 \left[K_0^-(\eta - \beta) + \frac{1-\nu}{3+\nu} K_0^-(\eta + \beta) + 2 \frac{1-\nu}{3+\nu} \pi \eta M_0^-(\eta + \beta) \right],$$

$$(3.15) \quad w = \frac{M_x a}{8D} \left[S_1^+(\eta - \beta) - S_1^+(\eta + \beta) + \frac{8}{(1-\nu)(3+\nu)} S_1^+(\eta + \beta) - \right. \\ \left. - 4 \frac{1+\nu}{(1-\nu)(3+\nu)} (\eta + \beta) S_0^+(\eta + \beta) + 2 \frac{1-\nu}{3+\nu} \beta \eta \pi N_0^+(\eta + \beta) \right],$$

$$(3.16) \quad w = \frac{M_y a}{8\pi D} \left[K_1^-(\eta - \beta) + \frac{1-\nu}{3+\nu} (\eta - \beta) K_0^-(\eta + \beta) - \right. \\ \left. - 4 \frac{1+\nu}{(1-\nu)(3+\nu)} R_0^-(\eta + \beta) - 2 \frac{1-\nu}{3+\nu} \beta \eta \pi M_0^-(\eta + \beta) \right].$$

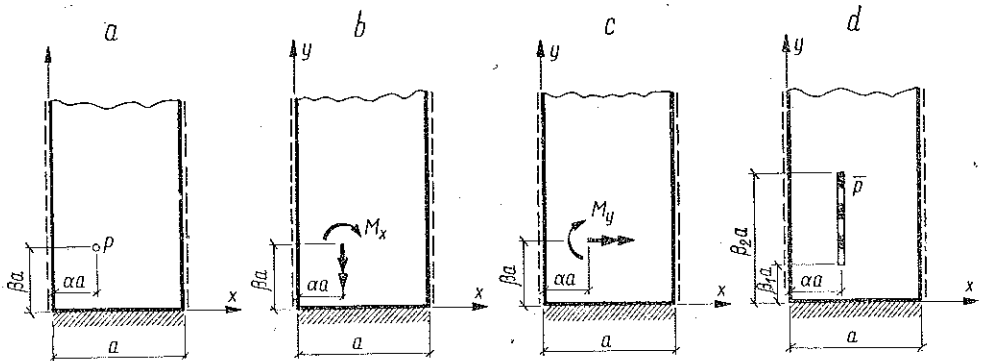
Dla pasma utwierdzonego wzdłuż krawędzi $y = 0$ (rys. 7) mamy

$$(3.17) \quad w = \frac{Pa^2}{8\pi D} [R_1^-(\eta - \beta) - R_1^-(\eta + \beta) - 2\beta\eta K_0^-(\eta + \beta)],$$

$$(3.18) \quad w = \frac{M_x a}{8D} [S_1^+(\eta - \beta) - S_1^+(\eta + \beta) + 2\beta\eta L_0^+(\eta + \beta)],$$

$$(3.19) \quad w = \frac{M_y a}{8\pi D} [K_1^-(\eta - \beta) - (\eta - \beta) K_0^-(\eta + \beta) + 2\beta\eta \pi M_0^-(\eta - \beta)],$$

$$(3.20) \quad w = \frac{\bar{p} a^3}{8\pi D} \{ (\eta - \beta_1) [R_1^-(\eta - \beta_1) - R_1^-(\eta + \beta_1)] - (\eta - \beta_2) [R_1^-(\eta - \beta_2) - \\ - R_1^-(\eta + \beta_2)] + R_2^-(\eta - \beta_2) - R_2^-(\eta - \beta_1) - R_2^-(\eta + \beta_1) + \\ + R_2^-(\eta + \beta_2) + 2\eta^2 [R_0^-(\eta + \beta_1) - R_0^-(\eta + \beta_2)] \}.$$



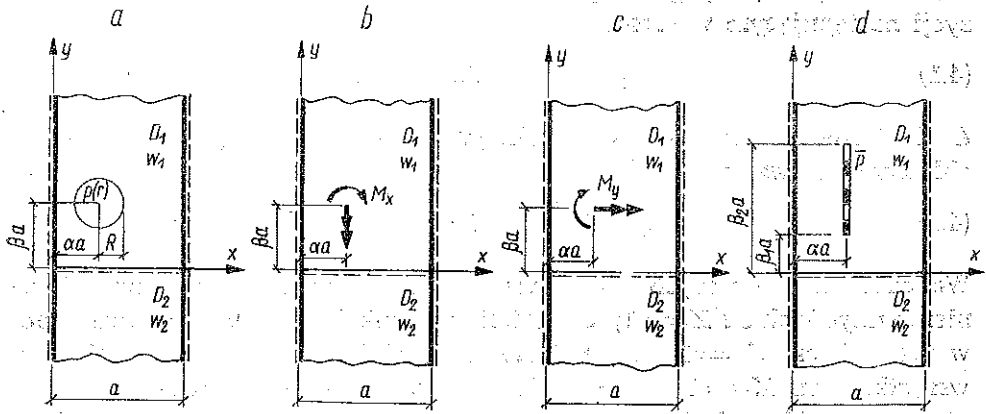
Rys. 7

Wreszcie w przypadku płyty ciągłej podpartej swobodnie wzdłuż prostej $y = 0$ (rys. 8) i mającej sztywność D_1 w części, w której $\eta > 0$, a D_2 w części, w której $\eta < 0$, otrzymujemy następujące rozwiązania:

$$(3.21) \quad \begin{cases} w_1 = 2a^2 C_3 \left[R_1^-(\eta - \beta) - R_1^-(\eta + \beta) - \frac{2\kappa}{1+\kappa} \beta \eta K_0^-(\eta + \beta) \right] - \\ - C_4 \left[K_0^-(\eta - \beta) - K_0^-(\eta + \beta) + \frac{2\kappa}{1+\kappa} \pi \eta M_0^-(\eta + \beta) \right], \\ w_2 = \frac{2}{1+\kappa} [2a^2 C_3 \beta \eta K_0^-(\eta - \beta) + C_4 \pi \eta M_0^-(\eta - \beta)]; \end{cases}$$

$$(3.22) \quad \begin{cases} w_1 = \frac{M_x a}{8D_1} \left[S_1^+(\eta - \beta) - S_1^+(\eta + \beta) + \frac{2\kappa}{1+\kappa} \beta \eta L_0^+(\eta + \beta) \right], \\ w_2 = -\frac{M_x a}{4D_1(1+\kappa)} \beta \eta L_0^+(\eta - \beta); \end{cases}$$

$$(3.23) \quad \begin{cases} w_1 = \frac{M_y a}{8\pi D_1} \left\{ K_1^-(\eta - \beta) + K_1^-(\eta + \beta) - \right. \\ \left. - \frac{2\kappa}{1+\kappa} \eta [K_0^-(\eta + \beta) - \pi \beta M_0^-(\eta + \beta)] \right\}, \\ w_2 = \frac{M_y a}{4\pi D_1(1+\kappa)} [K_0^-(\eta - \beta) + \pi \beta M_0^-(\eta - \beta)]; \end{cases}$$



Rys. 8

$$(3.24) \quad \begin{cases} w_1 = \frac{\bar{p} a^3}{8\pi D_1} \left\{ (\eta - \beta_1) R_1^-(\eta - \beta_1) + (\eta + \beta_1) R_1^-(\eta + \beta_1) - \right. \\ - (\eta - \beta_2) R_1^-(\eta - \beta_2) - (\eta + \beta_2) R_1^-(\eta + \beta_2) + R_2^-(\eta - \beta_2) - \\ - R_2^-(\eta + \beta_1) - R_2^-(\eta + \beta_1) + R_2^-(\eta + \beta_2) - \frac{2\kappa}{1+\kappa} \eta [R_1^-(\eta + \beta_1) - \\ - R_1^-(\eta + \beta_2)] + \frac{2\kappa}{1+\kappa} \eta^2 [R_0^-(\eta + \beta_1) - R_0^-(\eta + \beta_2)] \left. \right\}, \\ w_2 = \frac{\bar{p} a^3}{4\pi D_1(1+\kappa)} \left\{ R_1^-(\eta - \beta_1) - R_1^-(\eta - \beta_2) - \right. \\ \left. - \eta [R_0^-(\eta - \beta_1) - R_0^-(\eta - \beta_2)] \right\}. \end{cases}$$

Tutaj $\kappa = D_1/D_2$, zaś w_1 oznacza rzędne powierzchni ugięcia dla $\eta > 0$, a w_2 dla $\eta < 0$.

Korzystając więc z tablic 1-15 można obliczać tak wielkości geometryczne jak i statyczne, występujące w pasmach i półpasmach płytowych, o rozmaitych warunkach brzegowych na krawędzi poprzecznej, obciążonych w rozmaity sposób.

4. Dla uwidocznienia dalszych możliwości wykorzystania tablic rozwiążemy kilka przykładów.

Przykład 1. Pasma płytowe o szerokości a obciążone w sposób równomierny q jest podparte dodatkowo nieskończoną liczbą słupów rozmieszczonych w czterech rzędach jak na rys. 9. Korzystamy z warunku, że ugięcia w punktach podparcia są równe zero (przy pominięciu odkształceń słupów). Ze względu na symetrię układu i obciążenia będziemy mieli dwie niewiadome reakcje podporowe X_1 i X_2 . Ugięcie δ_1 w punkcie 1 o współrzędnych $\alpha_1 = 1,125$, $\eta_1 = 0$ przedstawimy korzystając z zasady superpozycji następującym wzorem:

$$(4.1) \quad \delta_1 = X_1 \delta_{11} + X_2 \delta_{12} + \delta_{1q}$$

Analogicznie w punkcie 2 o współrzędnych $\alpha_2 = 0,735$, $\eta_2 = 0$ ugięcie δ_2 obliczymy ze wzoru

$$(4.2) \quad \delta_2 = X_1 \delta_{21} + X_2 \delta_{22} + \delta_{2q}$$

We wzorach powyższych δ_{11} oznacza ugięcie punktu 1 wywołane działaniem wszystkich sił $X_1 = 1$; δ_{12} ugięcie w punkcie 1 wywołane działaniem wszystkich sił $X_2 = 1$; δ_{22} ugięcie w punkcie 2 wywołane działaniem wszystkich sił $X_2 = 1$; δ_{21} ugięcie płyty w punkcie 2 wywołane działaniem wszystkich sił $X_1 = 1$; δ_{1q} ugięcie płyty w punkcie 1 wywołane obciążeniem q ; δ_{2q} ugięcie płyty w punkcie 2 wywołane obciążeniem q . Zgodnie z twierdzeniem *Maxwella* mamy

$$(4.3) \quad \delta_{12} = \delta_{21}$$

Wielkości δ_{11} , δ_{12} i δ_{22} obliczymy korzystając z powierzchni wpływowych ugięcia. Umieszczamy siłę $P = 1$ w punkcie $(\alpha, 0)$. Powierzchnię ugięcia pasma znajdziemy na podstawie wzoru (3.4) podstawiając zgodnie z tabl. 16, p. 1:

$$C_3 = \frac{P}{16\pi D}, \quad C_4 = 0.$$

Zatem dla $P = 1$ mamy

$$(4.4) \quad w = \frac{a^3}{8\pi D} R_1^-.$$

Powierzchnię ugięcia traktować można jako powierzchnię wpływową ugięcia punktu $(\alpha, 0)$. Obciążając zatem płytę np. siłami $X_1 = 1$ znajdzie-

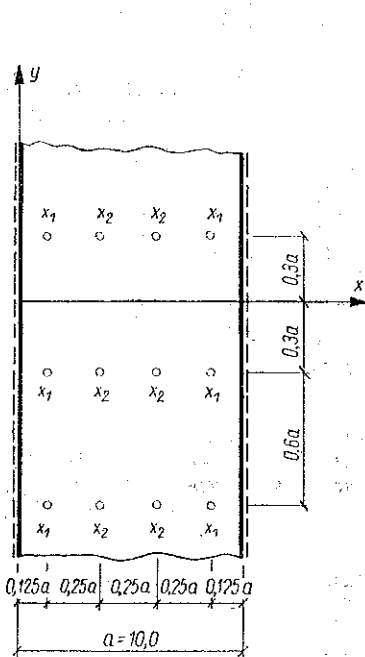
my ugięcie δ_{11} sumując odpowiednie rzędne powierzchni wpływowej. Mianowicie

$$(4.5) \quad \delta_{ik} = \frac{a^2}{8\pi D} \left[R_1^-(\alpha_i, \alpha_k, 0) + R_1^-(\alpha_i, \alpha'_k, 0) + \right. \\ \left. + 2 \sum_{n=1}^{\infty} R_1^-(\alpha_i, \alpha_k, n\beta) + 2 \sum_{n=1}^{\infty} R_1^-(\alpha_i, \alpha'_k, n\beta) \right] \quad (i, k = 1, 2).$$

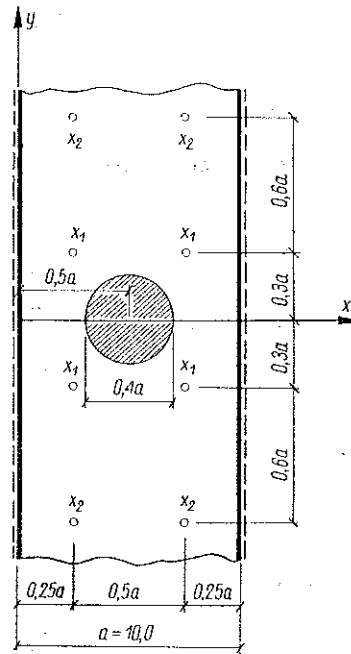
W naszym przypadku mamy

$$\alpha_1 = 0,125, \quad \alpha_2 = 0,375, \\ \alpha'_1 = 0,875, \quad \alpha'_2 = 0,625, \quad \beta = 0,6.$$

Obliczenie δ_{ik} zestawiono w tabl. 17.



Rys. 9



Rys. 10

Obciążenie zewnętrzne q wywołuje walcowe zgięcie płyty o równaniu

$$(4.6) \quad w_q = \frac{qa^4}{24D} \xi \xi' (1 + \xi \xi').$$

Zatem

$$(4.7) \quad \begin{cases} \delta_{1q} = \frac{qa^4}{24D} 0,125 \cdot 0,875 (1 + 0,125 \cdot 0,875) = 0,1213 \frac{qa^4}{24D}, \\ \delta_{2q} = \frac{qa^4}{24D} 0,375 \cdot 0,625 (1 + 0,375 \cdot 0,625) = 0,2893 \frac{qa^4}{24D}. \end{cases}$$

Tablica 17

α	ξ	ξ_1	ξ_2	η	$R_1(\xi_1, \eta)$	$R_1(\xi_2, \eta)$	R_1^-	$2R_1^{-1}$			
0,125	0,125	0	0,25	0	0,4260	0,3172	0,1088	0,1088			
				0,6	0,1780	0,1489	0,0291	0,0582			
				1,2	0,0446	0,0380	0,0066	0,0132			
				1,8	0,0095	0,0081	0,0014	0,0028			
				2,4	0,0022	0,0019	0,0003	0,0006			
				3,0	0,0004	0,0003	0,0001	0,0002			
				3,6	0,0000	0,0000	0,0000	0,0000			
				0,875	0,75	1,00	0	0,0426	0,0000	0,0426	0,0426
							0,6	0,0235	0,0000	0,0235	0,0470
	1,2	0,0065	0,0000				0,0065	0,0130			
	1,8	0,0014	0,0000				0,0014	0,0028			
	2,4	0,0003	0,0000				0,0003	0,0006			
	3,0	0,0000	0,0000				0,0000	0,0000			
	3,6	0,0000	0,0000				0,0000	0,0000			
	$\Sigma = 0,2898 = \delta_{11} \frac{8\pi D}{a^2}$										
	0,125	0,375	0,25				0,50	0	0,3172	0,1599	0,1573
				0,6	0,1489	0,0834		0,0755	0,1510		
				1,2	0,0380	0,0221		0,0159	0,0318		
1,8				0,0081	0,0047	0,0034		0,0068			
2,4				0,0019	0,0011	0,0008		0,0016			
3,0				0,0003	0,0001	0,0002		0,0004			
3,6				0,0000	0,0000	0,0000		0,0000			
0,625				0,50	0,75	0		0,1599	0,0426	0,1173	0,1173
						0,6		0,0834	0,0235	0,0599	0,1198
		1,2	0,0221			0,0065	0,0156	0,0312			
		1,8	0,0047			0,0014	0,0033	0,0066			
		2,4	0,0011			0,0003	0,0008	0,0016			
		3,0	0,0001			0,0000	0,0001	0,0002			
		3,6	0,0000			0,0000	0,0000	0,0000			
		$\Sigma = 0,6256 = \delta_{12} \frac{8\pi D}{a^2}$									
		0,375	0,375			0	0,75	0	0,4260	0,0426	0,3834
0,6				0,1730	0,0235			0,1545	0,3090		
1,2				0,0446	0,0065			0,0381	0,0762		
1,8	0,0095			0,0014	0,0081			0,0162			
2,4	0,0022			0,0003	0,0019			0,0038			
3,0	0,0004			0,0000	0,0004			0,0008			
3,6	0,0000			0,0000	0,0000			0,0000			
0,625	0,25			1,00	0			0,3172	0,0000	0,3172	0,3172
					0,6			0,1489	0,0000	0,1489	0,2978
			1,2		0,0380	0,0000	0,0380	0,0760			
			1,8		0,0081	0,0000	0,0081	0,0162			
			2,4		0,0019	0,0000	0,0019	0,0038			
			3,0		0,0003	0,0000	0,0003	0,0006			
			3,6		0,0000	0,0000	0,0000	0,0000			
			$\Sigma = 1,5014 = \delta_{22} \frac{8\pi D}{a^2}$								

1) Dla $\eta=0$ wpisuje się w ostatniej rubryce $1R_1^-$

Układ równań przyjmie postać

$$(4.8) \quad \begin{cases} 0,2898 X_1 + 0,6256 X_2 + 0,1270 qa^2 = 0, \\ 0,6256 X_1 + 1,5014 X_2 + 0,3029 qa^2 = 0. \end{cases}$$

Niewiadome wynoszą

$$(4.9) \quad \begin{cases} X_1 = -0,0279 qa^2, \\ X_2 = -0,1901 qa^2. \end{cases}$$

Przykład 2. Dane jest pasmo płytowe podparte symetrycznie dwoma rzędami słupów. Koło o promieniu $0,2a$ i środka w punkcie o współrzędnych $(0,5a; 0)$ jest obciążone w sposób równomierny obciążeniem q (rys. 10 na s. 83). Przyjęto istnienie ośmiu niewiadomych podporowych zakładając, że dalsze są równe zeru.

Warunek niepodatności podpór prowadzi do układu równań o następującej postaci:

$$(4.10) \quad \sum_{i=1}^8 X_i \delta_{hi} + \delta_{hq} = 0 \quad (k = 1, 2, \dots, 8),$$

gdzie δ_{hi} jest ugięciem spowodowanym siłami $X_i = 1$ w punktach przyłożenia sił X_k , a δ_{hq} ugięciem w tychże punktach wywołanym obciążeniem q .

Podobnie jak poprzednio wyznaczmy wielkości δ_{hi} korzystając z powierzchni wpływowej ugięcia:

$$(4.11) \quad \delta_{ik} = \frac{a^2}{8\pi D} \{ R_1^- [\alpha, \alpha, (i-k)\beta] + R_1^- [\alpha, \alpha, (i+k-1)\beta] + \\ + R_1^- [\alpha, \alpha', (i-k)\beta] + R_1^- [\alpha, \alpha', (i+k-1)\beta] \}.$$

W naszym przypadku $\alpha = 0,25$, $\alpha' = 0,75$ i $\beta = 0,6$, przy czym korzystamy tu z przesuniętego układu współrzędnych \bar{x}, \bar{y} . Ugięcie δ_{hq} wyliczymy na podstawie wzoru (3.4), w którym stałe całkowania zgodnie z tabl. 16, poz. 3, wynoszą:

$$C_3 = \frac{qR^2}{16D}, \quad C_4 = \frac{qR^4}{32D}.$$

Zatem przyjmując $R = 0,2a$ otrzymamy

$$(4.12) \quad \delta_{hq} = \frac{qa^4}{200D} \left\{ R_1^- [0,5; 0,25; (2k-1)0,3] - \right. \\ \left. - 0,01K_0^- [0,5; 0,25; (2k-1)0,3] \right\}.$$

Obliczenie δ_{11} , δ_{12} i δ_{13} przeprowadzono przykładowo w tabl. 18. Pozostałe wielkości δ_{ik} oblicza się analogicznie. Wynoszą one

$$(4.13) \quad \left\{ \begin{array}{lll} \delta_{14} = 0,0117 \frac{a^2}{8\pi D}, & \delta_{15} = 0,0028 \frac{a^2}{8\pi D}, & \delta_{16} = 0,0004 \frac{a^2}{8\pi D}, \\ \delta_{17} = 0,0001 \frac{a^2}{8\pi D}, & \delta_{18} \approx 0, & \\ \delta_{22} = 0,4355 \frac{a^2}{8\pi D}, & \delta_{23} = 0,1802 \frac{a^2}{8\pi D}, & \delta_{24} = 0,0450 \frac{a^2}{8\pi D}, \\ \delta_{25} = 0,0096 \frac{a^2}{8\pi D}, & \delta_{26} = 0,0022 \frac{a^2}{8\pi D}, & \delta_{27} = 0,0004 \frac{a^2}{8\pi D}, \\ \delta_{28} = 0,0001 \frac{a^2}{8\pi D}, & \delta_{33} = 0,4264 \frac{a^2}{8\pi D}, & \delta_{34} = 0,1781 \frac{a^2}{8\pi D}, \\ \delta_{35} = 0,0446 \frac{a^2}{8\pi D}, & \delta_{36} = 0,0095 \frac{a^2}{8\pi D}, & \delta_{37} = 0,0022 \frac{a^2}{8\pi D}, \\ \delta_{38} = 0,0004 \frac{a^2}{8\pi D}, & \delta_{44} = 0,4260 \frac{a^2}{8\pi D}, & \delta_{45} = 0,1780 \frac{a^2}{8\pi D}, \\ \delta_{46} = 0,0446 \frac{a^2}{8\pi D}, & \delta_{47} = 0,0095 \frac{a^2}{8\pi D}, & \delta_{48} = 0,0022 \frac{a^2}{8\pi D}, \\ \delta_{55} = 0,4260 \frac{a^2}{8\pi D}, & \delta_{56} = 0,1780 \frac{a^2}{8\pi D}, & \delta_{57} = 0,0446 \frac{a^2}{8\pi D}, \\ \delta_{58} = 0,0095 \frac{a^2}{8\pi D}, & \delta_{66} = 0,4260 \frac{a^2}{8\pi D}, & \delta_{67} = 0,1780 \frac{a^2}{8\pi D}, \\ \delta_{68} = 0,0446 \frac{a^2}{8\pi D}, & \delta_{77} = 0,4260 \frac{a^2}{8\pi D}, & \delta_{78} = 0,1780 \frac{a^2}{8\pi D}, \\ \delta_{88} = 0,4260 \frac{a^2}{8\pi D}. & & \end{array} \right.$$

Opierając się na wzorze (4.12) można napisać

$$(4.14) \quad \delta_{1q} = \frac{qa^4}{200D} [(0,2506 - 0,0362) - 0,01(1,1677 - 0,1258)] = 0,2040 \frac{qa^4}{200D}$$

i podobnie

$$(4.15) \quad \left\{ \begin{array}{lll} \delta_{2q} = 0,0632 \frac{qa^4}{200D}, & \delta_{3q} = 0,0144 \frac{qa^4}{200D}, & \delta_{4q} = 0,0032 \frac{qa^4}{200D}, \\ \delta_{5q} = 0,0008 \frac{qa^4}{200D}, & \delta_{6q} = 0,0002 \frac{qa^4}{200D}, & \delta_{7q} = \delta_{8q} = 0. \end{array} \right.$$

Układ równań przybierze postać:

$$\begin{aligned}
 (4.16) \quad & \left\{ \begin{aligned}
 & 0,6040 X_1 + 0,2226 X_2 + 0,0541 X_3 + 0,0117 X_4 + 0,0028 X_5 + \\
 & \quad + 0,0004 X_6 + 0,0001 X_7 + 0,0256 qa^2 = 0, \\
 & 0,2226 X_1 + 0,4355 X_2 + 0,1802 X_3 + 0,0450 X_4 + 0,0096 X_5 + \\
 & \quad + 0,0022 X_6 + 0,0004 X_7 + 0,0001 X_8 + 0,0079 qa^2 = 0, \\
 & 0,0541 X_1 + 0,1802 X_2 + 0,4264 X_3 + 0,1781 X_4 + 0,0446 X_5 + \\
 & \quad + 0,0095 X_6 + 0,0022 X_7 + 0,0004 X_8 + 0,0018 qa^2 = 0, \\
 & 0,0117 X_1 + 0,0450 X_2 + 0,1781 X_3 + 0,4260 X_4 + 0,1780 X_5 + \\
 & \quad + 0,0446 X_6 + 0,0095 X_7 + 0,0022 X_8 + 0,0004 qa^2 = 0, \\
 & 0,0028 X_1 + 0,0096 X_2 + 0,0446 X_3 + 0,1780 X_4 + 0,4260 X_5 + \\
 & \quad + 0,1780 X_6 + 0,0446 X_7 + 0,0095 X_8 + 0,0001 qa^2 = 0, \\
 & 0,0004 X_1 + 0,0022 X_2 + 0,0095 X_3 + 0,0446 X_4 + 0,1780 X_5 + \\
 & \quad + 0,4260 X_6 + 0,1780 X_7 + 0,0446 X_8 = 0, \\
 & 0,0001 X_1 + 0,0004 X_2 + 0,0022 X_3 + 0,0095 X_4 + 0,0446 X_5 + \\
 & \quad + 0,1780 X_6 + 0,4260 X_7 + 0,1780 X_8 = 0, \\
 & 0,0001 X_2 + 0,0004 X_3 + 0,0022 X_4 + 0,0095 X_5 + \\
 & \quad + 0,0446 X_6 + 0,1780 X_7 + 0,4260 X_8 = 0.
 \end{aligned} \right.
 \end{aligned}$$

Tablica 18

i	k	ξ_1	ξ_2	η	$R_1(\xi_1, \eta)$	$R_1(\xi_2, \eta)$	R_1	
1	1	0	0,5	0	0,4260	0,1599	0,2661	
				0,6	0,1780	0,0834	0,0946	
		0,5	1,0	0	0,1599	0,0000	0,1599	
				0,6	0,0834	0,0000	0,0834	
		$\Sigma = 0,6040 = \delta_{11} \frac{8\pi D}{a^2}$						
		1	2	0	0,5	0,6	0,1780	0,0834
1,2	0,0446					0,0221	0,0225	
0,5	1,0			0,6	0,0834	0,0000	0,0834	
				1,2	0,0221	0,0000	0,0221	
$\Sigma = 0,2226 = \delta_{12} \frac{8\pi D}{a^2}$								
1	3			0	0,5	1,2	0,0446	0,0221
		1,8	0,0095			0,0047	0,0048	
		0,5	1,0	1,2	0,0221	0,0000	0,0221	
				1,8	0,0047	0,0000	0,0047	
		$\Sigma = 0,0541 = \delta_{13} \frac{8\pi D}{a^2}$						

Obliczone z tego układu niewiadome wynoszą

$$(4.17) \quad \begin{cases} X_1 = -0,044\,045\,qa^2, & X_2 = 0,004\,497\,qa^2, \\ X_3 = -0,000\,597\,qa^2, & X_4 = 0,000\,070\,qa^2, \\ X_5 = -0,000\,012\,qa^2, & X_6 = 0,000\,003\,qa^2, \\ X_7 \approx X_8 \approx 0. \end{cases}$$

Przykład 3. Wyznaczenie momentów dla przykładu 1 w punkcie o współrzędnych $\xi = 0,2$, $\eta = 0$ (rys. 9).

Wiemy, że całkowite ugięcie wyraża się wzorem

$$(4.18) \quad w = w_q + w_0,$$

gdzie w_q i w_0 wyrażają się odpowiednio wzorami (4.6) i (4.4).

Odpowiednie pochodne cząstkowe funkcji w_q obliczymy ze wzorów:

$$(4.19) \quad \frac{\partial^2 w_q}{\partial x^2} = -\frac{qa^2}{2D} \xi \xi', \quad \frac{\partial^2 w_q}{\partial y^2} = \frac{\partial^2 w_q}{\partial x \partial y} = 0.$$

Pochodne cząstkowe funkcji w_0 wyrażają się wzorami (3.6), przy czym $C_3 = P/16\pi D$, $C_4 = 0$ (por. tabl. 16). Zatem można napisać

$$(4.20) \quad \begin{cases} \frac{\partial^2 w_0}{\partial x^2} = -\frac{P}{8\pi D} (K_0^- + \pi M_1^-), \\ \frac{\partial^2 w_0}{\partial y^2} = -\frac{P}{8\pi D} (K_0^- - \pi M_1^-), \\ \frac{\partial^2 w_0}{\partial x \partial y} = \frac{P}{8D} L_1^-. \end{cases}$$

W naszym przypadku mamy

$$(4.21) \quad \begin{aligned} \frac{\partial^2 w_0}{\partial x^2} = & -\frac{X_1}{4\pi D} \left\{ \sum_{n=0}^{\infty} K_0^- \left[0,2; 0,125; \left(n + \frac{1}{2} \right) \beta \right] + \right. \\ & + \pi M_1^- \left[0,2; 0,125; \left(n + \frac{1}{2} \right) \beta \right] + \sum_{n=0}^{\infty} K_0^- \left[0,2; 0,875; \left(n + \frac{1}{2} \right) \beta \right] + \\ & + \pi M_2^- \left[0,2; 0,875; \left(n + \frac{1}{2} \right) \beta \right] \left. \right\} - \frac{X_2}{4\pi D} \left\{ \sum_{n=0}^{\infty} K_0^- \left[0,2; 0,375; \left(n + \frac{1}{2} \right) \beta \right] + \right. \\ & + \pi M_1^- \left[0,2; 0,375; \left(n + \frac{1}{2} \right) \beta \right] + \sum_{n=0}^{\infty} K_0^- \left[0,2; 0,625; \left(n + \frac{1}{2} \right) \beta \right] + \\ & \left. + \pi M_1^- \left[0,2; 0,625; \left(n + \frac{1}{2} \right) \beta \right] \right\}, \end{aligned}$$

$$\begin{aligned}
 (4.22) \quad \frac{\partial^2 w_0}{\partial y^2} = & -\frac{X_1}{4\pi D} \left\{ \sum_{n=0}^{\infty} K_0 \left[0,2; 0,125; \left(n + \frac{1}{2} \right) \beta \right] - \right. \\
 & - \pi M_1 \left[0,2; 0,125; \left(n + \frac{1}{2} \right) \beta \right] + \sum_{n=0}^{\infty} K_0 \left[0,2; 0,875; \left(n + \frac{1}{2} \right) \beta \right] - \\
 & - \pi M_1 \left[0,2; 0,875; \left(n + \frac{1}{2} \right) \beta \right] \left. \right\} - \frac{X_2}{4\pi D} \left\{ \sum_{n=0}^{\infty} K_0 \left[0,2; 0,375; \left(n + \frac{1}{2} \right) \beta \right] - \right. \\
 & - \pi M_1 \left[0,2; 0,375; \left(n + \frac{1}{2} \right) \beta \right] + \sum_{n=0}^{\infty} K_0 \left[0,2; 0,625; \left(n + \frac{1}{2} \right) \beta \right] - \\
 & \left. - \pi M_1 \left[0,2; 0,625; \left(n + \frac{1}{2} \right) \beta \right] \right\}.
 \end{aligned}$$

Ponieważ funkcja L_1 jest antysymetryczna, więc

$$\begin{aligned}
 (4.23) \quad \frac{\partial^2 w_0}{\partial x \partial y} = & \frac{X_1}{8D} \left\{ \sum_{n=-\infty}^{\infty} L_1 \left[0,2; 0,125; \left(n + \frac{1}{2} \right) \beta \right] + \right. \\
 & + L_1 \left[0,2; 0,875; \left(n + \frac{1}{2} \right) \beta \right] \left. \right\} + \frac{X_2}{8D} \left\{ \sum_{n=-\infty}^{\infty} L_1 \left[0,2; 0,375; \left(n + \frac{1}{2} \right) \beta \right] + \right. \\
 & \left. + L_1 \left[0,2; 0,625; \left(n + \frac{1}{2} \right) \beta \right] \right\} = 0,
 \end{aligned}$$

gdzie $\beta = 0,6$.

Wielkości w nawiasach sześciennych wyznaczono w tabl. 19.

Zatem wiedząc, że $X_1 = -0,0279 qa^2$, $X_2 = -0,1901 qa^2$ można napisać

$$(4.24) \quad \frac{\partial^2 w_0}{\partial x^2} = 0,0706 \frac{qa^2}{D}, \quad \frac{\partial^2 w_0}{\partial y^2} = -0,0079 \frac{qa^2}{D}, \quad \frac{\partial^2 w_0}{\partial x \partial y} = 0.$$

Na podstawie wzorów (4.19) wyznaczamy pochodne przy $\xi = 0,2$

$$(4.25) \quad \frac{\partial^2 w_q}{\partial x^2} = -0,08 \frac{qa^2}{D}, \quad \frac{\partial^2 w_q}{\partial y^2} = \frac{\partial^2 w_q}{\partial x \partial y} = 0.$$

Korzystając ze wzorów (3.1) i przyjmując $\nu = 0,3$ otrzymamy

$$(4.26) \quad m_x = 0,0118 qa^2, \quad m_y = 0,0107 qa^2, \quad m_{xy} = 0.$$

Tablica 19

α	ξ	ξ_1	ξ_2	η	$K_0(\xi_1, \eta)$	$K_0(\xi_2, \eta)$	K_0	$M_1(\xi_1, \eta)$	$M_1(\xi_2, \eta)$	M_1	$K_0 + \pi M_1$	$K_0 - \pi M_1$				
0,2	0,125	0,075	0,325	0,3	1,5841	0,9537	0,6304	0,3427	0,0428	0,2999	1,5726	-0,3118				
				0,9	0,2328	0,1749	0,0579	0,1090	0,0474	0,0616	0,2514	-0,1356				
				1,5	0,0354	0,0272	0,0082	0,0263	0,0139	0,0124	0,0472	-0,0308				
				2,1	0,0062	0,0048	0,0014	0,0061	0,0032	0,0029	0,0105	-0,0077				
				2,7	0,0010	0,0008	0,0002	0,0013	0,0007	0,0006	0,0021	-0,0017				
	0,875	0,675	1,075	0,3	0,0002	0,0002	0,0000	0,0003	0,0002	0,0001	0,0003	-0,0003				
				0,9	0,2154	0,0124	0,2030	-0,1465	-0,1666	0,0301	0,2976	+0,1084				
				1,5	0,0518	0,0017	0,0501	-0,0580	-0,0980	0,0400	0,1758	-0,0756				
				2,1	0,0085	0,0006	0,0079	-0,0142	-0,0259	0,0117	0,0447	-0,0287				
				2,7	0,0015	0,0002	0,0013	-0,0034	-0,0063	0,0029	0,0104	-0,0078				
				2,7	0,0002	0,0000	0,0002	-0,0009	-0,0015	0,0006	0,0021	-0,0017				
				3,3	0,0000	0,0000	0,0000	0,0000	-0,0002	0,0002	0,0006	-0,0006				
						Σ	2,4153	-0,4939								
				0,2	0,375	0,175	0,575	0,3	1,3748	0,3715	1,0033	0,2221	-0,1088	0,3309	2,0429	-0,0363
								0,9	0,2171	0,0844	0,1327	0,0933	-0,0301	0,1234	0,5204	-0,2550
1,5	0,0332	0,0136	0,0196					0,0230	-0,0065	0,0295	0,1123	-0,0731				
2,1	0,0059	0,0024	0,0035					0,0055	-0,0014	0,0069	0,0252	-0,0182				
2,7	0,0010	0,0004	0,0006					0,0012	-0,0004	0,0016	0,0056	-0,0044				
0,625	0,425	0,825	0,3		0,0002	0,0001	0,0001	0,0001	0,0000	0,0001	0,0004	-0,0002				
			0,9		0,6899	0,0626	0,6273	-0,0368	-0,1597	0,1229	1,0134	+0,2412				
			1,5		0,1393	0,0159	0,1234	0,0190	-0,0877	0,1067	0,4586	-0,2118				
			2,1		0,0220	0,0027	0,0193	0,0060	-0,0228	0,0288	0,1098	-0,0712				
			2,7		0,0039	0,0005	0,0034	0,0012	-0,0055	0,0067	0,0244	-0,0176				
			2,7	0,0007	0,0001	0,0006	0,0004	-0,0012	0,0016	0,0056	-0,0044					
			3,3	0,0001	0,0000	0,0001	0,0000	0,0000	0,0001	0,0004	-0,0002					
					Σ	4,3190	-0,4512									

Literatura cytowana w tekście

[1] Z. Kańczkowski, *Pewne zamknięte postaci funkcji ugięcia pasma plytowego*, Arch. Mech. Stos. 4 (1953).
 [2] И. М. Рыжик, И. С. Градштейн, *Таблицы интегралов, сумм, рядов и произведений*, Москва-Ленинград 1951.

Резюме

ТАБЛИЦЫ ДЛЯ ОПРЕДЕЛЕНИЯ ПОВЕРХНОСТЕЙ ВЛИЯНИЯ
 ДЛЯ ПЛАСТИНЧАТОЙ ПОЛОСЫ

В работе приводятся пятнадцать числовых таблиц — для определения ординат поверхностей влияния геометрических и статических величин для полосы пластинки. При помощи этих таблиц можно определить прогибы, моменты и поперечные силы в пластинке, находящейся под действием сосредоточенных моментов, осе-симметричных нагрузок и нагрузок распределенных равномерно вдоль прямого отрезка.

Пользование таблицами поясняется тремя числовыми примерами расчета безбалочного перекрытия.

Summary

TABLES FOR COMPUTATION OF INFLUENCE SURFACES FOR A PLATE STRIP

This paper contains 15 numerical tables for computing the ordinates of the influence surfaces for geometric and mechanical quantities of a plate strip. Using these tables, we can find deflections, moments and shear forces in a plate subjected to the action of concentrated moments, axially symmetric loads, or loads uniformly distributed along a straight line segment.

Numerical examples concerning girderless floor illustrate the use of the tables.

ZARŁAD MECHANIKI OSRODKOW CIĄGLYCH
IPPT PAN

Praca została złożona w Redakcji dnia 4 sierpnia 1958 r.
